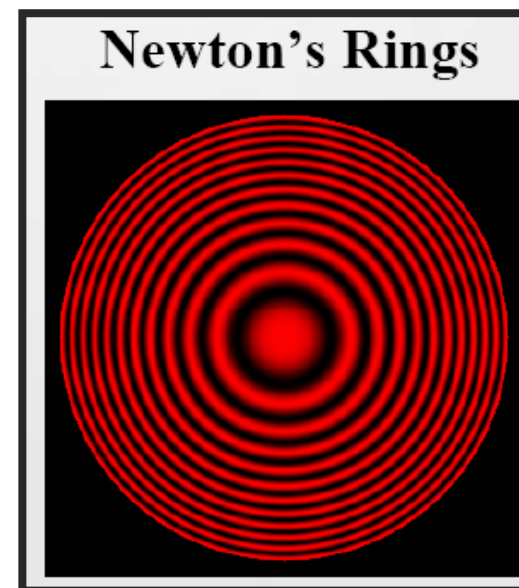
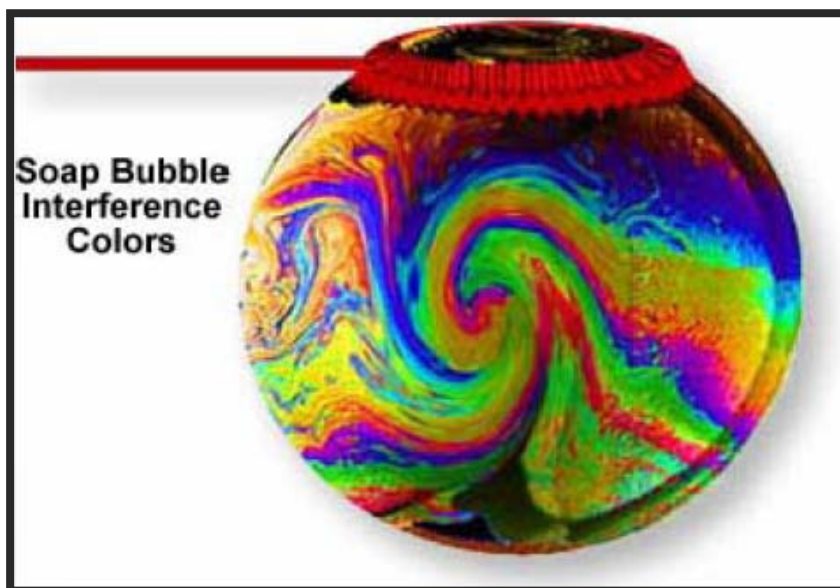


第三章 干涉 (interference)

杨振宇

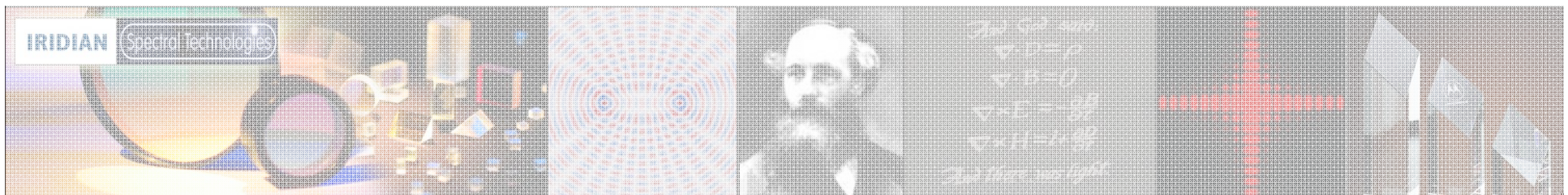


光电科学与工程学院

College of Optoelectronic Science and Engineering

主要内容

- 杨氏双缝干涉
- 干涉条纹对比度的影响
- 分振幅双光束干涉
- 分振幅多光束干涉





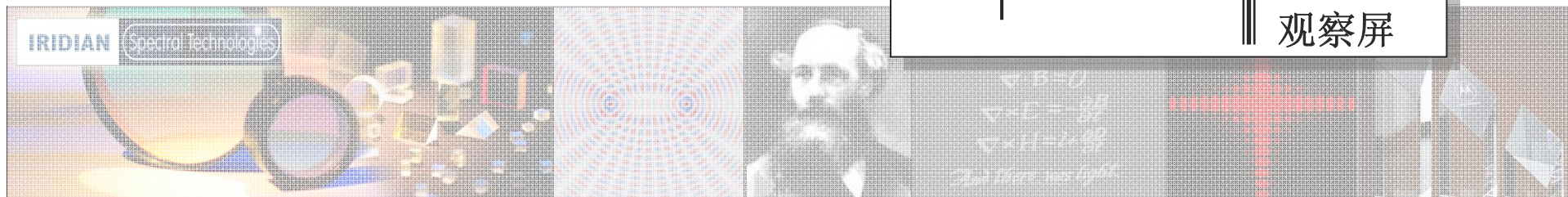
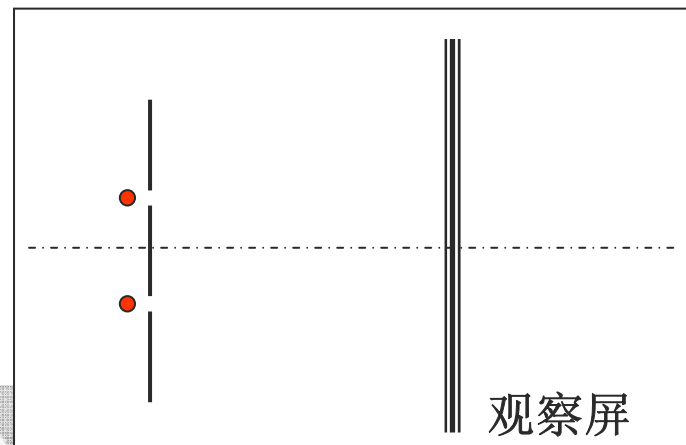
3-1 光的相干性 (3.1, 3.2, 3.4, 3.5)

回顾:

干涉: 同频率、同振动方向的两个或两个以上单色光波叠加, 其合成光强在叠加区域出现稳定的强弱分布现象。

干涉仪 (interferometer): 让实际光波产生干涉的装置

思考: 如图的两个独立的同型号普通光源, 能在观察屏上看到干涉现象吗?





光干涉的必要条件:

光波比机械波（如水波、声波）更难满足相干条件。

两支同频率的音叉发出的声波可以发生声波干涉，
但两个光频率相同的灯泡发出的光波却不能产生光干涉。

即使是同一灯丝不同部位发出的光波也不能产生光干涉。

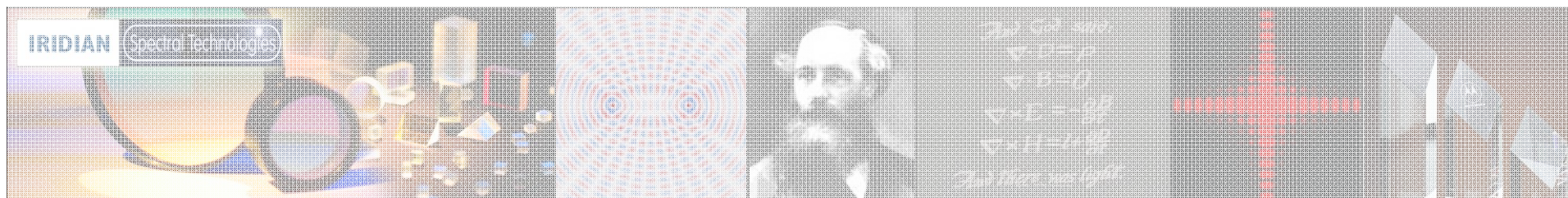
根据波的叠加原理，两列光波在相遇点合成的光强

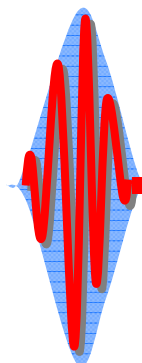
$$I = E_0^2 = E_{10}^2 + E_{20}^2 + 2E_{10}E_{20}\cos\Delta\varphi = I_1 + I_2 + 2\sqrt{I_1I_2}\cos\Delta\varphi$$

要获得稳定光干涉现象，两列光波在相遇点的

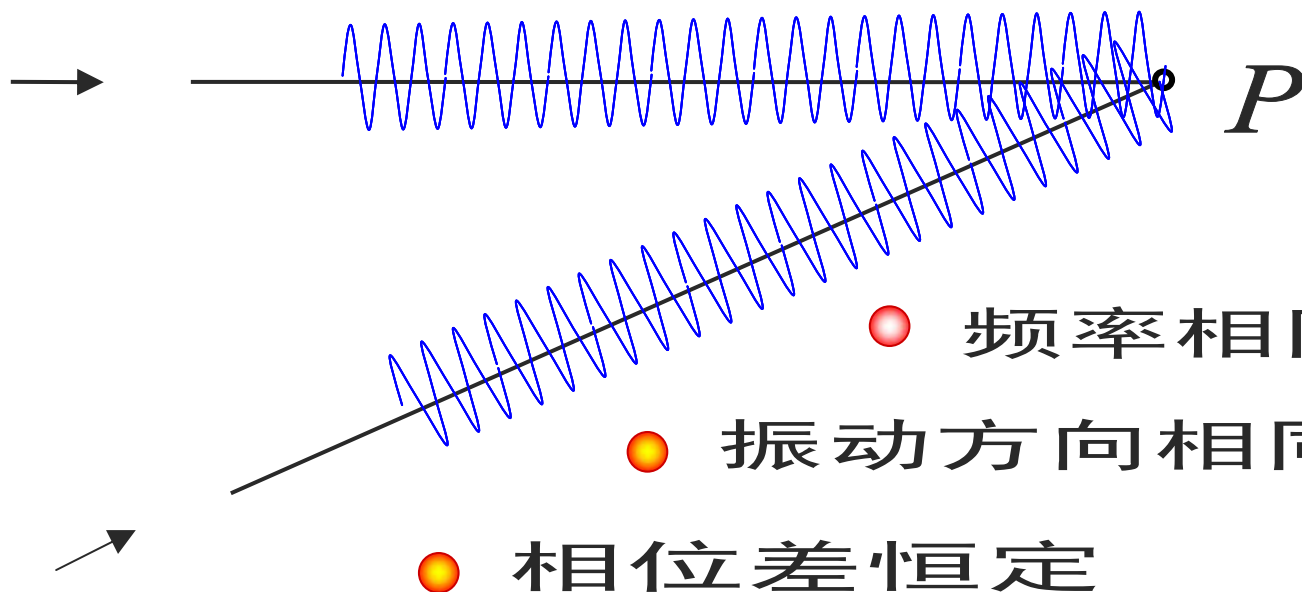
相位差 $\Delta\varphi$ 必须恒定。

一般光源发出的光波为持续时间很短的一系列**波列**，波列与波列之间的**初始相位**、**振动方向**都**无任何联系**，因此他们在空间叠加区域的相位差**不可能恒定**！



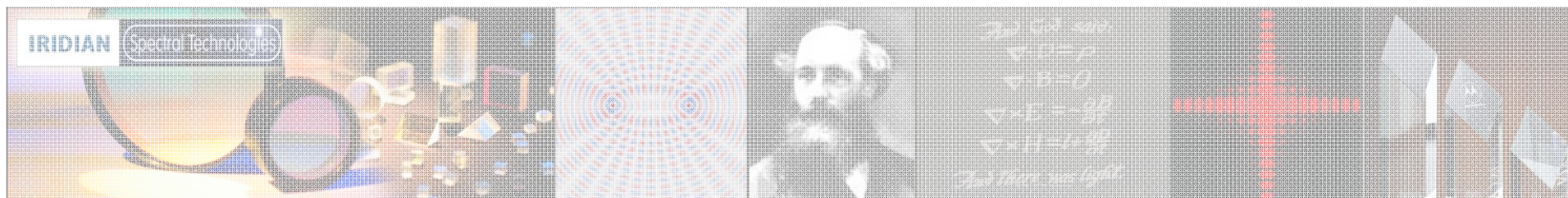


光干涉的必要条件:

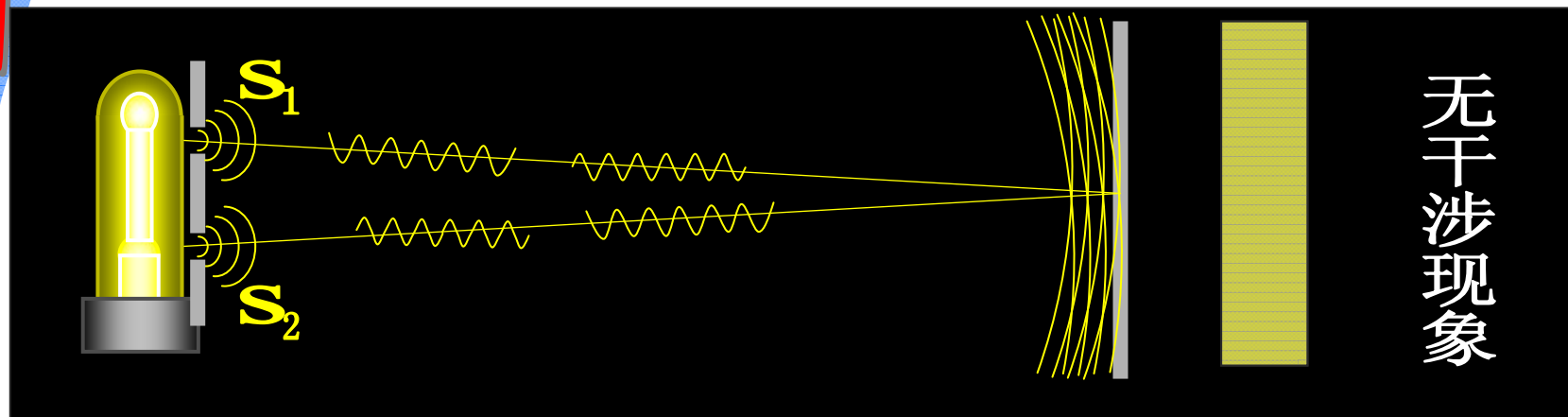


相干光 (coherent light)

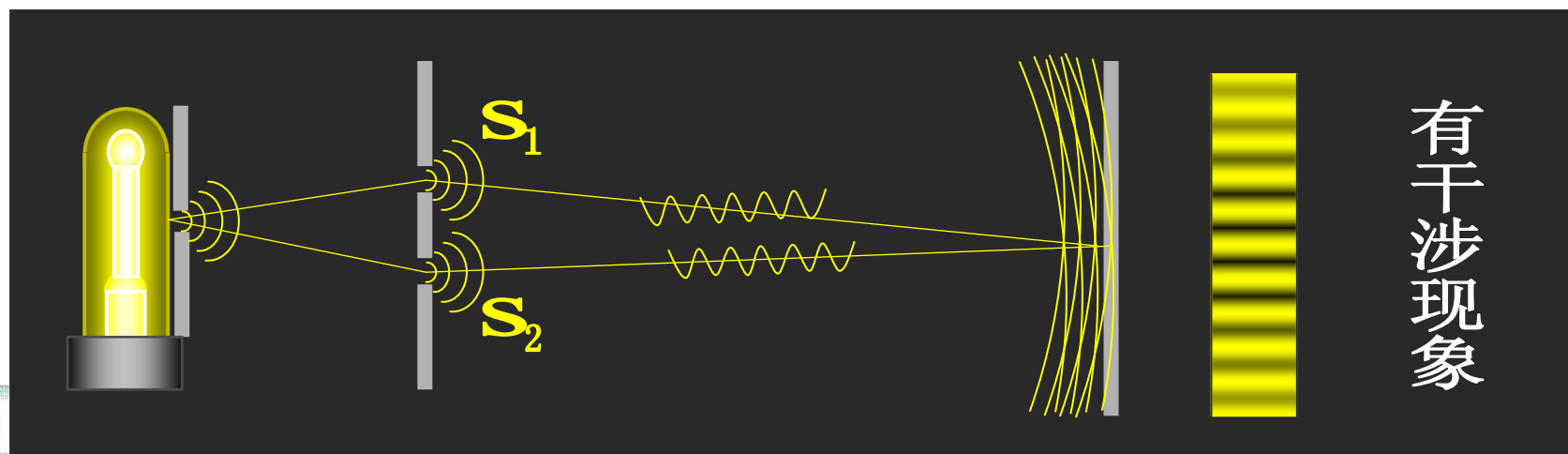
能满足干涉条件而产生干涉现象的两列光波。



相干光与非相干光



来自 S_1 、 S_2 的光为 **非相干光** (不满足光干涉条件)



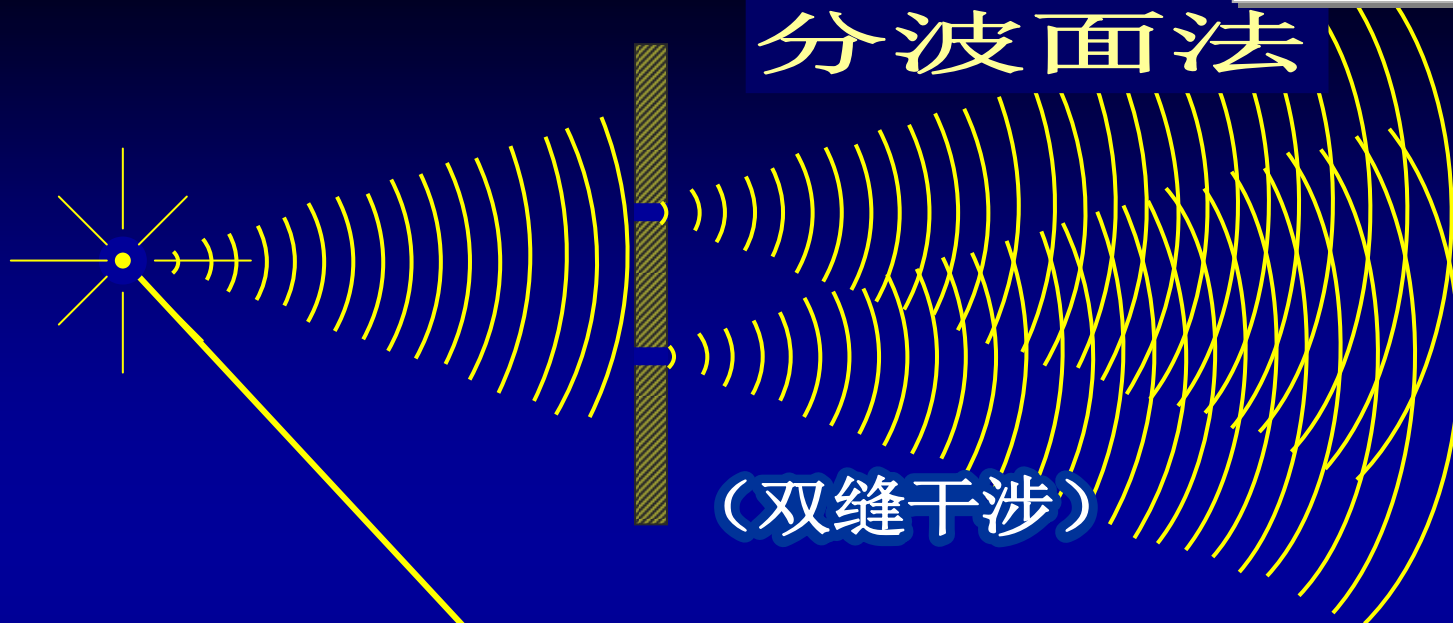
来自 S_1 、 S_2 的光为 **相干光** (满足光干涉条件)

获得相干光的两种基本方法

wave-front splitting

分波面法

单色点光源



(双缝干涉)

amplitude splitting

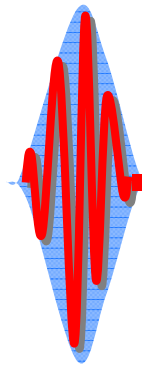
分振幅法

薄膜

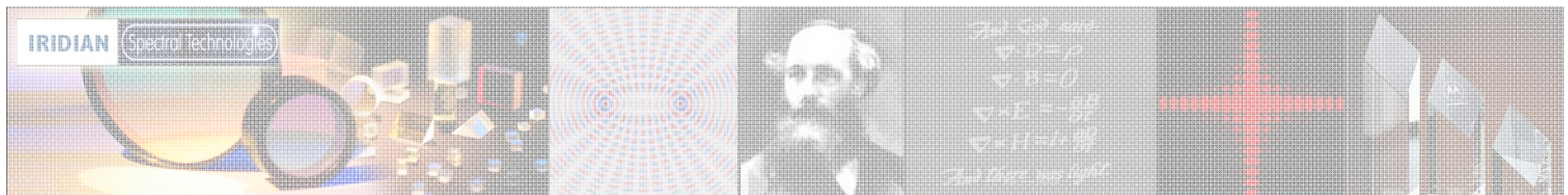


(薄膜干涉)

3-1



视频展示: 杨氏干涉 (Young's interference)



杨氏双缝干涉实验

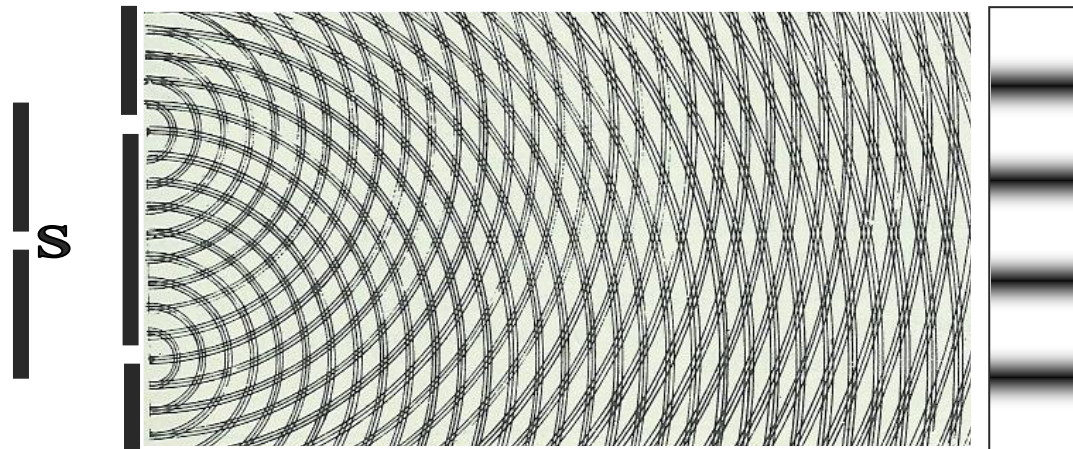
托马斯·杨（英）于1801年用实验观察到光的干涉现象。
这是光的波动学说的有力证据之一。



托马斯·杨

Thomas Young

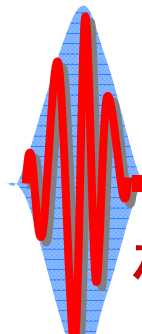
08(21 1773 — 1829)



这是杨氏的手稿

他用类似于水波干涉的原理，
通俗地解释他的双孔光干涉实验现象。

3-1



杨氏双缝干涉实验

$$I = a_1^2 + a_2^2 + 2a_1a_2 \cos \delta \rightarrow I = I_1 + I_2 + 2\sqrt{I_1I_2} \cos \delta$$

$$\delta = \frac{2\pi}{\lambda} n(r_2 - r_1)$$

由 $I_1 = I_2$, 空气介质, 得:

$$I = 2I_0 + 2I_0 \cos \frac{2\pi}{\lambda} (r_2 - r_1) \rightarrow I = 4I_0 \cos^2 \left[\frac{\pi}{\lambda} (r_2 - r_1) \right]$$

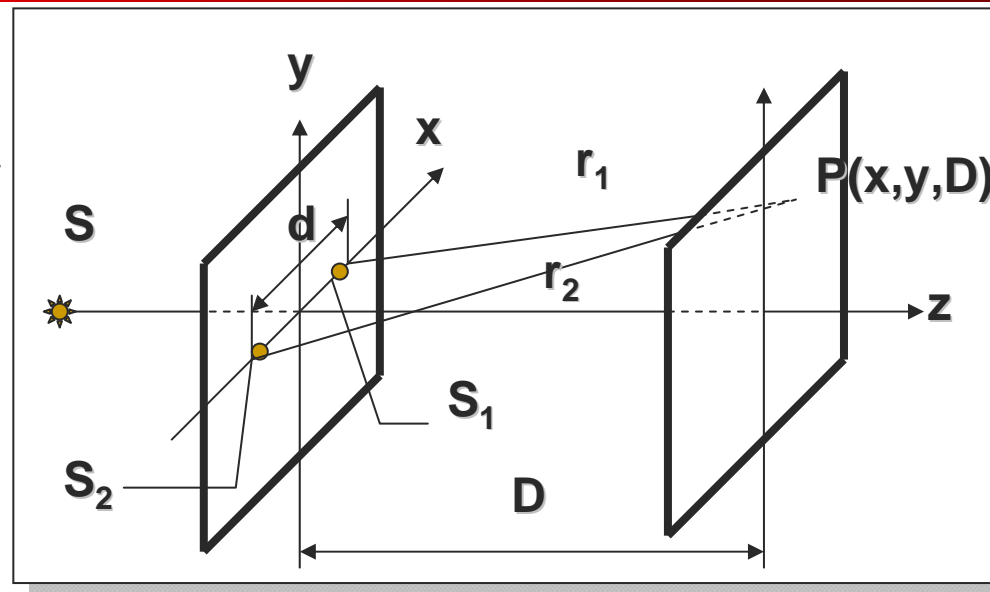
$$(r_2 - r_1) = m\lambda \dots \text{极大值} = 4I_0$$

$$(r_2 - r_1) = (m + 1/2)\lambda \dots \text{极小值} = 0$$

如何确定屏幕上极大值、极小值的位置?

$$r_1 = \sqrt{(x - d/2)^2 + y^2 + D^2}$$

$$r_2 = \sqrt{(x + d/2)^2 + y^2 + D^2}$$



$$r_2^2 - r_1^2 = 2xd \rightarrow r_2 - r_1 = \frac{2xd}{r_2 + r_1}$$

$$\because D \gg d$$

$$\therefore \frac{2xd}{r_2 + r_1} \approx \frac{xd}{D}$$



3-1

讨论:

亮纹 (bright fringe)

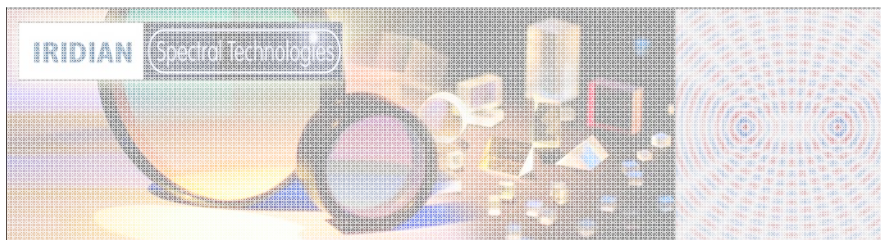
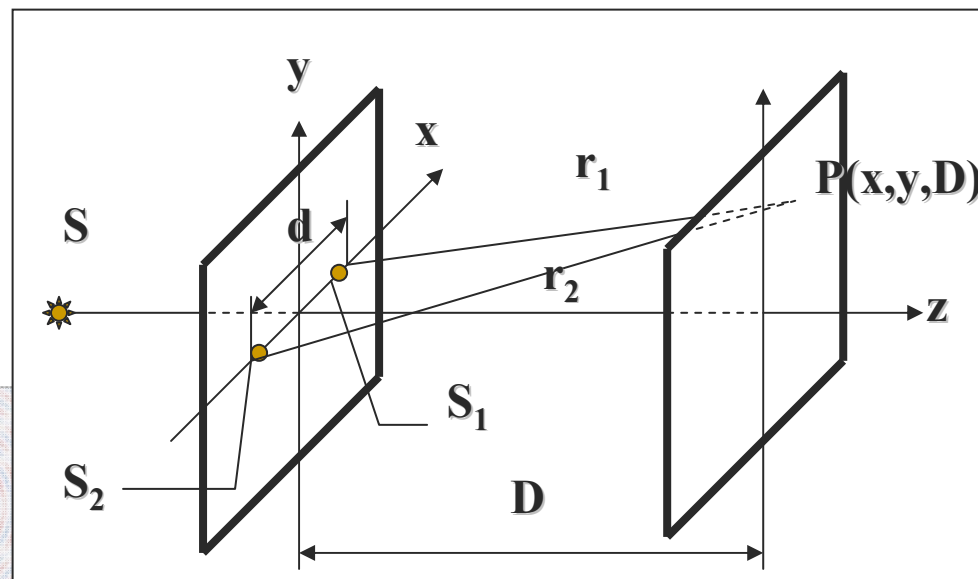
干涉级

暗纹 (dark fringe)

$$x = \frac{m\lambda D}{d}$$

$$m = 0, \pm 1, \pm 2, \dots$$

$$x = \frac{(m + 1/2) \lambda D}{d}$$



3-1

干涉条纹 (interference fringe)

条纹代表光程差的等值线，与双缝平行，相对于零级对称分布

条纹宽度 (spacing of fringe)

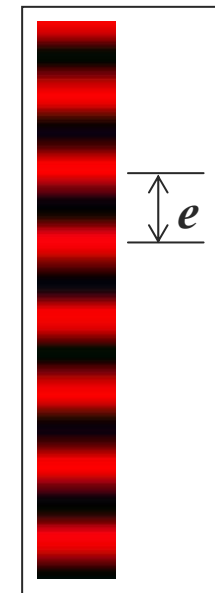
$$e = (m+1) \frac{D}{d} \lambda - m \frac{D}{d} \lambda = \frac{D}{d} \lambda$$

$$e = \frac{\lambda}{\omega}$$

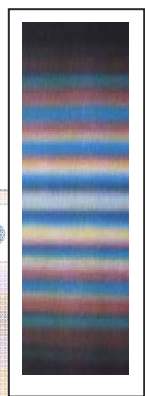
会聚角 $\omega = d / D$

1. 条纹宽度 e 与干涉级次 m 无关，即条纹是等间距的。

2. 条纹周期性是光波周期性通过干涉效应的另一表现形式，这为实用中通过测量 D 、 d 和 e 来计算光的波长 λ 提供了方便



条纹颜色



自然光入射

零级 $x_{0b} = 0 \dots \dots$ 无颜色

$$m \neq 0 \quad x_{mb} = m \frac{D}{d} \lambda \dots \dots x_{mb} \propto \lambda$$

干涉条纹间隔与波长的关系:



同级次条纹，不同波长的极大呈现在不同空间位置。紫 \rightarrow 红



例

已知双缝间距 $d = 0.4 \text{ mm}$ ，缝屏距 $D = 2 \text{ m}$ ，测得第 4 级明纹中心与中央明纹中心的距离为 12.0 mm ，求所用单色入射光的波长 λ 及相邻干涉条纹间距 Δx 。

解法
提要

由杨氏双缝干涉的明纹位置公式 $x_{\text{明}} = \pm k \frac{D}{d} \lambda$

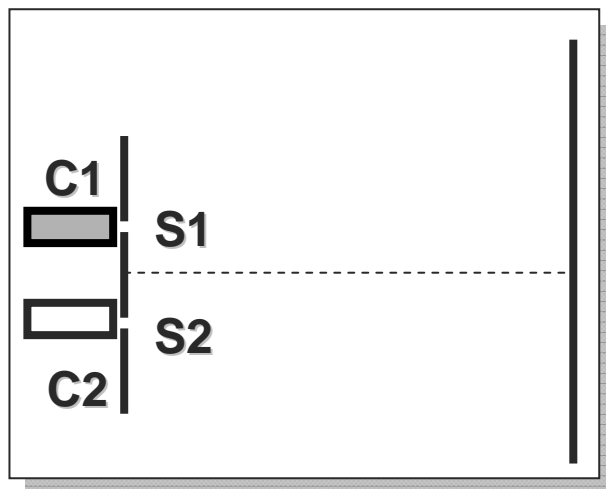
$$\begin{aligned}\lambda &= \frac{x_{\text{明}} d}{k D} = \frac{12.0 \times 10^{-3} \times 0.4 \times 10^{-3}}{4 \times 2} \text{ m} \\ &= 6.0 \times 10^{-7} \text{ m} = 600 \text{ nm}\end{aligned}$$

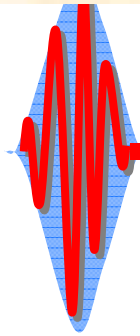
由条纹间隔公式

$$\begin{aligned}\Delta x &= \frac{D}{d} \lambda = \frac{2}{0.4 \times 10^{-3}} \times 6.0 \times 10^{-7} \text{ m} \\ &= 3.0 \times 10^{-3} \text{ m} = 3.0 \text{ mm}\end{aligned}$$

3-1

例题2：两个长100mm抽成真空的气室置于杨式装置的两小孔前，当以波长为589nm的平行钠光通过气室垂直照射时，在屏幕上观察到稳定的干涉条纹。然后缓慢将某种气体注入气室C1，观察到条纹移动了50个，试讨论条纹移动的方向并求出注入气体的折射率。





已述，用分波阵面法和分振幅法可以产生相干光，从而观察到光的干涉现象。

然而，如果光源中的原子发出一个单色波的“单色性”太差，或光源的线度太大时，也还是观察不到干涉现象。

这就是我们要讨论的光源的“时间相干性”和“空间相干性”的问题

3-1

干涉条纹的对比度 (fringe contrast)

条纹对比度: $K = (I_M - I_m) / (I_M + I_m)$

I_M 和 I_m 分别是条纹强度的极大值、极小值

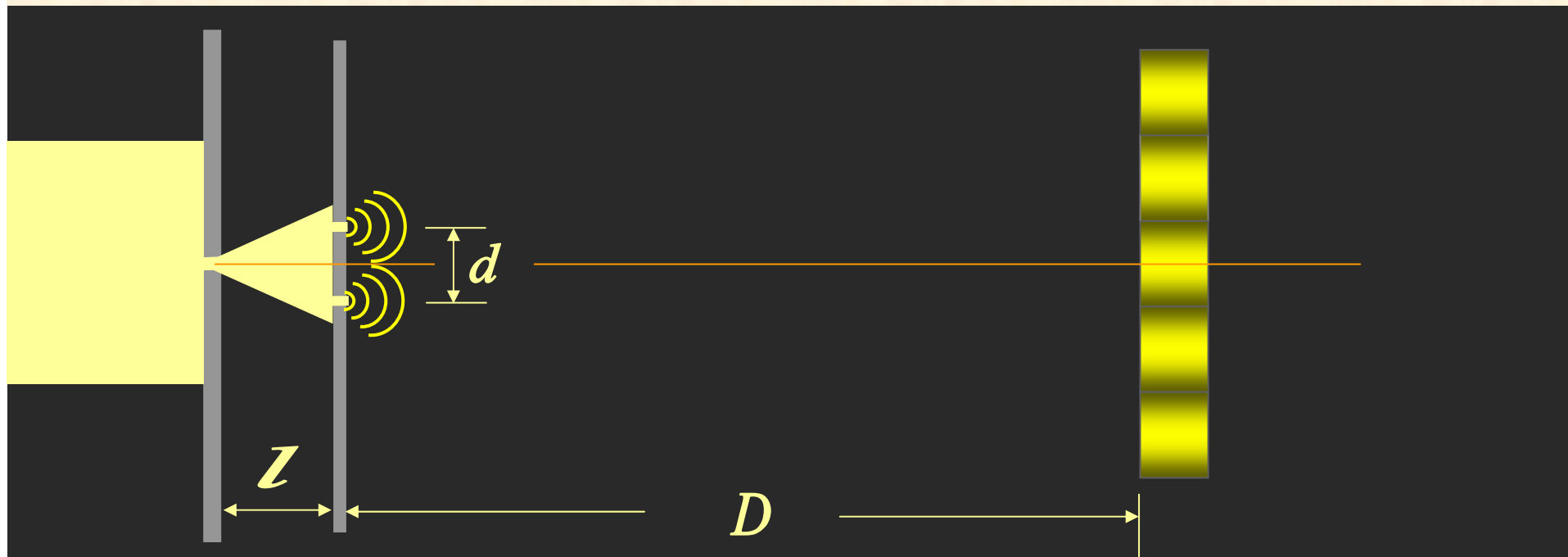
当 $I_m = 0$ 时, $K = 1$, 称为**完全相干**;

当 $I_M = I_m$ 时, $K = 0$, 称为**非相干**;

一般情况, $0 < K < 1$, 称为**部分相干**。

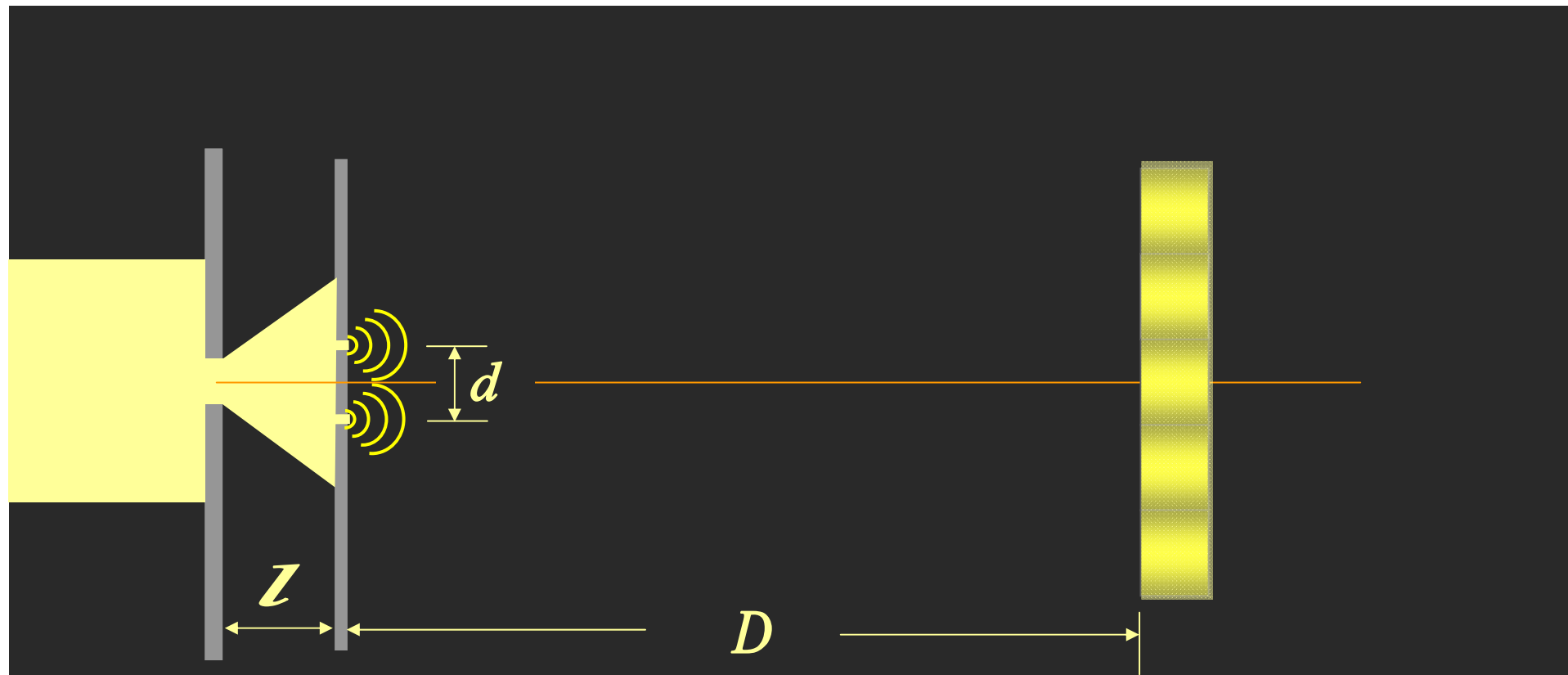
影响对比度的因素: **光源大小、光源非单色性、光波振幅比**





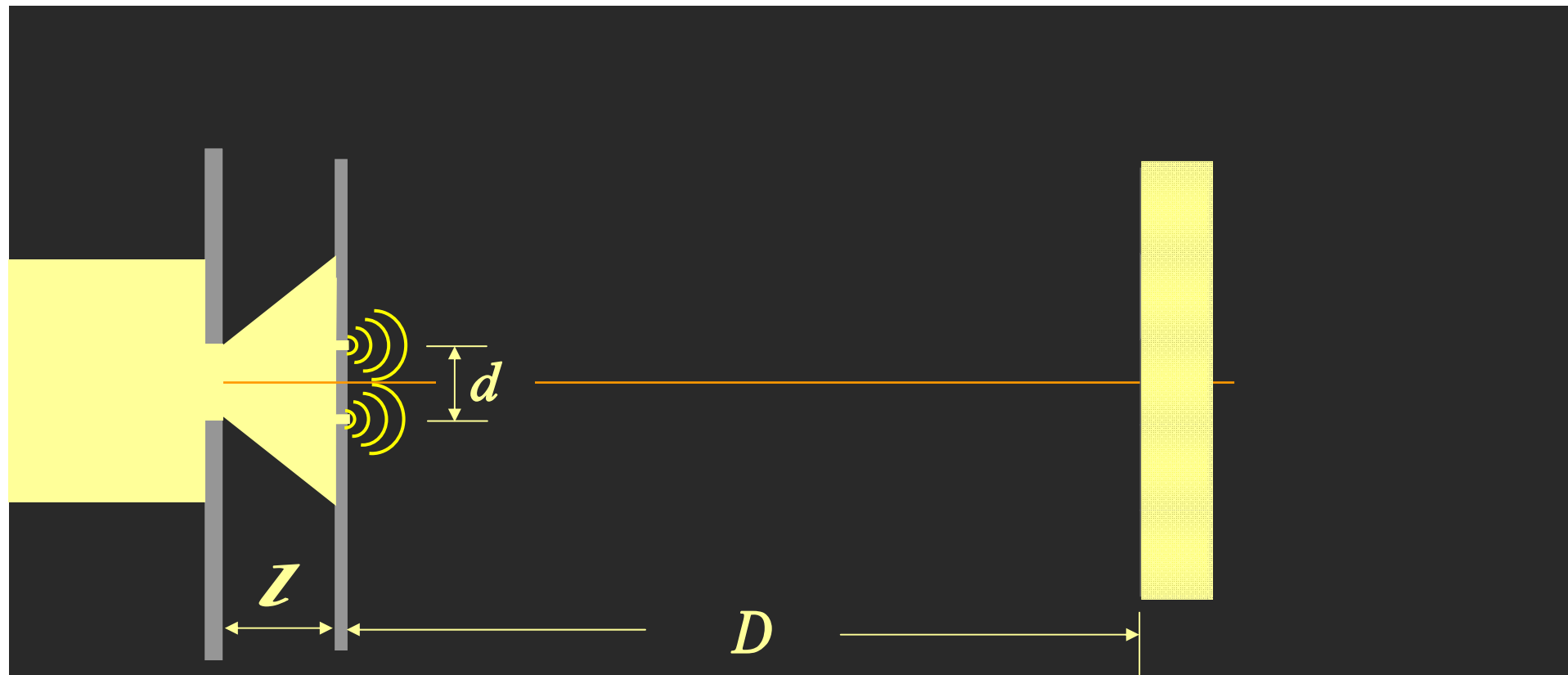
d 、 Z 、 D 均不变

光源的宽度很小时，干涉条纹很清晰，明暗反衬度很好。



d 、 z 、 D 均不变

光源的宽度变宽，干涉条纹变模糊，明暗反衬度变差。



d 、 z 、 D 均不变

光源的宽度大到一定程度时，干涉条纹变消失，一片明亮。

3-1

光源大小的影响

对于单色点光源, $K=1$

$$I = 2I_0 + 2I_0 \cos \frac{2\pi}{\lambda} (r_2 - r_1) \rightarrow I = 4I_0 \cos^2 \left[\frac{\pi}{\lambda} (r_2 - r_1) \right]$$

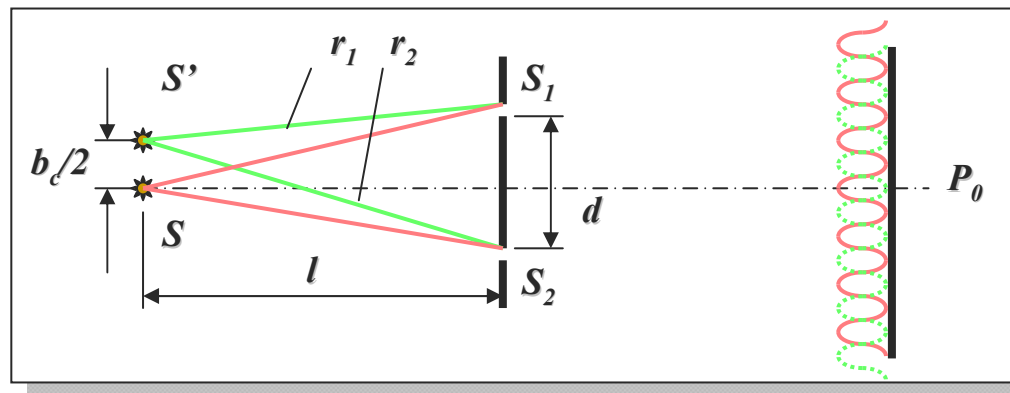
但实际的光源总有一定大小, $K=1$?

可以通过作图, 定性的分析一下。

当不是一个理想点光源时, $K < 1$

临界宽度 (critical width):

定义: 条纹对比度下降到0时, 光源所对应的宽度。



◆先只考虑两个点光源

在屏幕上两条纹的叠加, 在什么情况下使 $K=0$?

$$S'S_2 - S'S_1 = \lambda / 2$$

$$I_1 = 4I_0 \cos^2 (\delta / 2)$$

$$I_2 = 4I_0 \cos^2 (\delta / 2 + \pi / 2)$$

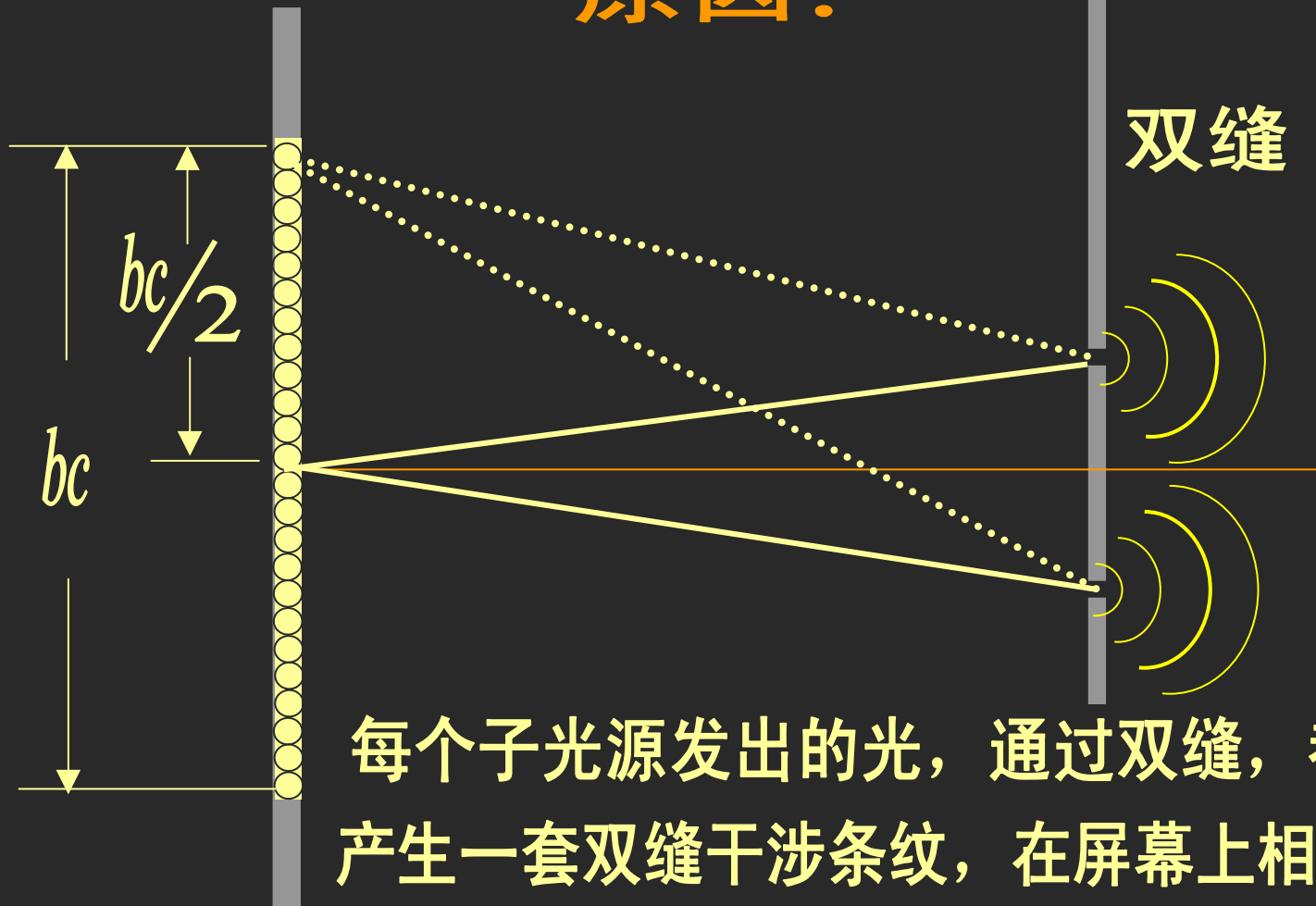
$$\rightarrow I_1 + I_2 = 4I_0 \rightarrow K = 0$$

◆再考虑光源为扩展光源



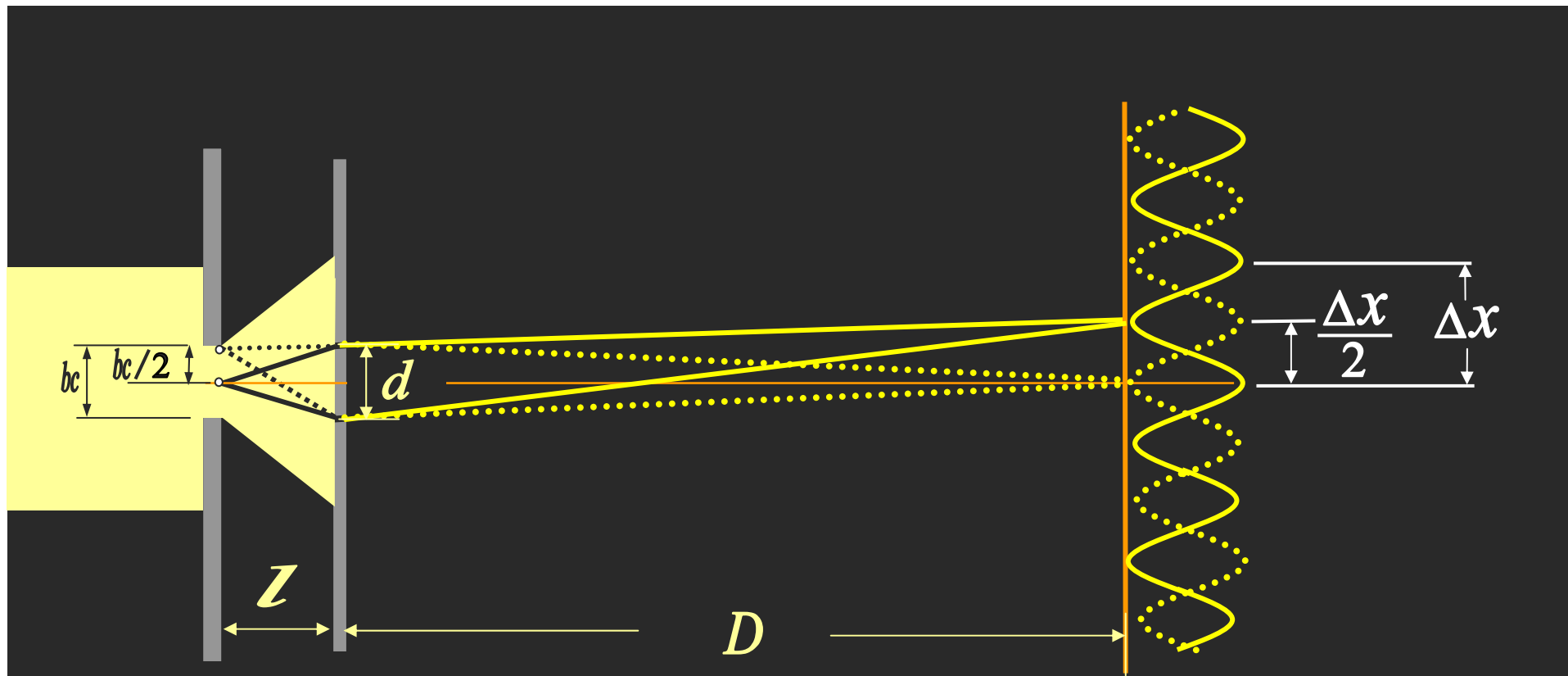
原因：

一个宽光源含有许多个子光源



每个子光源发出的光，通过双缝，都独自产生一套双缝干涉条纹，在屏幕上相互叠加。

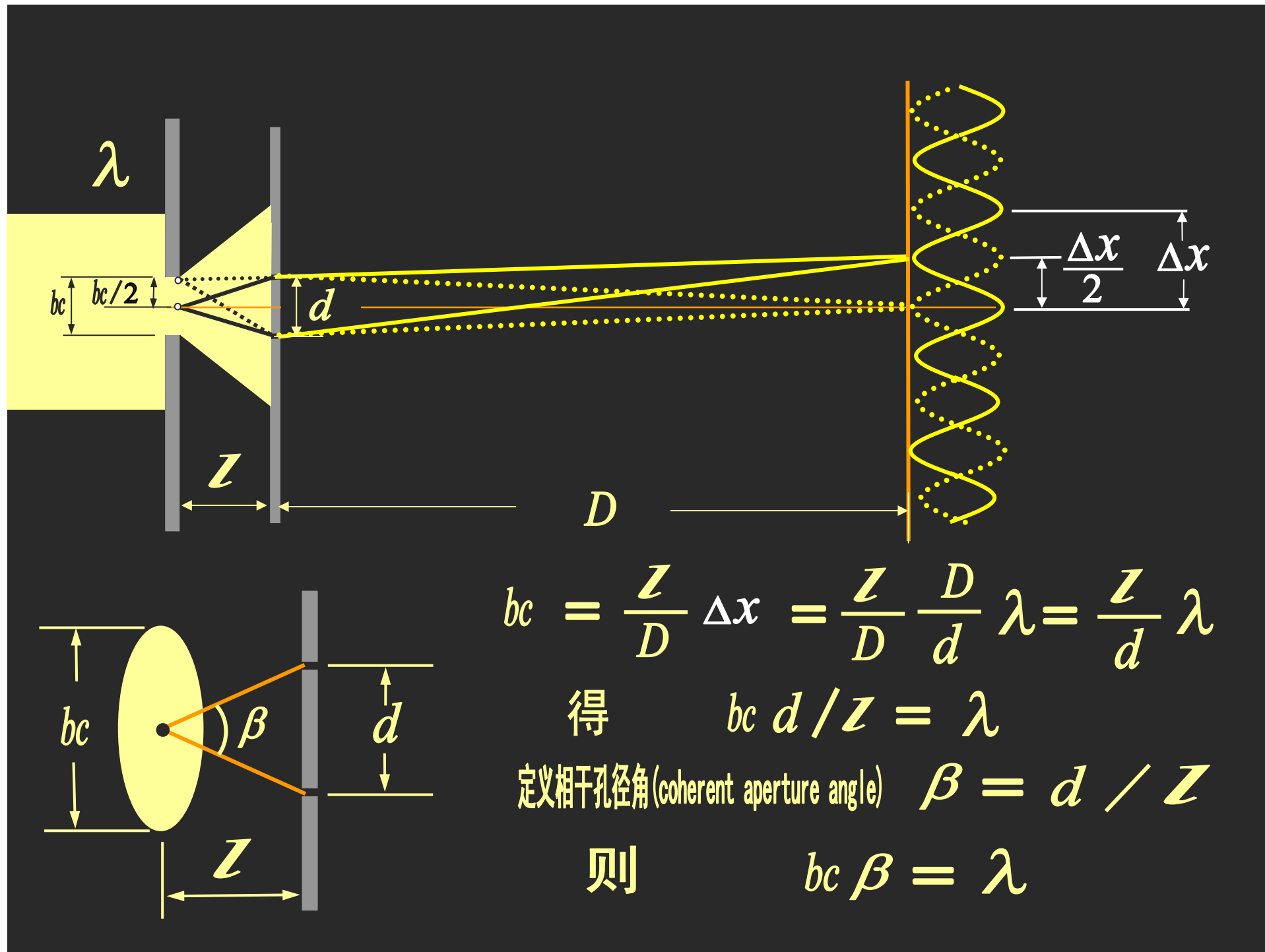
如果相隔为 $bc/2$ 的任意两个子光源所产生的干涉条纹的明暗分布正好相反，其强度叠加结果使条纹消失。



双缝干涉的条纹间隔为 Δx 若两套条纹正好错开 $\frac{\Delta x}{2}$ 则它们的明暗分布位置正好相反。

通常的实验条件为 $bc \ll z$, $\Delta x \ll D$, 可得

$$\frac{bc/2}{z} = \frac{\Delta x/2}{D} \quad \text{则} \quad bc = \frac{z}{D} \Delta x$$

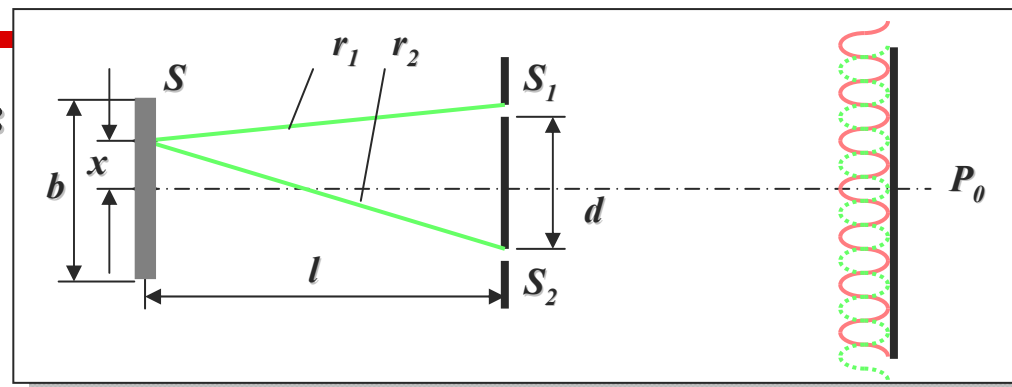


3-1

对比度随光源大小的变化:

光源小于临界宽度时, 光源越大, 对比度越小。

如何定量求出K值?



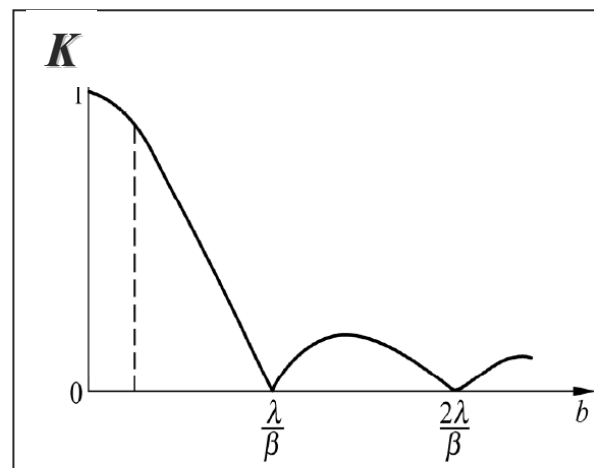
$$dI = 2 I_0 dx \{1 + \cos[2 \pi(\Delta + x\beta)/\lambda]\}$$

对公式解释:

式中, Δ 为轴上点光源S经 S_1 和 S_2 到P点的光程差。

$$I = \int_{-b/2}^{b/2} 2 I_0 \{1 + \cos[2 \pi(\Delta + x\beta)/\lambda]\} dx$$

$$= 2 I_0 b + 2 I_0 \frac{\lambda}{\pi \beta} \sin \frac{\pi b \beta}{\lambda} \cos \frac{2 \pi}{\lambda} \Delta$$



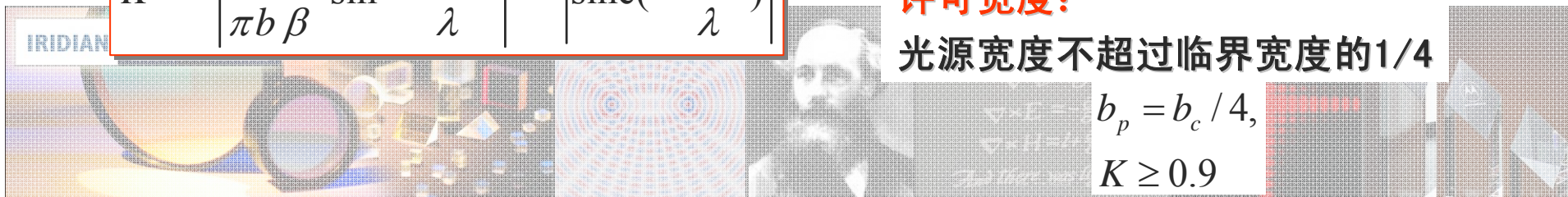
$$K = \left| \frac{\lambda}{\pi b \beta} \sin \frac{\pi b \beta}{\lambda} \right| = \left| \text{sinc} \left(\frac{b \beta}{\lambda} \right) \right|$$

许可宽度:

光源宽度不超过临界宽度的1/4

$$b_p = b_c / 4,$$

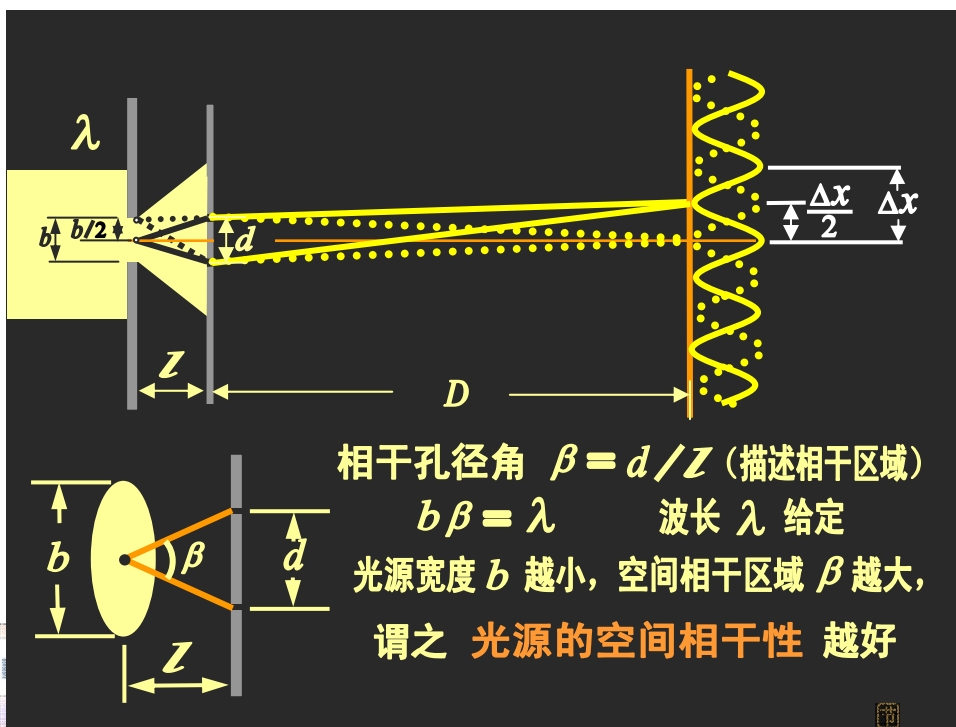
$$K \geq 0.9$$



3-1

空间相干性:

扩展光源照射与之相距 l 的平面，若通过面上 S_1 、 S_2 两点的光在空间再度会合时能够发生干涉，称通过空间这两点的光具有**空间相干性** (spatial coherence)。



◆由临界宽度 $b_c = \lambda/d$ 知, $b \uparrow \rightarrow d \downarrow$, 故**空间相干性**与**光源宽度**密切相关。 $b = b_c$ 时的 d 称**横向相干宽度**:

$$d_t = \lambda/\theta, \text{ 其中: } \theta = b_c/l$$

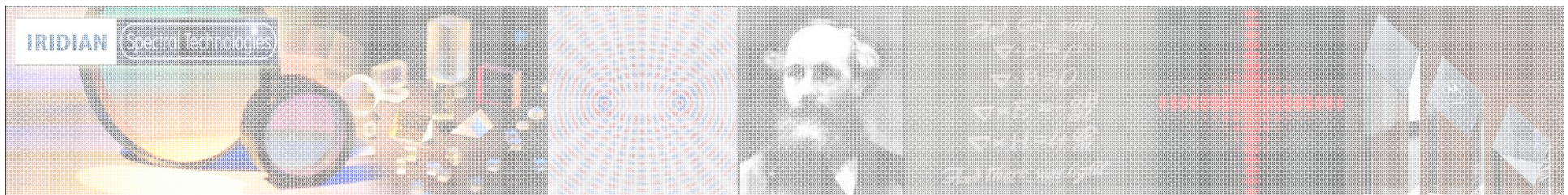
◆对于**圆形光源**, $d_t = 1.22\lambda/\theta$

◆**相干面积**: **方形光源** $A = (\lambda/\theta)^2$
圆形光源 $A = \pi (1.22 \lambda/2 \theta)^2$



3-1

例题：直径为1mm的圆形光源，若 $\lambda = 6 \times 10^{-4} \text{ mm}$ ，在距离光源1m的地方，其横向相干宽度是多少，相干面积是多少？



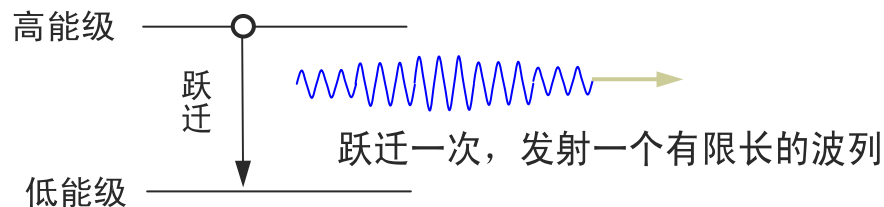
3-1

光源光谱的影响

任何光源都不是理想的单色光源，都有一定光谱宽度 $\Delta \lambda$ 。

光源由多种波长成分构成，每一种波长的光各自生成一组干涉条纹。除零干涉级以外，各组条纹之间有位移，故总的条纹对比度下降。

其起因在于光源发光的微观机制。



coherent time

设跃迁一次的持续时间为 Δt （称为相干时间）

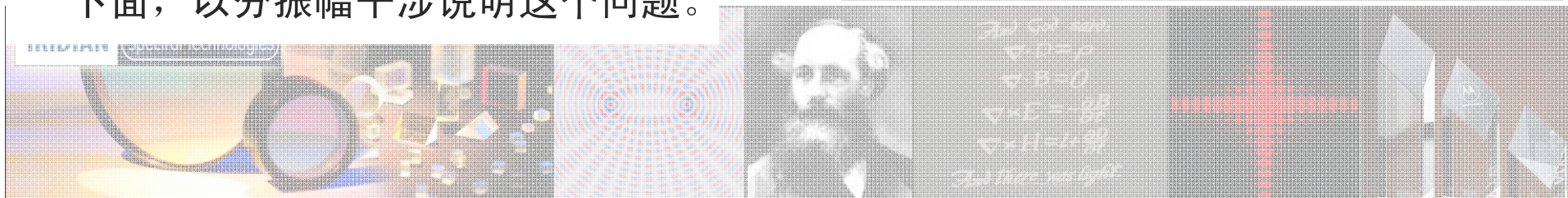
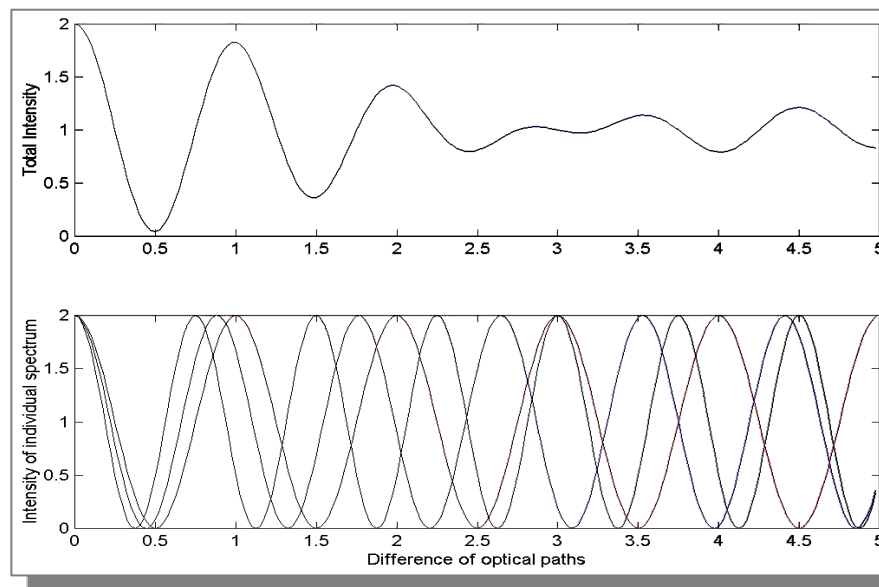
coherent length

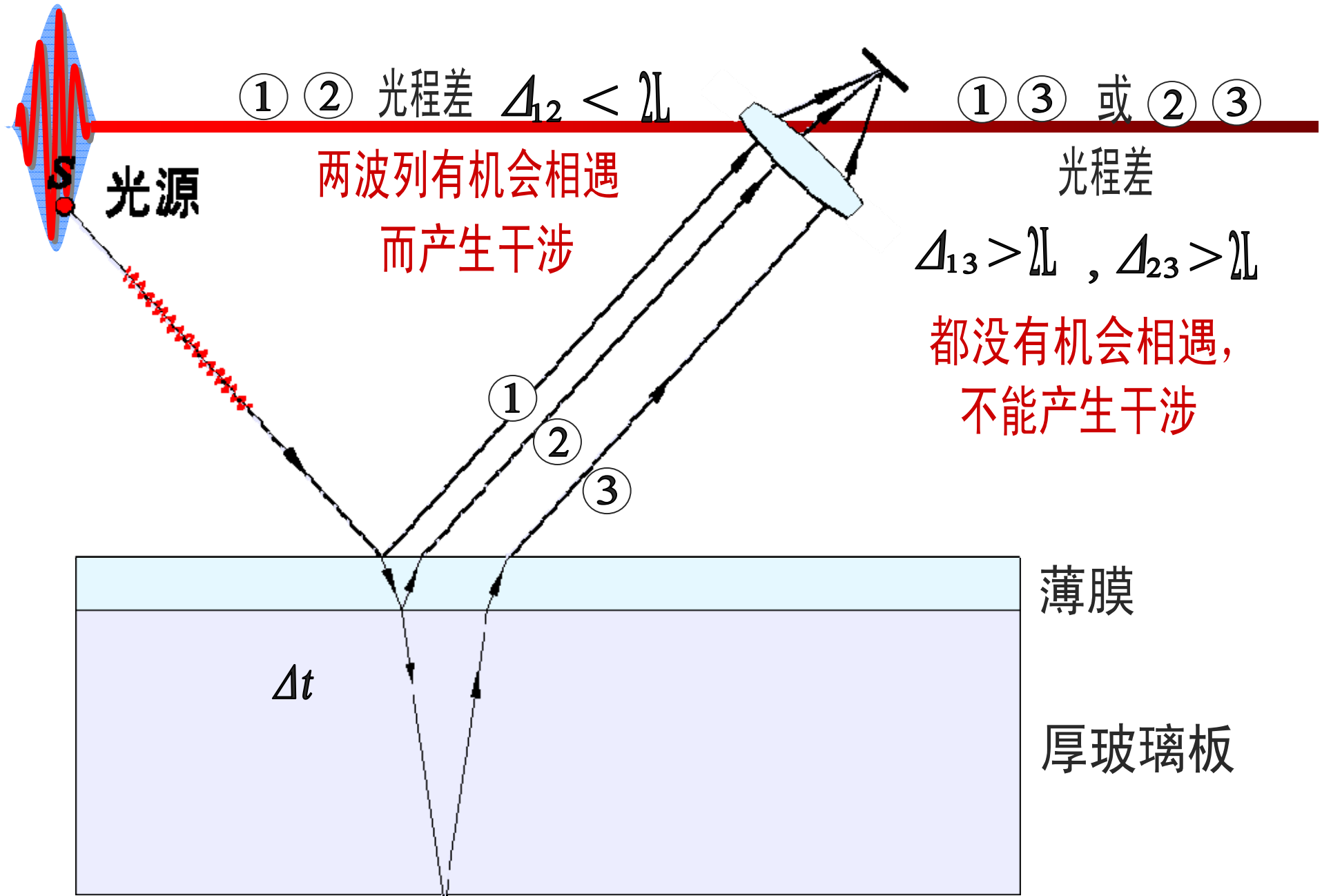
则波列长度（又称相干长度） $\mathcal{L} = c \Delta t$

temporal coherence

Δt 越大，则 \mathcal{L} 越长，光源的时间相干性越好。

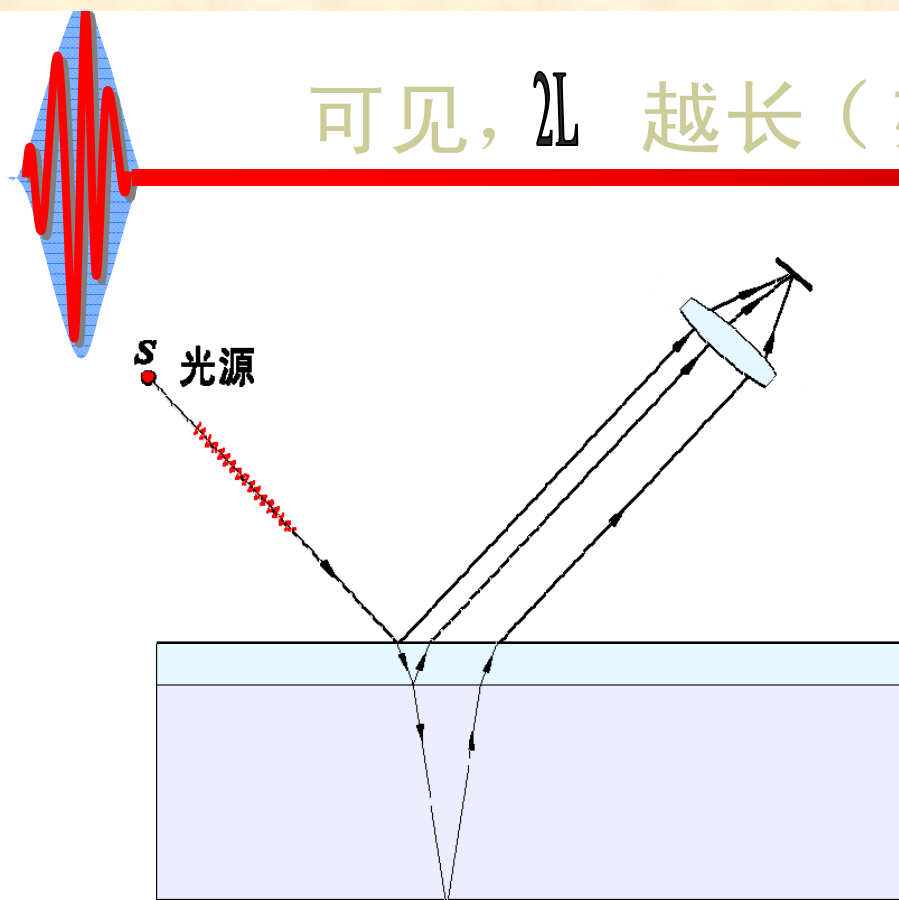
下面，以分振幅干涉说明这个问题。





可见, $2L$ 越长 (亦即 $2L = c \Delta t$ 中的 Δt 越大)

分振幅后的各波列相遇的
机会就越大, 光源的
时间相干性越好。



光谱学研究还发现, 时间相干性越好的光源, 其线状光谱中的频率成分越单纯, 即某一线状光谱中的频带越窄, 谓之单色性越好。换句话说, 单色性越好的光源, 其时间相干性就越好。

$$2L = \lambda^2 / \Delta\lambda$$

梁铨廷《物理光学》, 70页, 有波列长度 $2L$ 详细的论述

3-1

对比度与光谱宽度和光程差的关系:

令, 光谱宽度内每一成分的光强相等。

单个波数宽度为 dk 的谱分量在干涉场中的光强

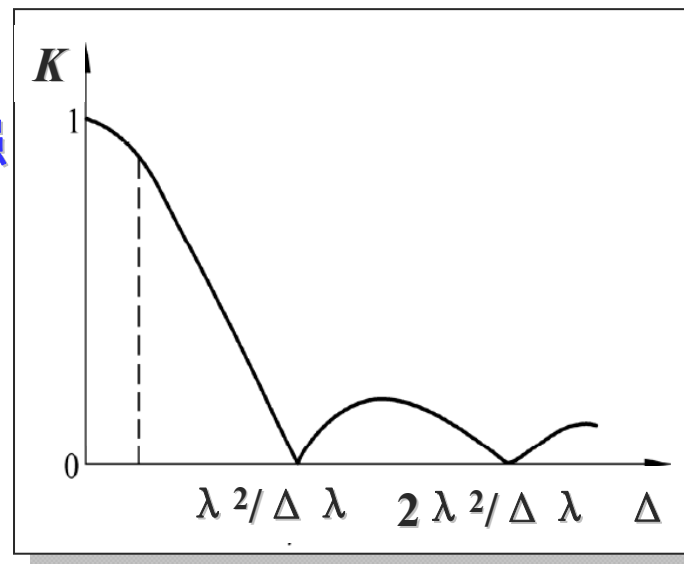
$$dI = 2 I_0 [1 + \cos(k\Delta)] dk$$

全部谱分量形成的总光强为:

$$I = 2 I_0 \int_{k_0 - \Delta k/2}^{k_0 + \Delta k/2} [1 + \cos(k \cdot \Delta)] dk$$

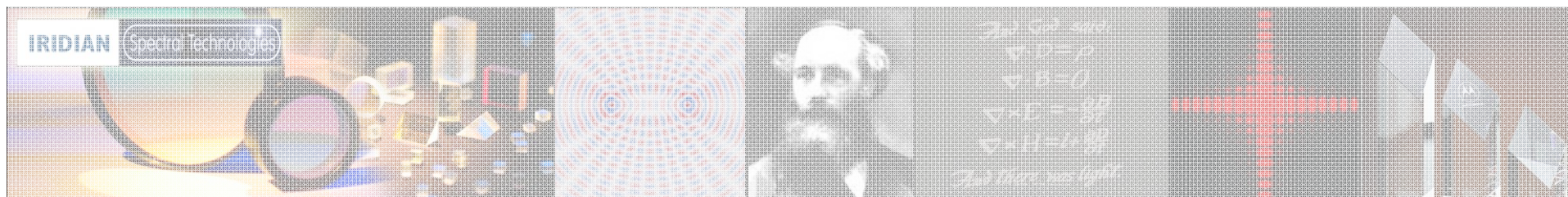
$$= 2 I_0 \Delta k [1 + \sin(\Delta k \cdot \Delta / 2) \cos(k_0 \cdot \Delta) / (\Delta k \cdot \Delta / 2)]$$

对比度 —— $K = \left| \frac{\sin(\Delta k \cdot \Delta / 2)}{\Delta k \cdot \Delta / 2} \right|$

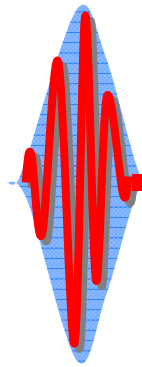


对公式解释: $K = \left| \frac{\sin(\Delta k \cdot \Delta / 2)}{\Delta k \cdot \Delta / 2} \right|$

应该指出: 实际光谱并不是强度均匀分布的。



3-1



视频展示: Fringe contrast — path difference



3-1

两相干光波振幅比的影响

设两相干光波的振幅分别为 A_1 和 A_2 ，光强分别为 I_1 和 I_2 ，则，干涉光强：

$$I_M = (\sqrt{I_1} + \sqrt{I_2})^2, \quad I_m = (\sqrt{I_1} - \sqrt{I_2})^2$$

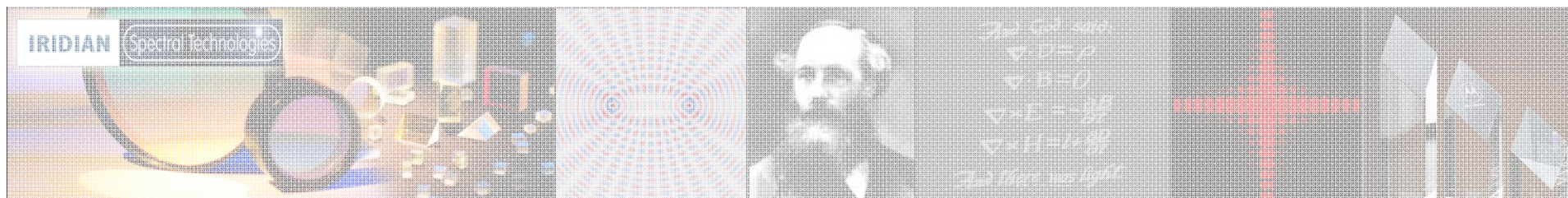
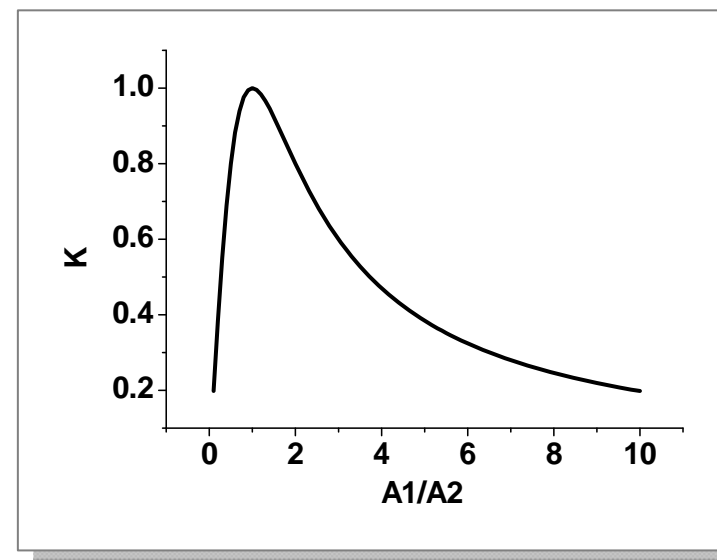
对比度：

$$K = 2(A_1/A_2) / [1 + (A_1/A_2)^2]$$

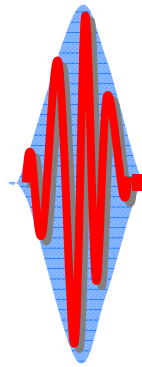
讨论：

$A_1/A_2 = 1 \rightarrow K = 1$ ， A_1/A_2 远离 1 $\rightarrow K \downarrow$

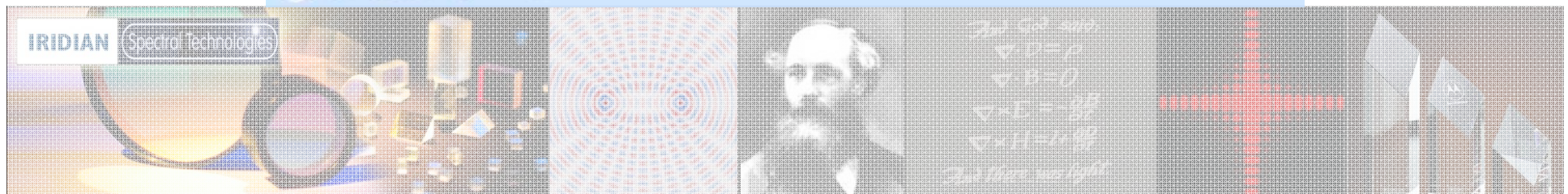
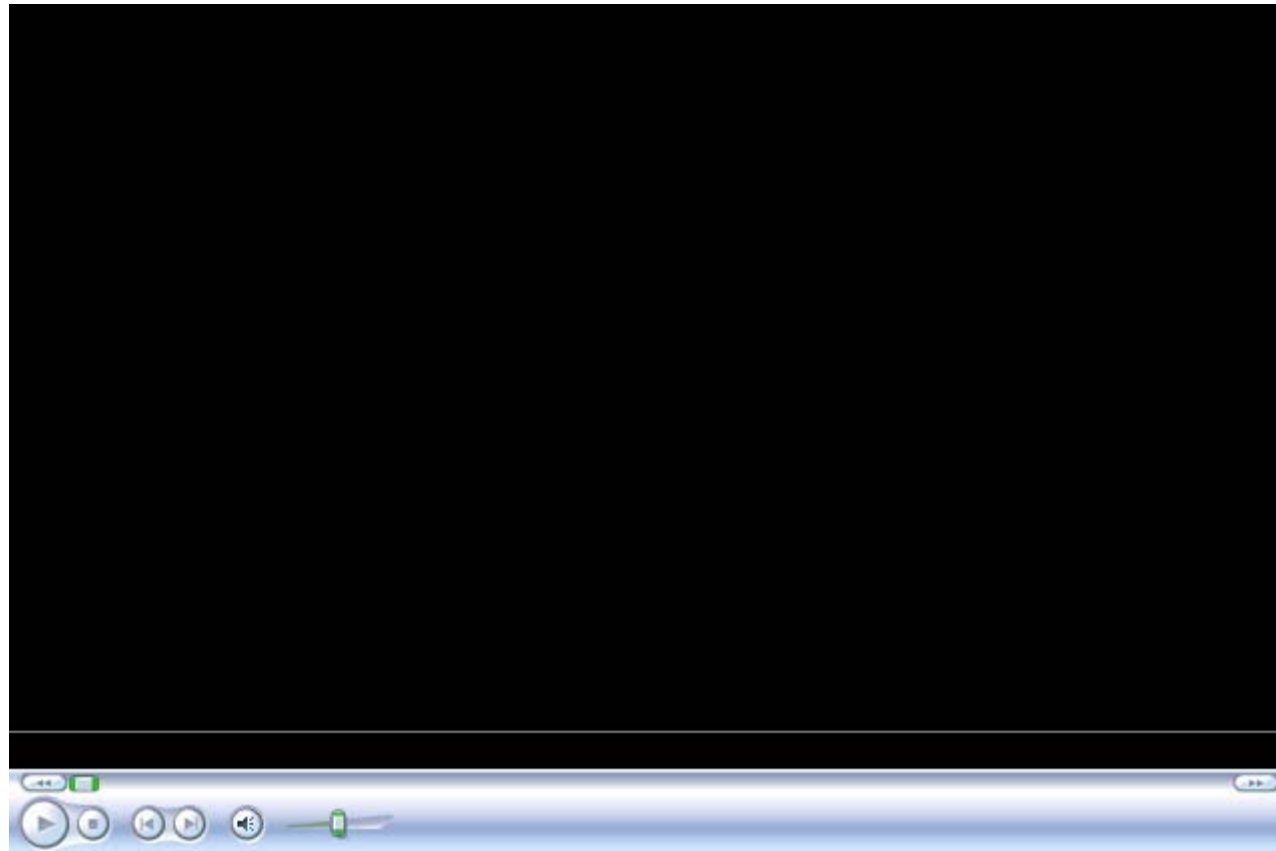
特别地， $A_1/A_2 = 0$ ， $K = 0$ ； $A_1/A_2 = \infty$ ， $K = 0$



3-1

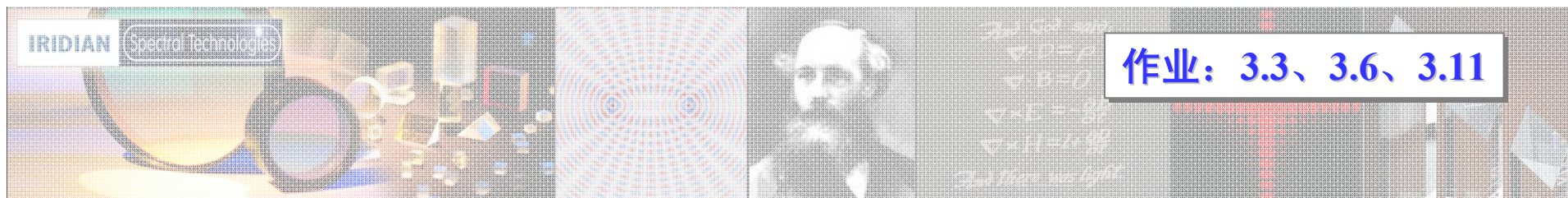
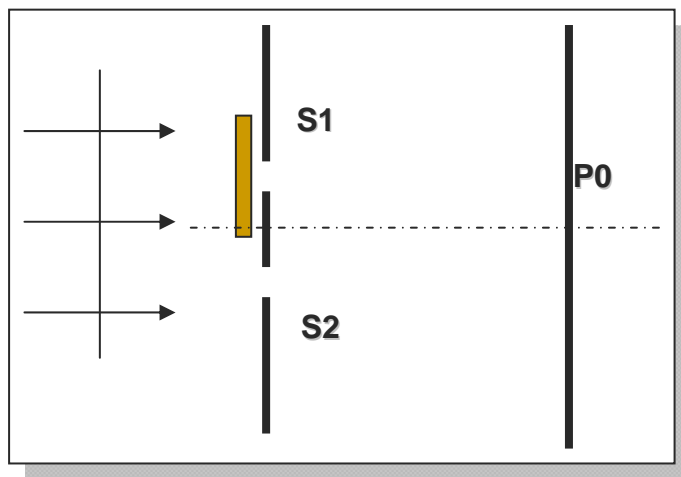


视频展示: Fringe contrast — intensity ratio



3-1

例题：如图杨式干涉装置，入射波长宽度为 0.05nm ，平均波长为 500nm ，问在小孔 S_1 处贴多厚的玻璃片可使 P_0 处的条纹消失？设玻璃折射率为 1.5

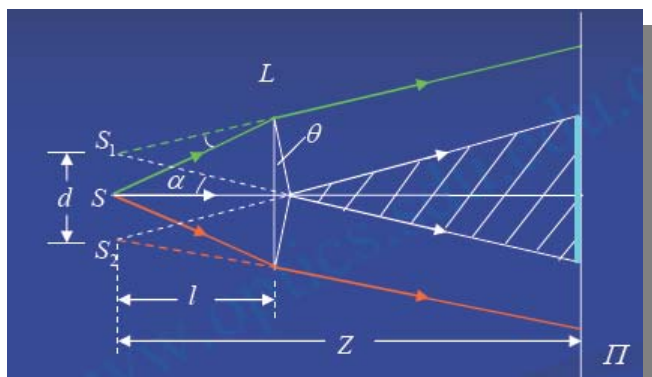


作业：3.3、3.6、3.11

3-2 其它分波面干涉 (3.3)

菲涅耳双棱镜

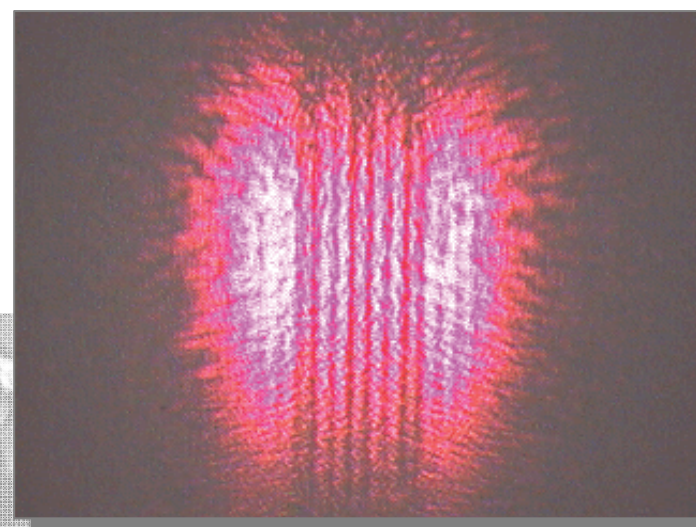
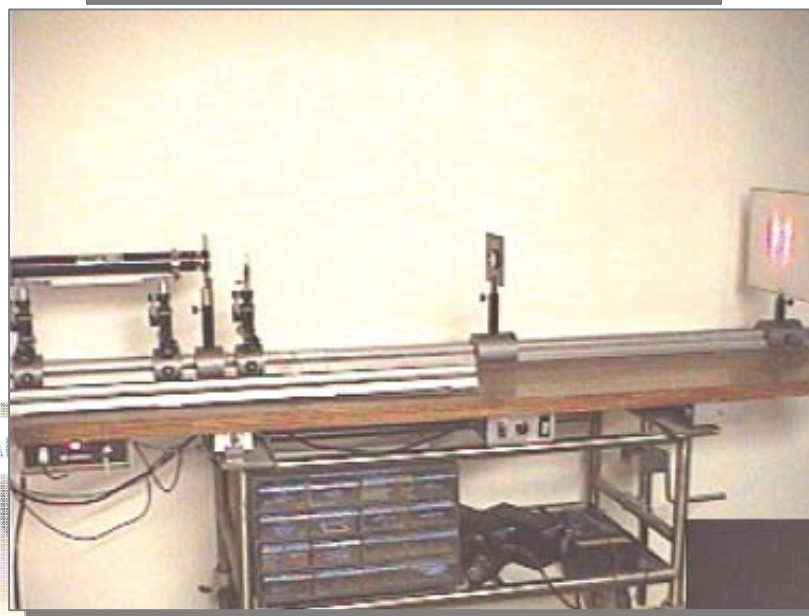
菲涅耳双棱镜L由两个顶角 θ 相同且很小的棱镜结合而成，如图所示。



θ 小，傍轴近似下，光线偏转角 $\alpha \approx (n-1)\theta$

$$d = 2l\alpha = 2(n-1)l\theta$$

$$e = \frac{\lambda Z}{d} = \frac{\lambda Z}{2(n-1)l\theta}$$



3-3 分振幅双光束干涉 (3.6, 3.7, 3.8, 3.10, 3.12)



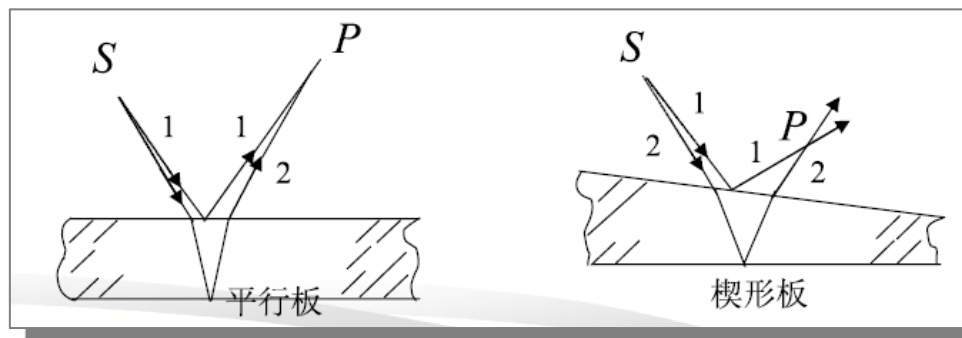
平行平板干涉

问题的提出:

分波前 \rightarrow 光源宽度 $\downarrow \rightarrow$ 能量 (亮度) $\downarrow \rightarrow K \uparrow$
光源宽度 $\uparrow \rightarrow$ 能量 (亮度) $\uparrow \rightarrow K \downarrow$ 提高亮度、提高对比度是一对矛盾

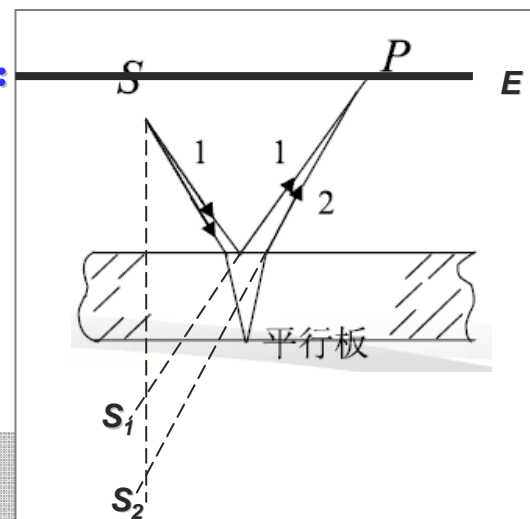
解决方法:

分振幅 \rightarrow 光源宽度 \uparrow 并且 $K \uparrow$ — 干涉仪的工作基础



条纹的定域、非定域

条纹的非定域:



对任意点光源S和上半空间任一点P, 都有并且仅有从S发出的两条光线在P点相交, Δ 仅与P点位置有关。干涉条纹分布于整个上半空间, 我们称该条纹是非定域的。



3-3

条纹的定域

当光源为**扩展光源**时，空间中绝大部分位置将不再出现干涉条纹。

只在某些**特定区域**，才能得到明显的干涉条纹，且干涉条纹的对比度**不随**光源尺寸的改变而变化，这一区域称为条纹的**定域**，相应的条纹称为**定域条纹**（localized fringes）。

可见，定域问题是由光源的**空间扩展**而产生的，**单色点光源无定域**一说

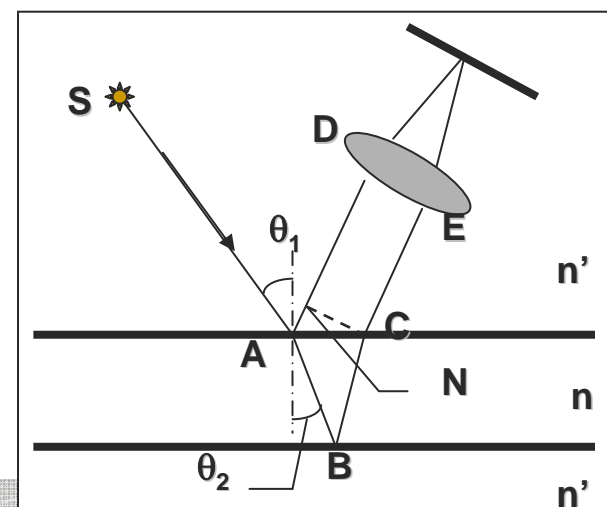
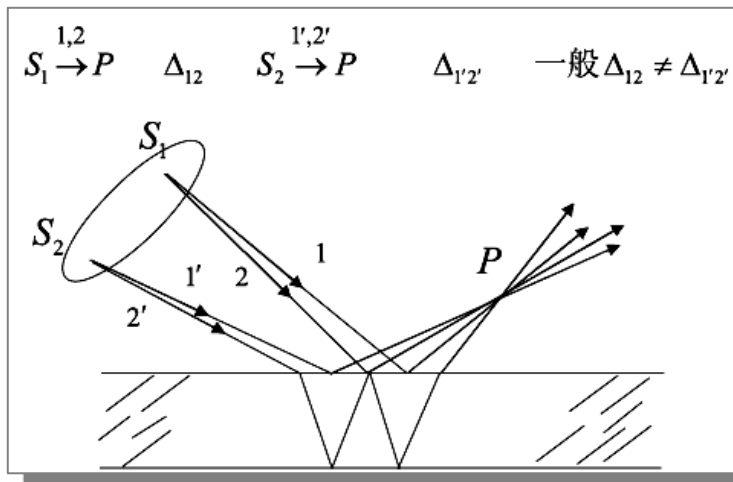
如何得到定域面？

$$b\beta < \lambda$$

b: 光源横向宽度; β : 干涉孔径

若 $\beta = 0$ ，则 b 可以趋近**无穷大**。

因此，满足该条件的区域，即为定域面



IRID

对于平行平板:

$\beta=0$ 做图法。单根光线从平板上、下表面反、透射后相交所形成的面。

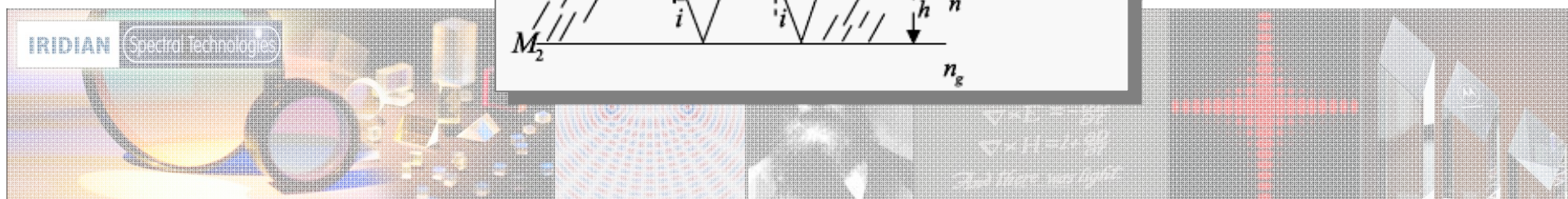
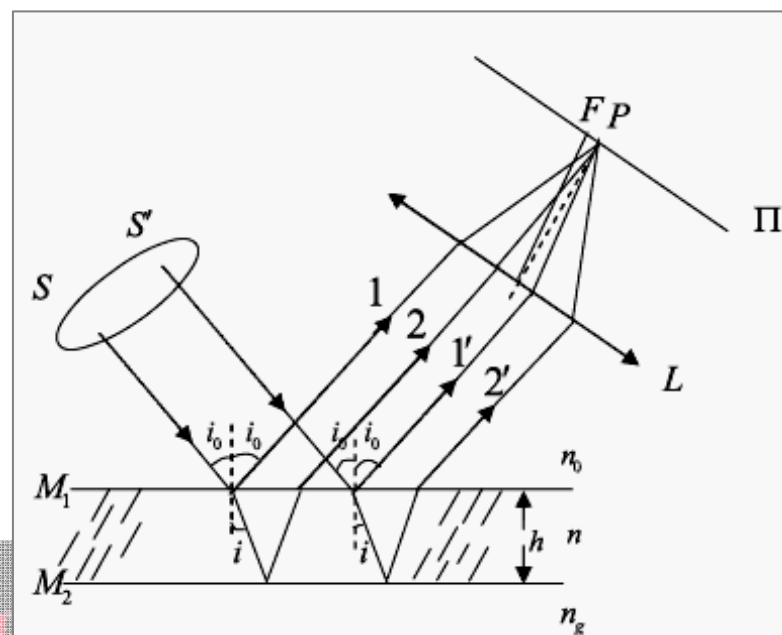
因此，对**平行平板**，**定域面**位于**无限远**。经透镜观察，则位于透镜的**后焦面**

3-3

为什么在定域的干涉条纹不随光源宽度变化，对比度也不变？

S, S' 发出两平行光线, 入射角 (i_0), 它们经平板上下表面反射得出射光线1与2仍保持平行 (i_0), $\Delta_{12} = \Delta_{1'2'}$, 若相长均相长, 若相消均相消。

i_0 变, Δ 亦变, 但不同源点射出来的平行光线 Δ 仍同。 Δ 只与 i_0 有关, 与 S 点位置无关, 故光源可推广到扩展源。

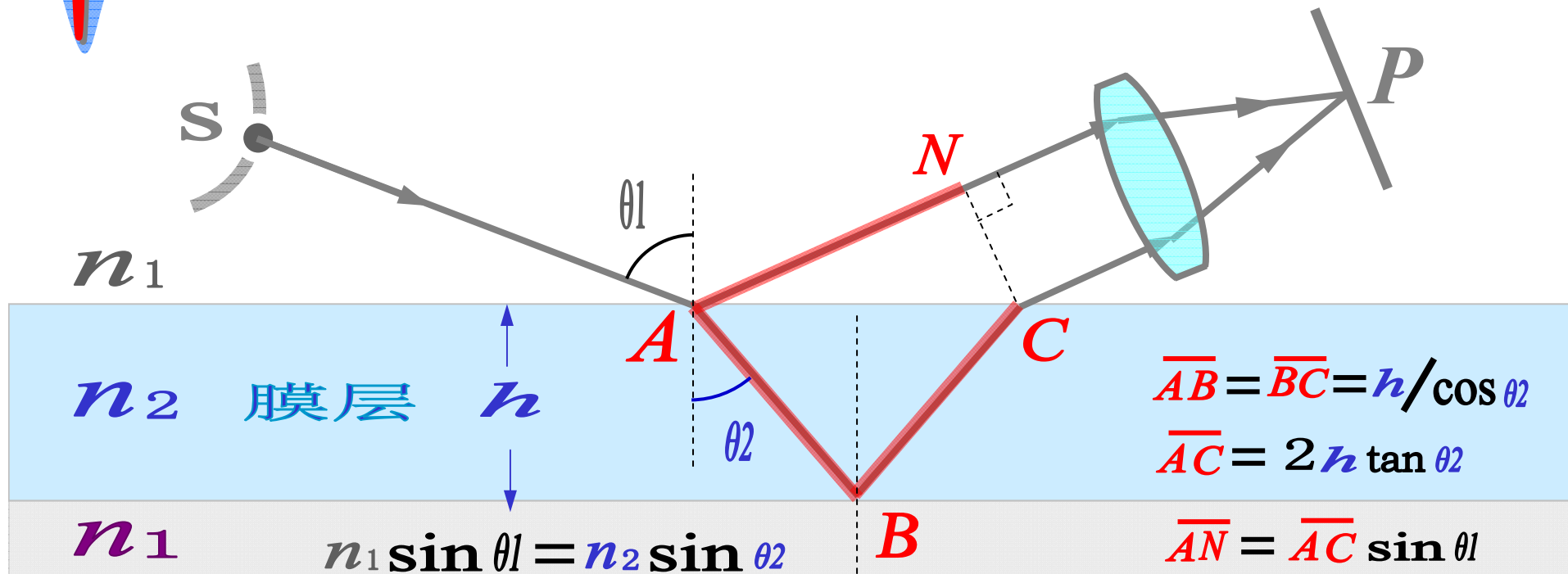


平行平面膜的等倾干涉

等倾条纹 (fringes of equal inclination)



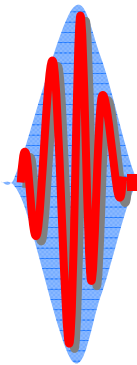
反射光干涉的光程差



传播光程差 $\Delta = n_2 (\overline{AB} + \overline{BC}) - n_1 \overline{AN}$

$$= 2h \sqrt{n_2^2 - n_1^2 \sin^2 \theta_1}$$

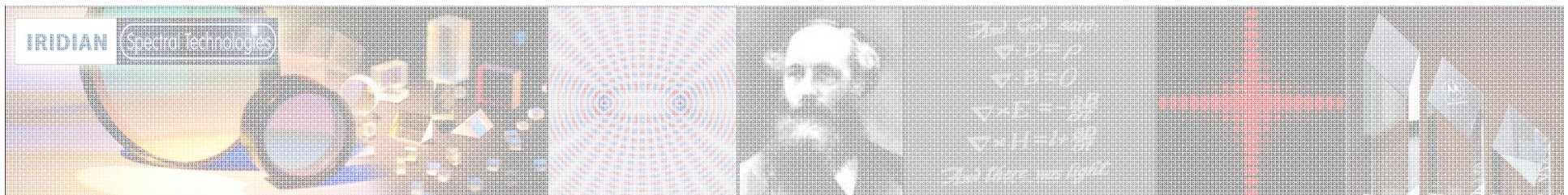
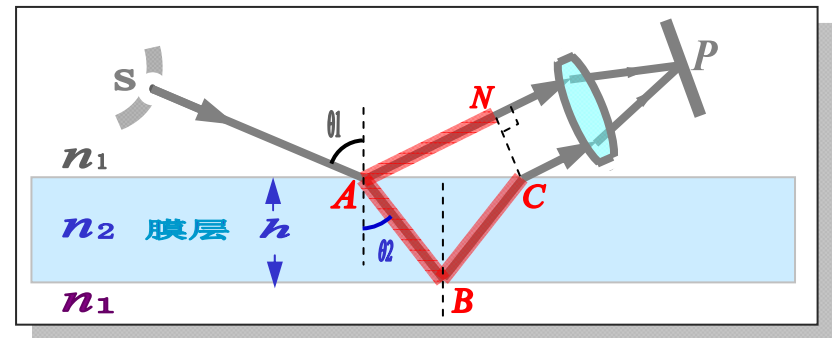
3-3



等倾条纹 (fringes of equal inclination)

讨论:

- 上下表面反射的两束光的光程差还可写为:
 $\Delta = 2nh\cos(\theta_2)$
 h 为常量、 θ_2 为变量
- 若平行平板置于上下对称的环境中, 则必有净半波损失, 上式须增加一项,
 $\Delta = 2nh\cos(\theta_2) + \lambda/2$
- 随光程差 Δ 的变化, 透镜焦平面上出现一组亮暗条纹, 且
 - ◆ $\Delta = m\lambda$ 为亮纹, $\Delta = (m+1/2)\lambda$ 为暗纹, m 为整数
 - ◆ 角度 θ_2 相同的光束形成同一条纹, 故称**等倾条纹**

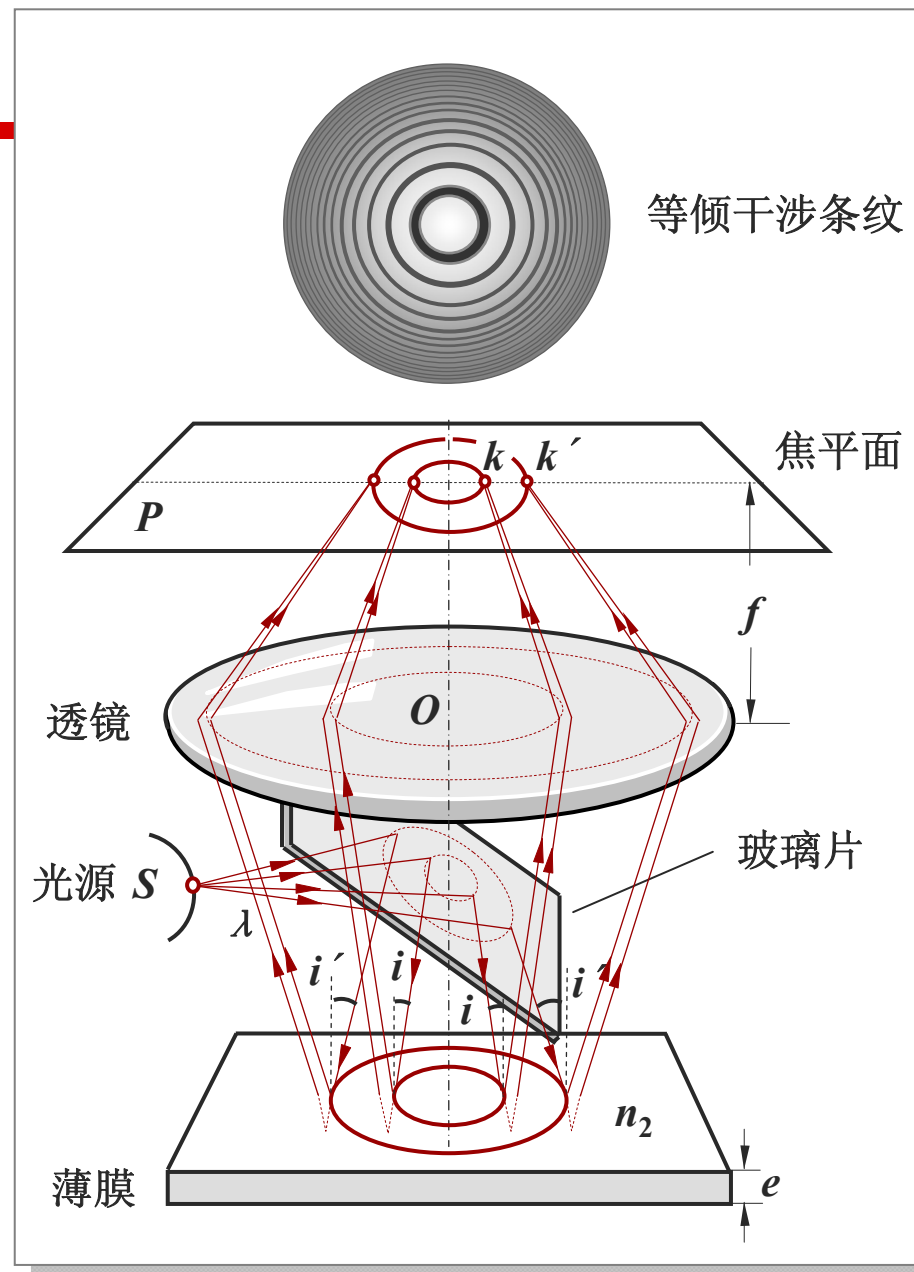




等倾干涉条纹的观察

入射倾角值相等的光线构成一圆锥面，
线经平行膜反射，其相干光用透镜聚焦
在焦平面上形成同一级圆条纹。

i 相等的光线对应于第 k 级，
 i' 相等的光线对应于第 k' 级，



3-3

圆等倾条纹的特点:

1. 越近**中心**，干涉级次**越高**;
2. 条纹半径与 $(1/h)^{1/2}$ 成正比，平板**越厚**第N个亮纹半径**越大**；证明如下:

设中心干涉级次为 m_0 ，有:

$$2nh + \lambda/2 = m_0\lambda = (m_1 + q)\lambda \quad (1)$$

m_1 为整数， q 为小于1的分数

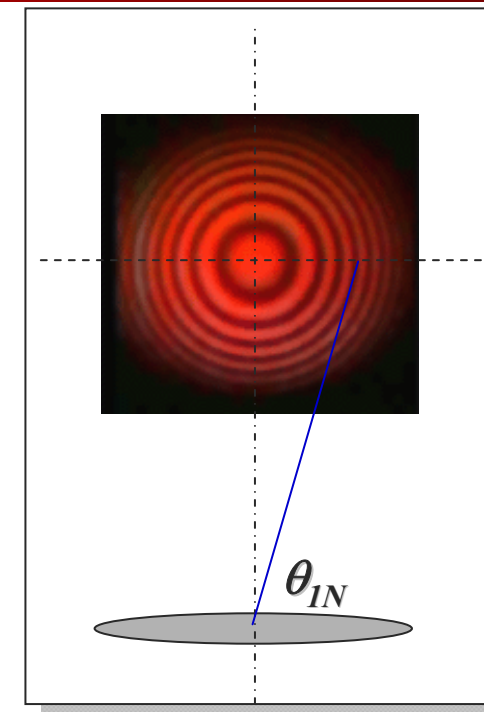
从中心向外数，第N个亮条纹的角半径为 θ_{1N} ， θ_{2N} 为其对应的折射角， n 、 n' 为玻璃、环境折射率，

$$n' \sin \theta_{1N} = n \sin \theta_{2N}$$

$$2nh \cos \theta_{2N} + \lambda/2 = (m_1 - N + 1) \lambda \quad (2)$$

假设 θ_{1N} 很小，联立求解(1)和(2)

$$\theta_{1N} \approx [n\lambda(N-1+q)/h]^{1/2}/n' \quad (3)$$



3-3

圆等倾条纹的特点:

3.靠近中心的条纹较疏, 远离中心的条纹较密;

证明如下:

利用关系式 $2nh\cos(\theta_2) + \lambda/2 = m\lambda$, 两边微分, 有:

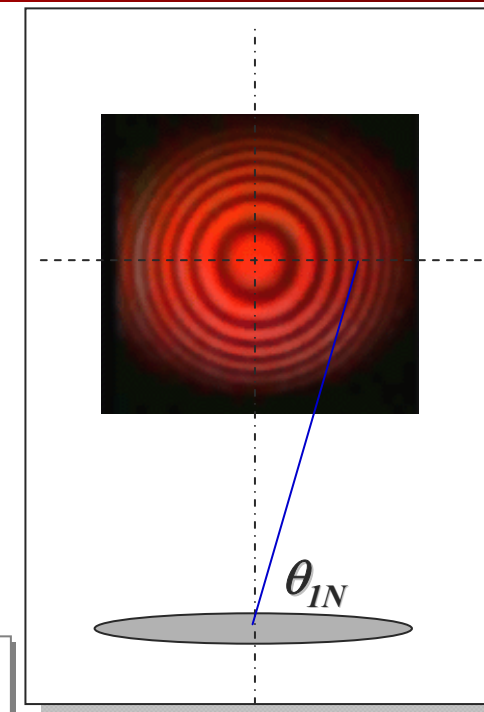
$$-2nh\sin\theta_2 d\theta_2 = \lambda dm$$

取 $dm=1$, 得到等倾条纹相邻角间距,

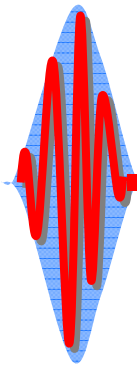
$$\Delta\theta_2 = -\lambda/(2nh\sin\theta_2), \text{ 或 } \Delta\theta_1 \approx n\lambda/(2n^2\theta_1 h)$$

总结, 圆等倾条纹的特点:

1. 越近中心, 干涉级次越高;
2. 条纹半径与 $(1/h)^{1/2}$ 成正比, 平板越厚第N个亮纹半径越大;
3. 靠近中心的条纹较疏, 远离中心的条纹较密;

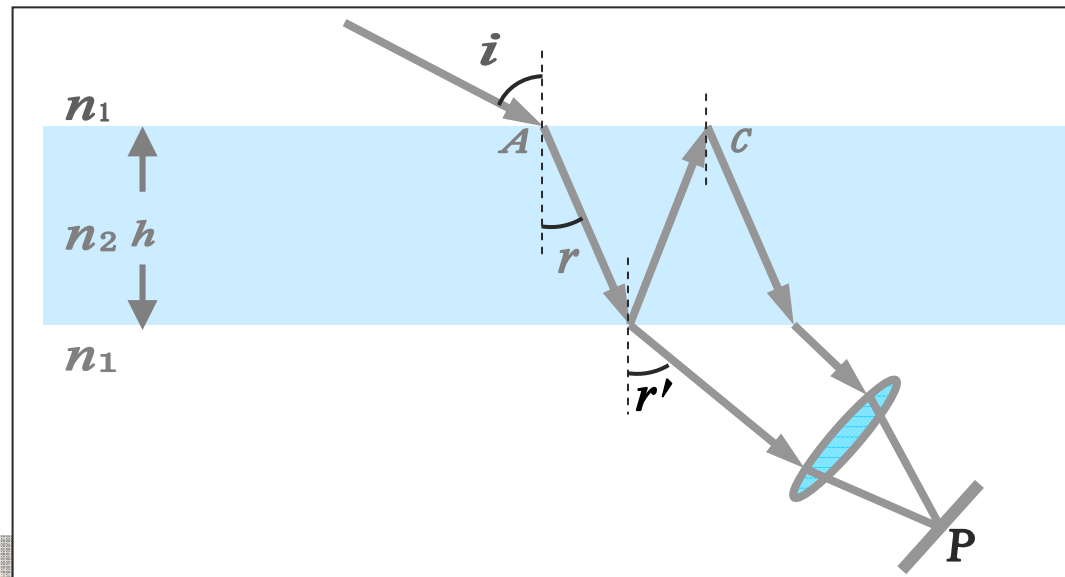


3-3

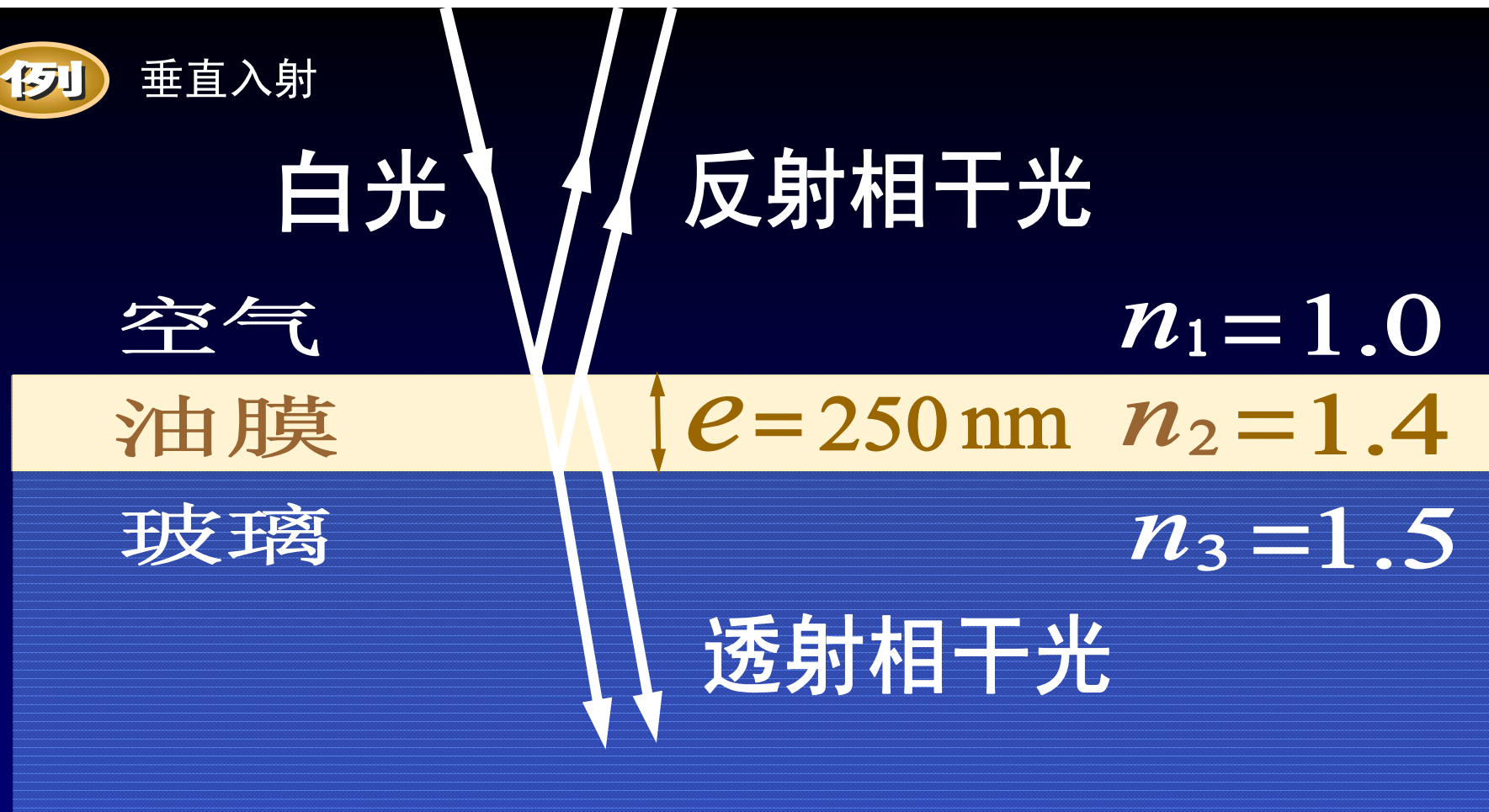


透射光条纹

- ◆ 对称环境中，平行平板的两束透射光**没有**净半波损失，因此二者之间的位相差 $\Delta=2nh\cos\theta_2$
- ◆ 透射光因此与反射光“**互补**”：对同一入射角，反射光如是**亮纹**，透射光就是**暗纹**，反之亦反
- ◆ 当平板表面的**反射率较低**时，两束透射光强度**相差很大**，而两束反射光强度相差较小，所以，**反射光干涉条纹对比度要优于透射光**



例 垂直入射



1. 哪些波长的可见光在反射中产生相长干涉?
2. 哪些波长的可见光在透射中产生相长干涉?
3. 欲使反射光中 $\lambda = 550 \text{ nm}$ 的光产生相消干涉, 油膜至少该多厚?

反射相长干涉

$$\delta = \delta_0 + \delta' = 2e n_2 + 0 = k \lambda$$

$$\lambda = 2e n_2 / k$$

$$k = 1 \quad \lambda_1 = 700 \text{ nm}$$

$$k = 2 \quad \lambda_2 = 350 \text{ nm}$$

例 垂直入射



1. 哪些波长的可见光在反射中产生相长干涉?
2. 哪些波长的可见光在透射中产生相长干涉?
3. 欲使反射光中 $\lambda = 550 \text{ nm}$ 的光产生相消干涉, 油膜至少该多厚?

透射相长干涉

等效于反射光相消干涉

$$\delta = \delta_0 + \delta' = 2e n_2 + 0 = (2k+1) \frac{\lambda}{2}$$

$$\lambda = 4e n_2 / (2k+1)$$

$$k = 0 \quad \lambda_0 = 1400 \text{ nm}$$

$$k = 1 \quad \lambda_1 = 476 \text{ nm}$$

$$k = 2 \quad \lambda_2 = 280 \text{ nm}$$

欲使 $\lambda = 550 \text{ nm}$ 的光
发生反射相消干涉

$$\delta = \delta_0 + \delta'$$

$$= 2e n_2 + 0$$

$$= (2k+1) \frac{\lambda}{2}$$

$$e = \frac{(2k+1)}{4 n_2} \lambda$$

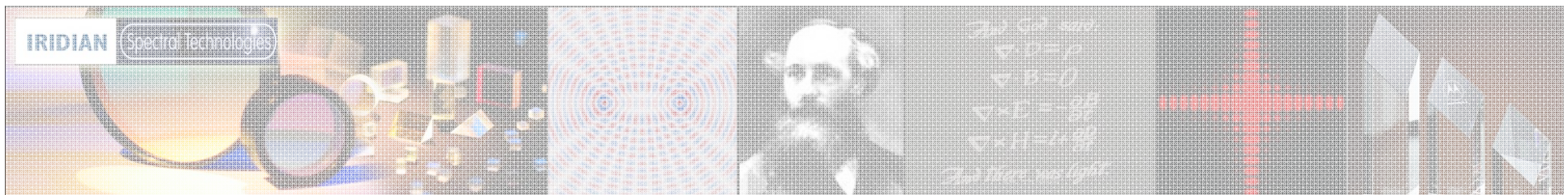
$$k = 0, \lambda = 550 \text{ nm}$$

$$e_{\min} = \frac{\lambda}{4 n_2}$$

$$= 98.2 \text{ nm}$$

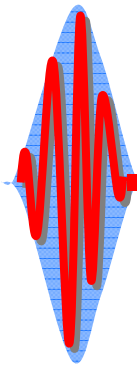
3-3

例题：在平板干涉实验中，平板折射率为 1.5，周围为空气，观察望远镜轴线与平板垂直。试计算从反射光方向和透射光方向观察到的条纹对比度。



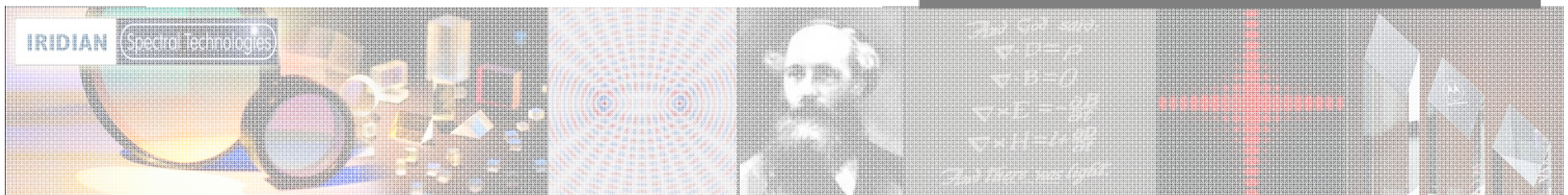
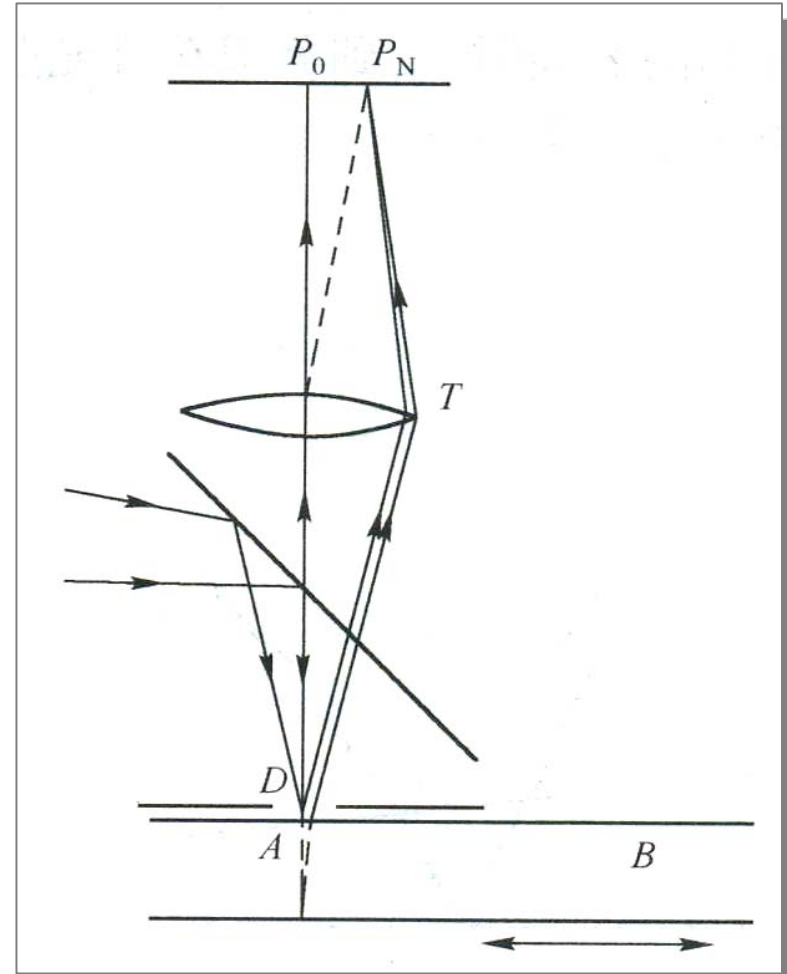


3-3

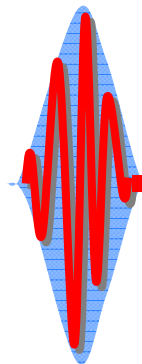


例题：图示为平板厚度均匀性检测装置，D是限制受照面积的光阑。当平板相对光阑水平移动时，通过望远镜T可观察不同位置产生的条纹。

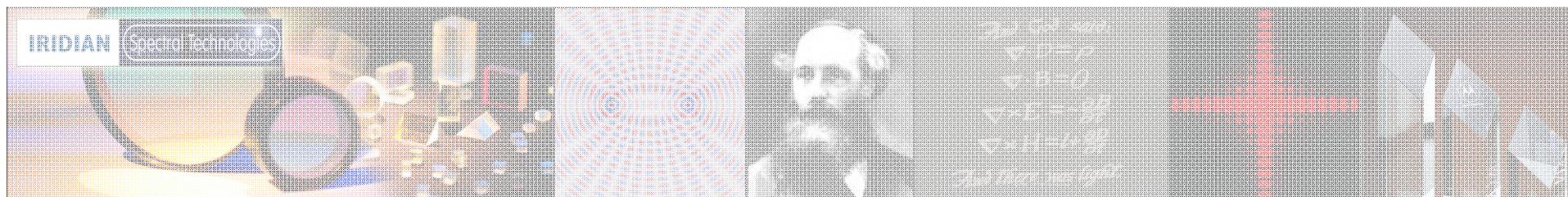
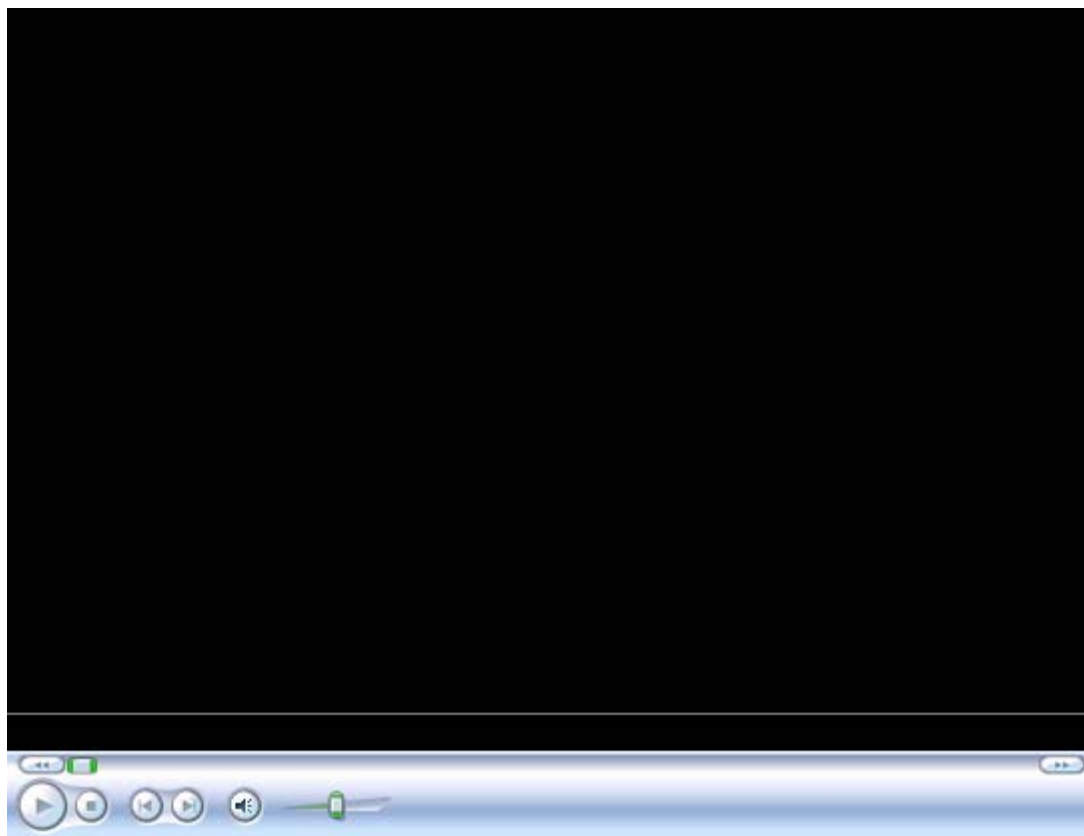
- 1) 平板由A移到B，观察有10个暗环向中心收缩并消失，试确定A、B处的厚度差；
- 2) 若所用光源谱宽为0.05nm，平均波长为500nm，问只能检测多厚的平板？平板折射率为1.5。



3-3

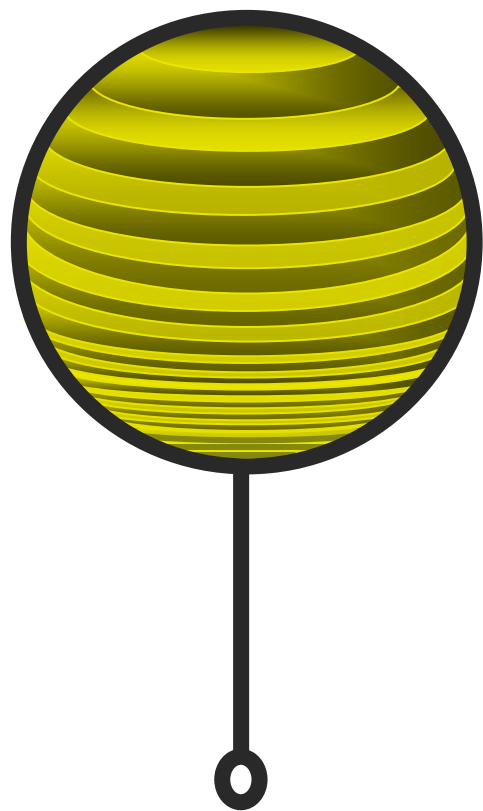


视频展示：肥皂膜干涉



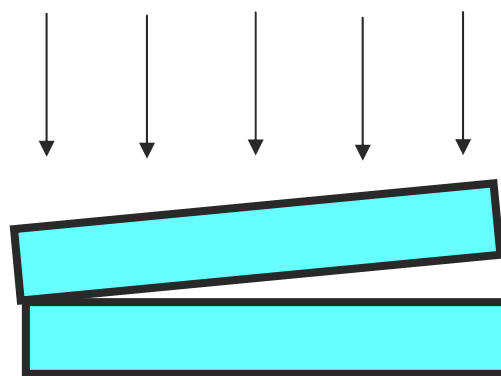
非平行膜的等厚干涉

等厚干涉 —— 厚度相等处形成同一级干涉条纹

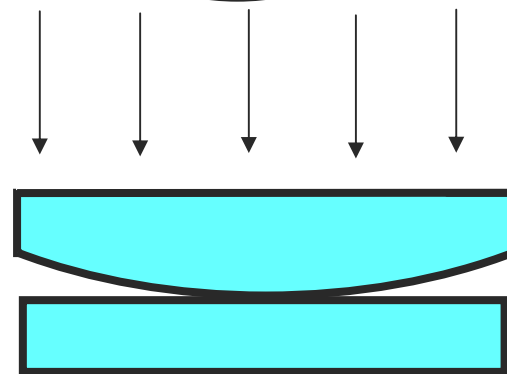
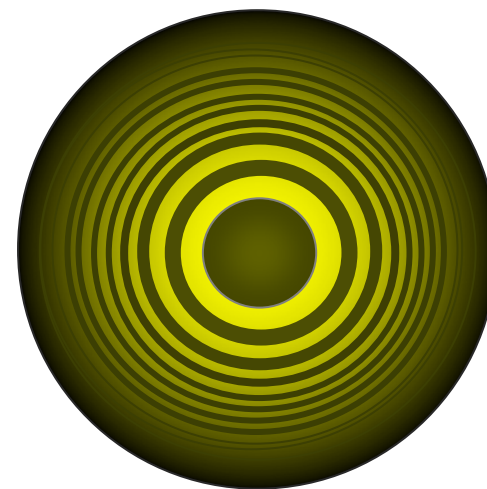


竖放肥皂膜

08:21



空气楔



牛顿环

1. 楔形平板干涉

楔形平板 —— 上、下表面不平行，夹角又非常小的薄膜。

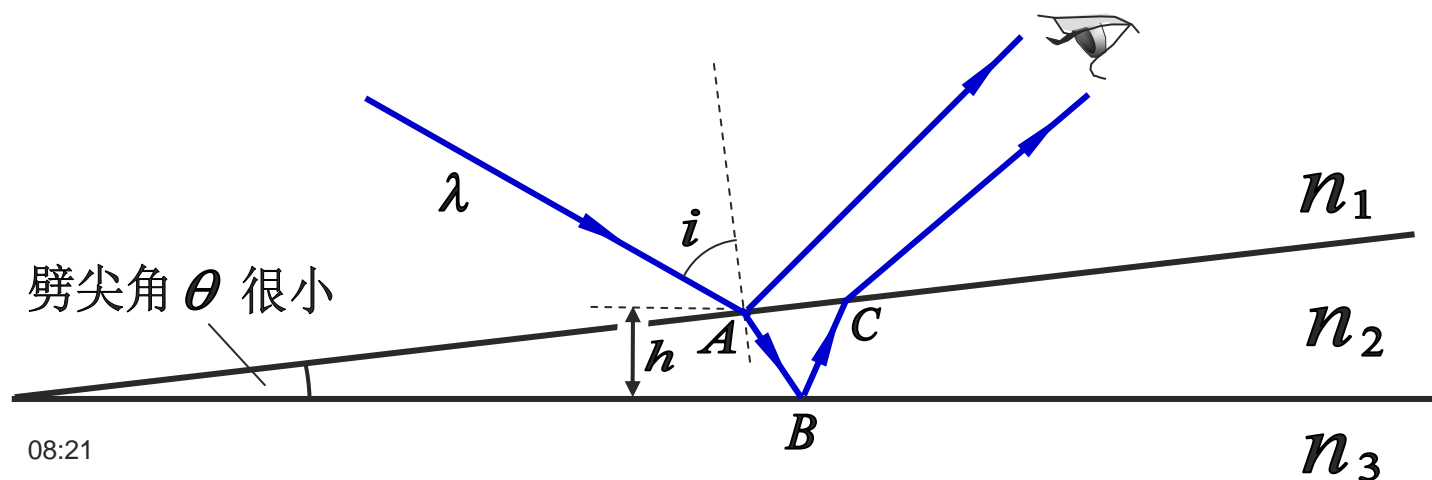
入射于某点的光线，经上、下表面反射，获得相干光，可发生反射光干涉。

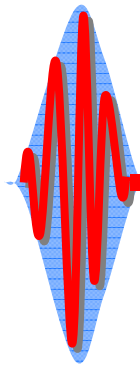
因劈尖角 θ 非常小， A 点和 C 点的厚度 h 近乎相等。

因此，对于劈尖的每一个小局部，可应用前述平行膜公式，但各局部的厚度 h 不同。

最常用的是单色平行光垂直入射情况：劈尖各不同厚度 h 处的反射光总光程差为

$$\Delta = \Delta_0 + \Delta' = 2hn_2 + \begin{cases} 0 & \text{反射条件相同} \\ \frac{\lambda}{2} & \text{反射条件不同} \end{cases}$$





非平行膜垂直入射情况反射光干涉的

总光程差

$$\Delta = \Delta_0 + \Delta'$$
$$= 2hn_2 + \begin{cases} 0 & \text{反射条件相同} \\ \frac{\lambda}{2} & \text{反射条件不同} \end{cases}$$

Δ 随 h 变. 干涉条纹是薄膜等厚点的轨迹.

$$\text{若 } \Delta = \begin{cases} m\lambda & \text{明纹} \\ (2m+1)\frac{\lambda}{2} & \text{暗纹} \end{cases}$$

楔形平板干涉的等厚干涉条纹

—— 一系列明暗相间的平行等距直条纹

相邻明（或暗）纹间的光程差 $\lambda = 2n_2 \Delta e$

对应处 劈尖的厚度差

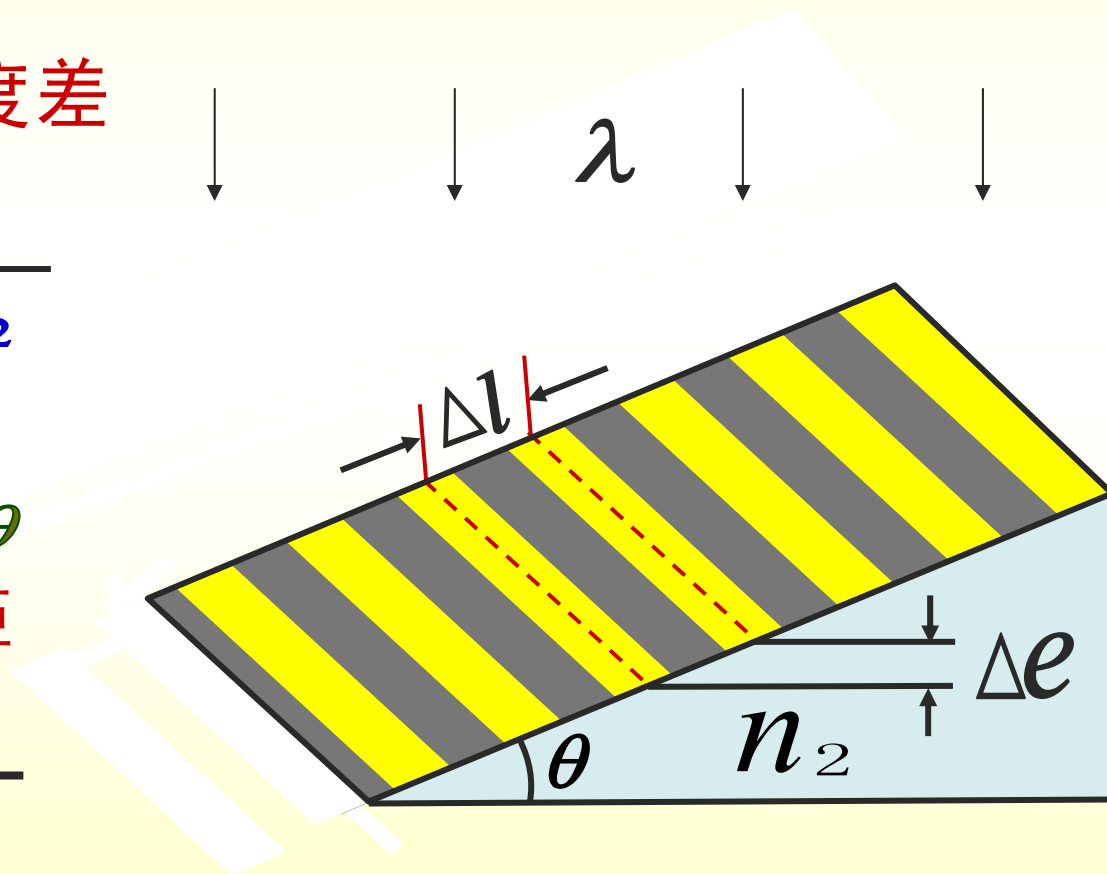
$$\Delta e = \frac{\lambda}{2n_2}$$

θ 很小,
 $\sin \theta \approx \tan \theta \approx \theta$

相邻条纹间距

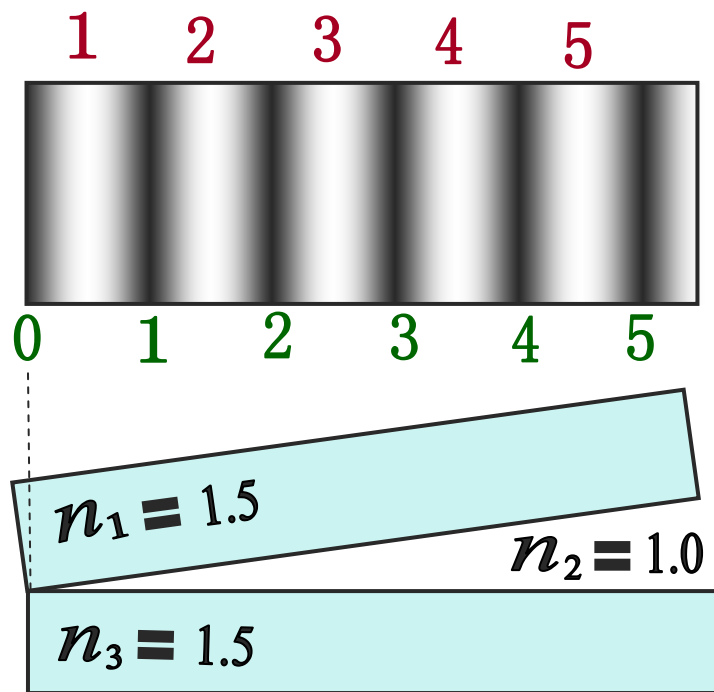
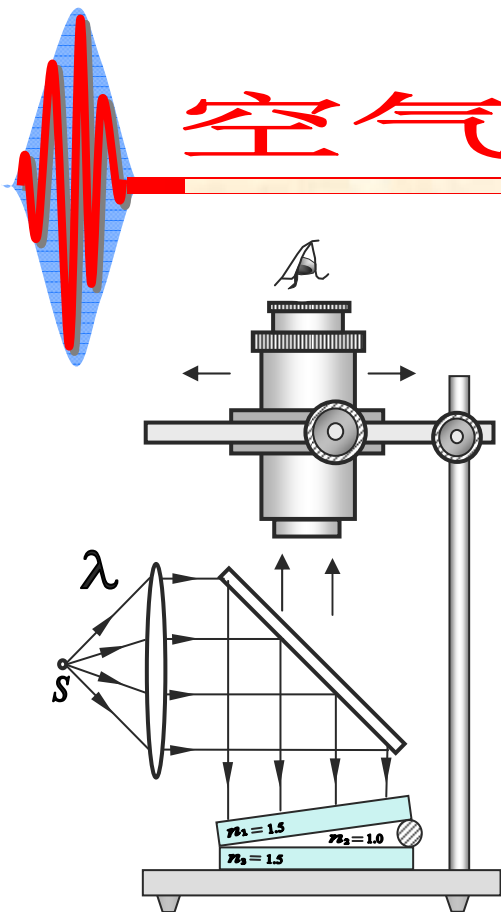
$$\Delta l = \frac{\Delta e}{n_2 \sin \theta}$$

(对于空气劈尖, $n_2 = 1$)



空气楔

$$\Delta = 2hn_2 + \begin{cases} \frac{\lambda}{2} & \text{反射条件不同} \\ 0 & \text{反射条件相同} \end{cases}$$



$$n_1 > n_2 < n_3$$

反射条件不同

$$\text{且 } n_2 = 1.0$$

得

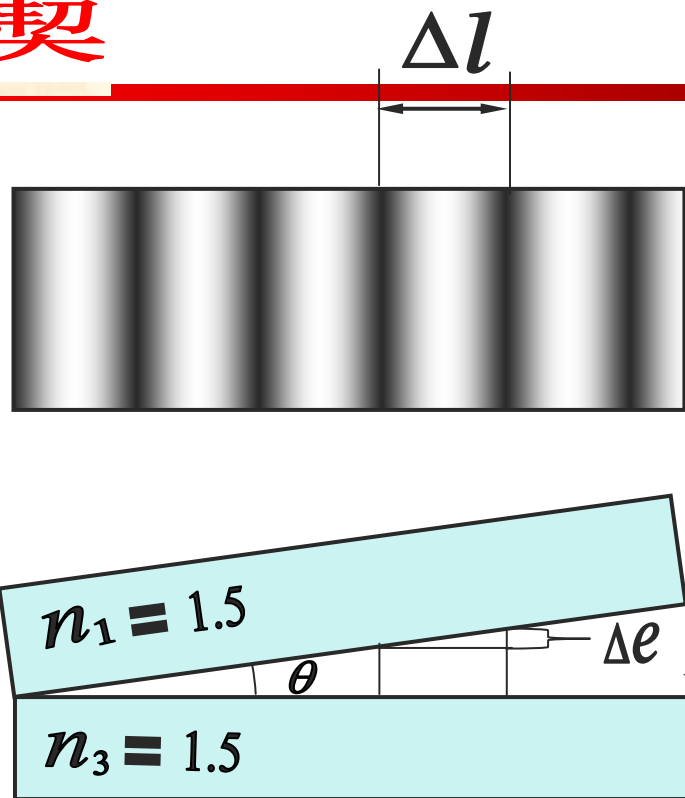
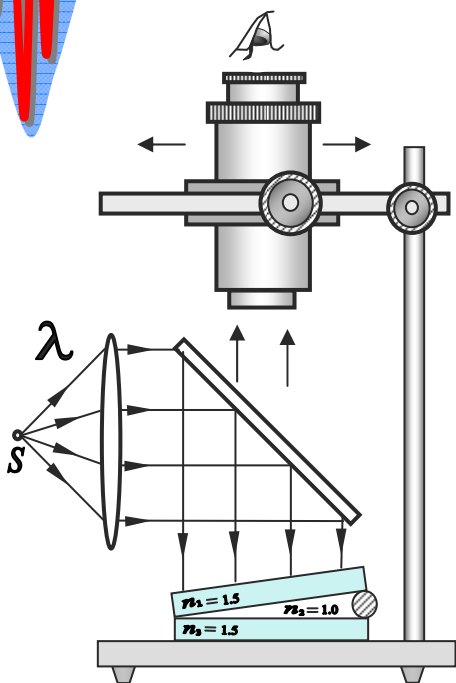
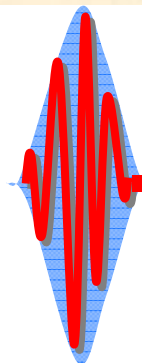
$$\Delta = 2h + \frac{\lambda}{2}$$

明纹: $\Delta = m\lambda$, 得 $h = (2m-1)\frac{\lambda}{4}$ ($m = 1, 2, \dots$)

暗纹: $\Delta = (2m+1)\frac{\lambda}{2}$, 得 $h = m\frac{\lambda}{2}$ ($m = 0, 1, \dots$)

空气楔交棱处 $h = 0$, 反射光干涉总是得 0 级暗纹, 这可作为半波损失的验证.

空气楔



由 $\Delta e = \frac{\lambda}{2n_2}$

及

$$\Delta l = \frac{\Delta e}{\sin \theta}$$

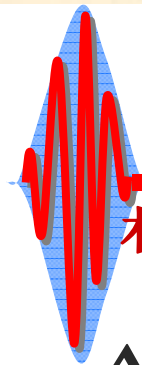
$$= \frac{\lambda}{2n_2 \sin \theta}$$

因 $n_2 = 1.0$

得 两相邻条纹间劈尖的厚度差 $\Delta e = \frac{\lambda}{2}$

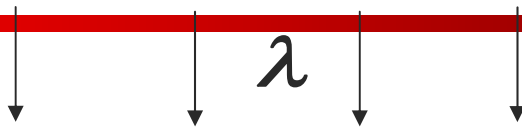
相邻条纹间距 $\Delta l = \frac{\Delta e}{\sin \theta} = \frac{\lambda}{2 \sin \theta}$

θ 增大则 Δl 变小, 即条纹变密, 当 θ 大到一定程度时, 条纹就会密到不能分辨。



相邻条纹间距

$$\Delta l = \frac{\lambda}{2 \sin \theta}$$



例如 $\lambda = 550 \text{ nm}$

$\theta = 1'$ 时

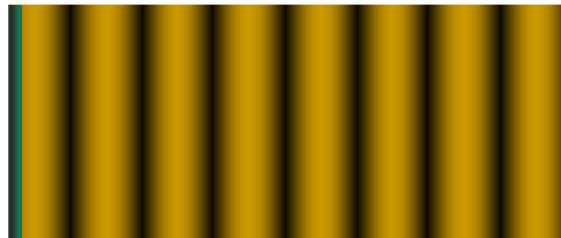
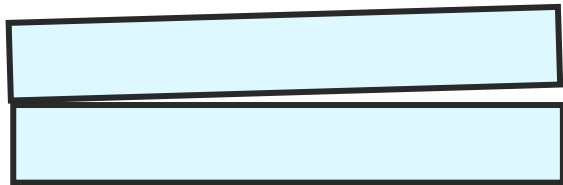
$$\Delta l = 0.95 \text{ mm}$$

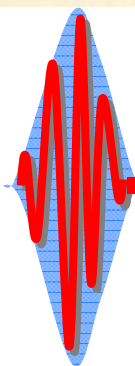
$\theta = 30'$ 时

$$\Delta l = 0.03 \text{ mm}$$

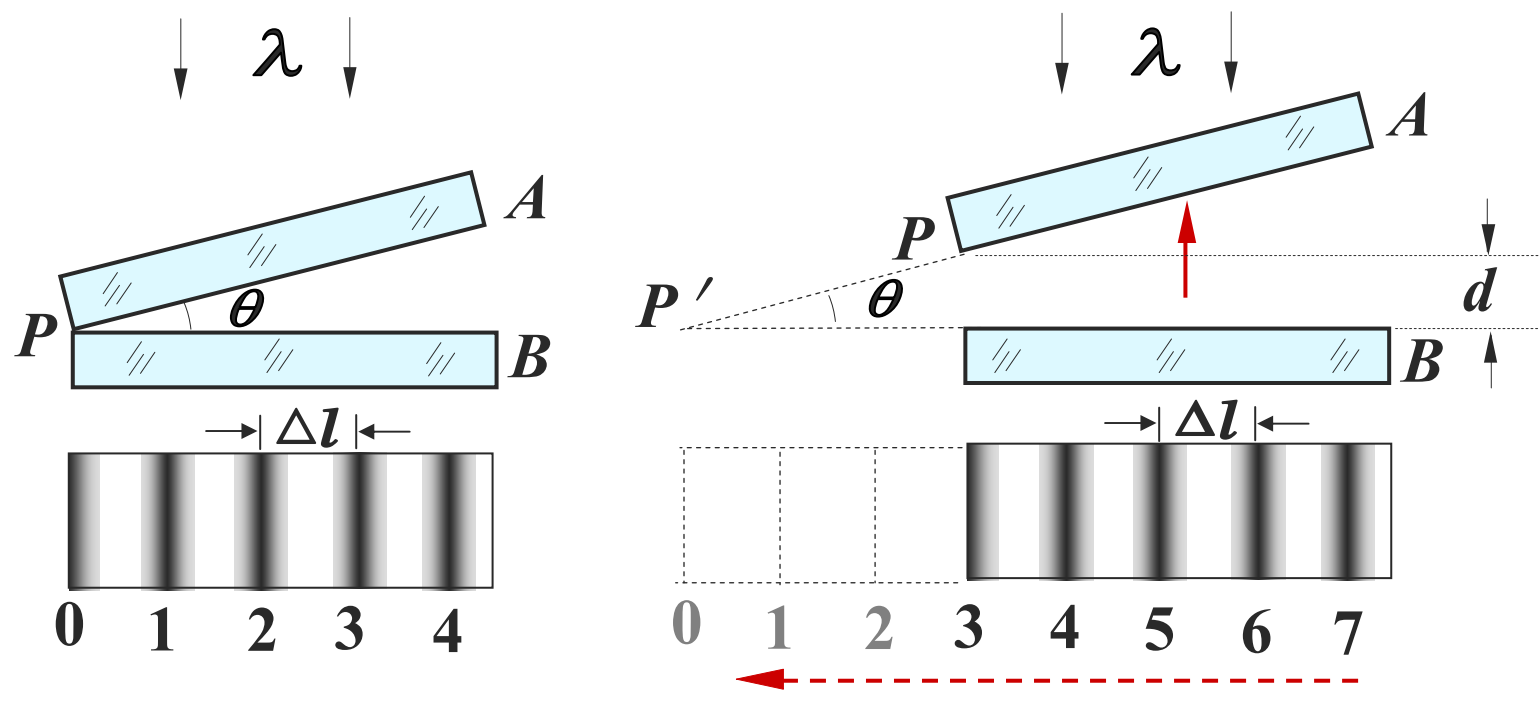
$\theta = 1^\circ$ 时

$$\Delta l = 0.016 \text{ mm}$$





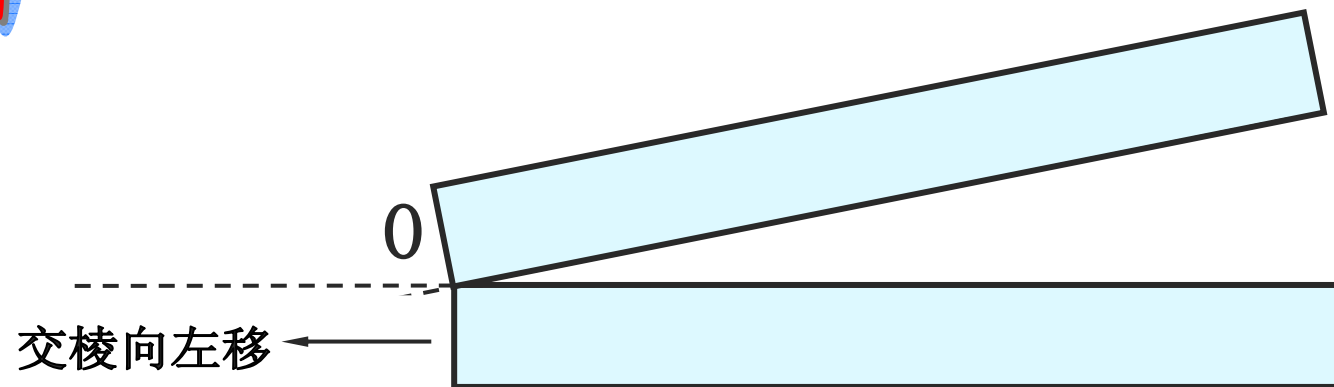
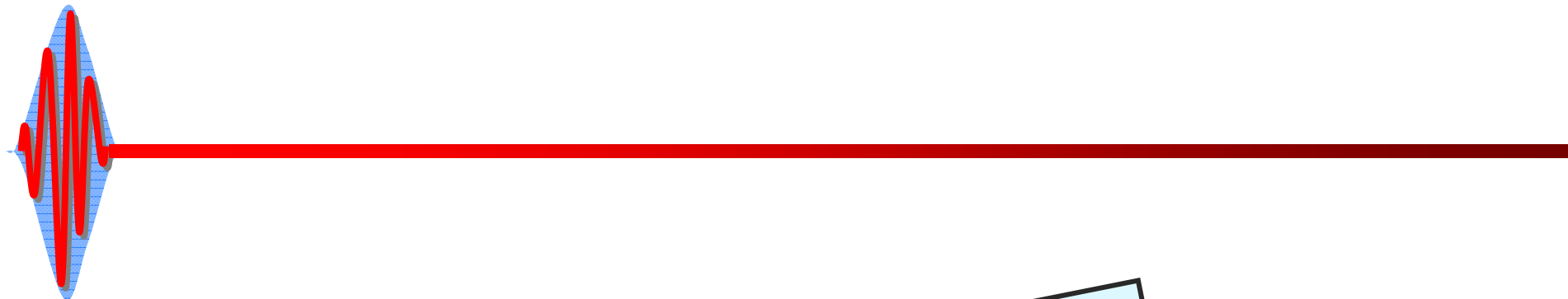
保持楔角 θ 不变而平移玻璃板，
则劈尖等厚干涉条纹发生整体平动。



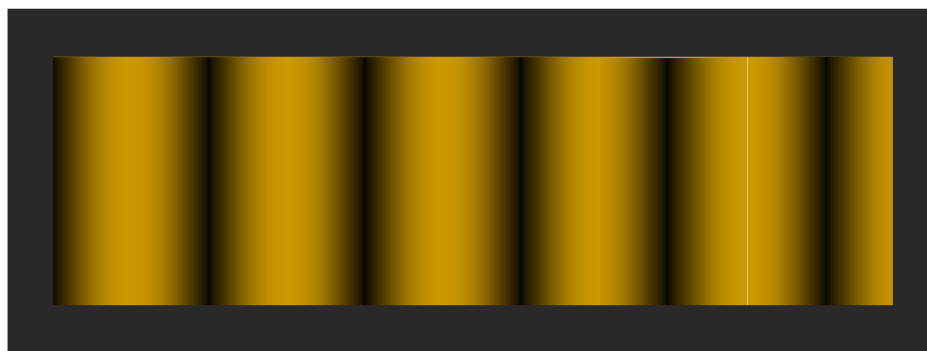
$$\Delta l = \frac{\lambda}{2 \sin \theta}$$

08:21

θ 保持不变则 Δl 保持不变。
干涉条纹整体向零级条纹变动的方向平动。
即条纹整体向棱边变动的方向平动。



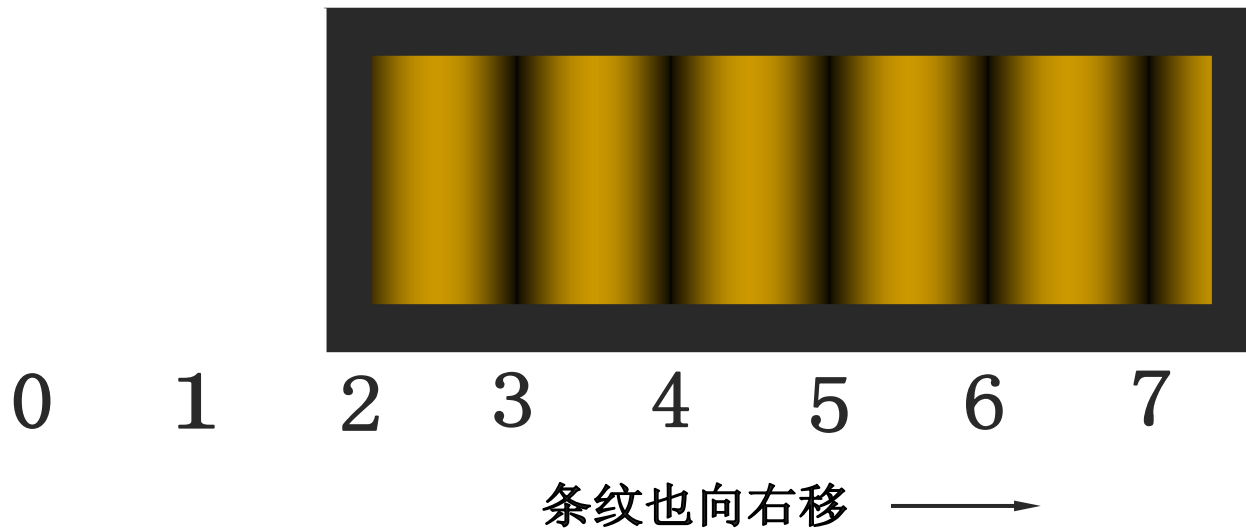
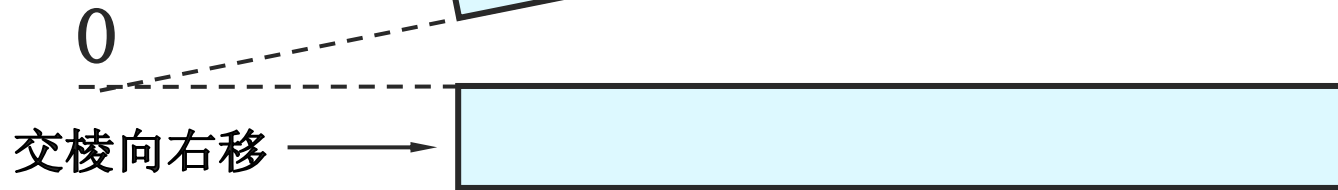
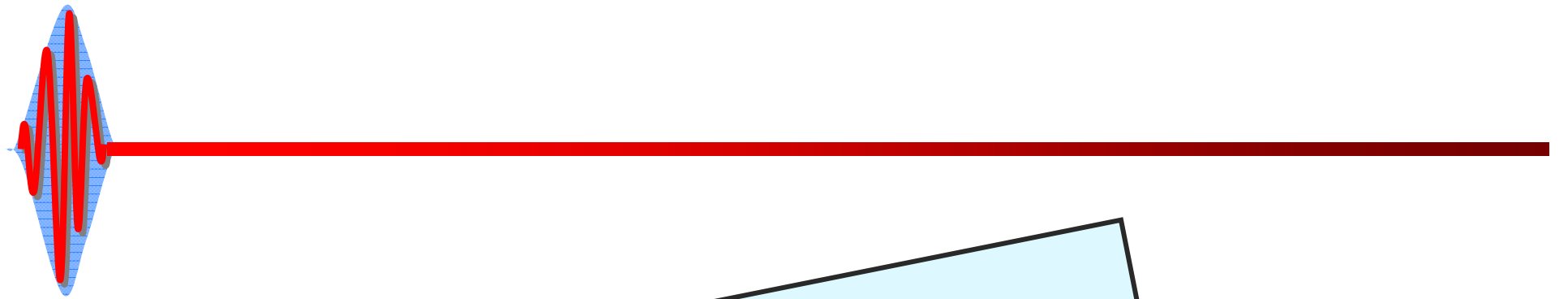
交棱向左移



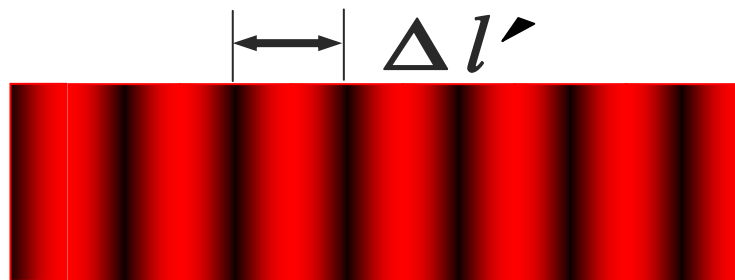
0 1 2 3 4 5

← 条纹也向左移

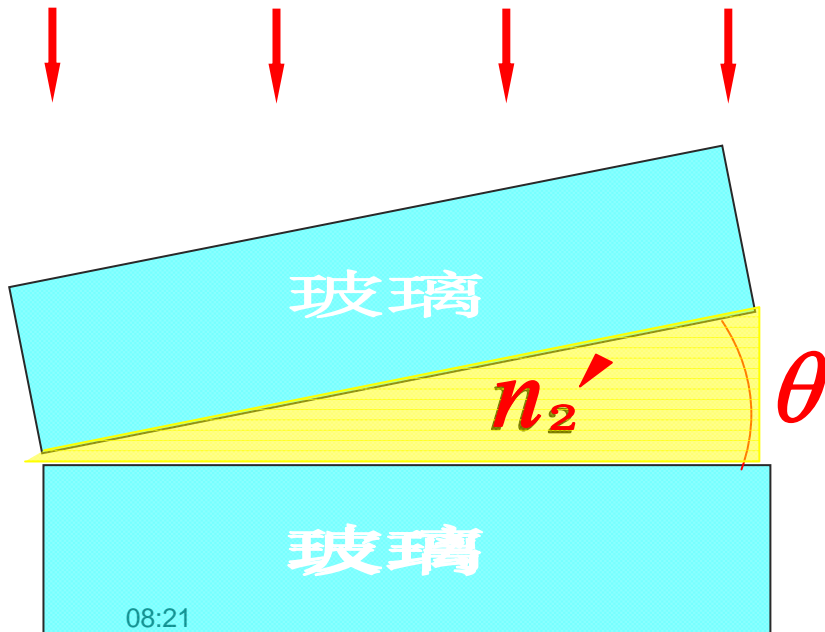




例 已知 $n_2=1$, $\Delta l=3.0\text{mm}$ 求 $\theta = ?$



$$\lambda = 633 \text{ nm}$$



充油 (n_2') 后测得 $\Delta l' = 2.1\text{mm}$ $n_2' = ?$

解法提要

$$\Delta e = \Delta l \sin \theta = \frac{\lambda}{2n_2}$$

$$\theta = \sin \theta = \frac{\lambda}{2\Delta l} = 1.055 \times 10^{-4} \text{ rad}$$

$$n_2' = \Delta l / \Delta l' = 1.43$$

例

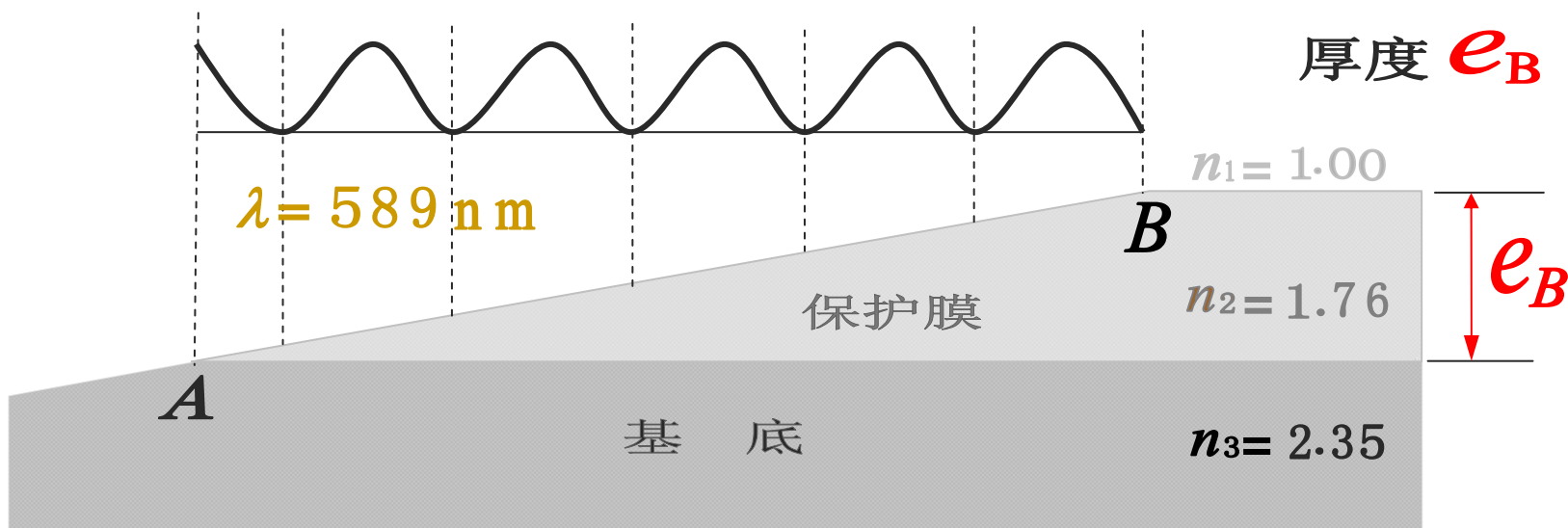
已知 观测到的反射干涉条纹光强分布如下



求

膜层 B 处的

厚度 e_B



解法提要

因 $n_1 < n_2 < n_3$, $\delta' = 0$, 且 A 点处膜厚 $e_A = 0$

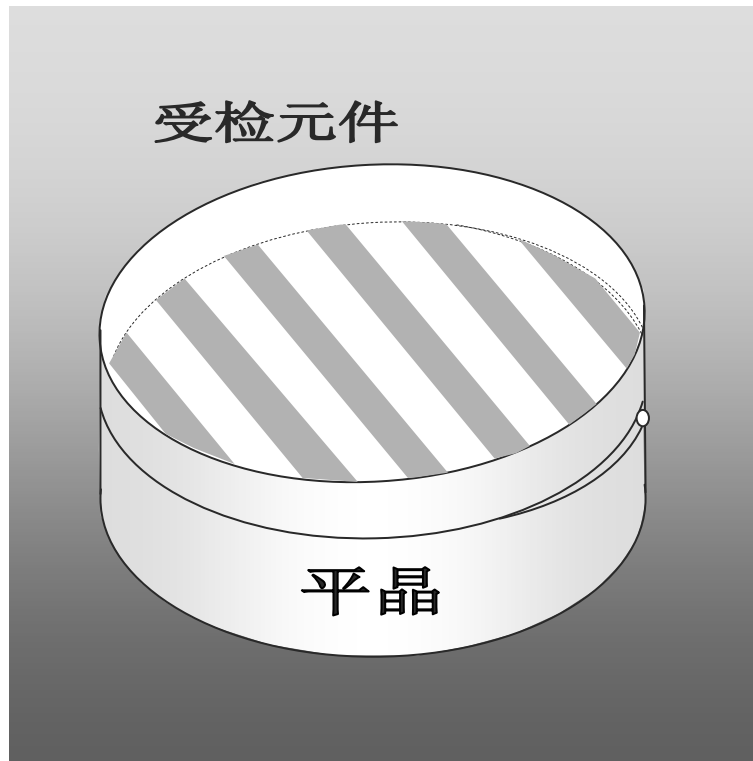
用明纹解, $\delta = \delta_0 + \delta' = 2en_2 + 0 = k\lambda$

$k=0$ 是左边第一条明纹中心处的劈尖厚度 $e_A = 0$

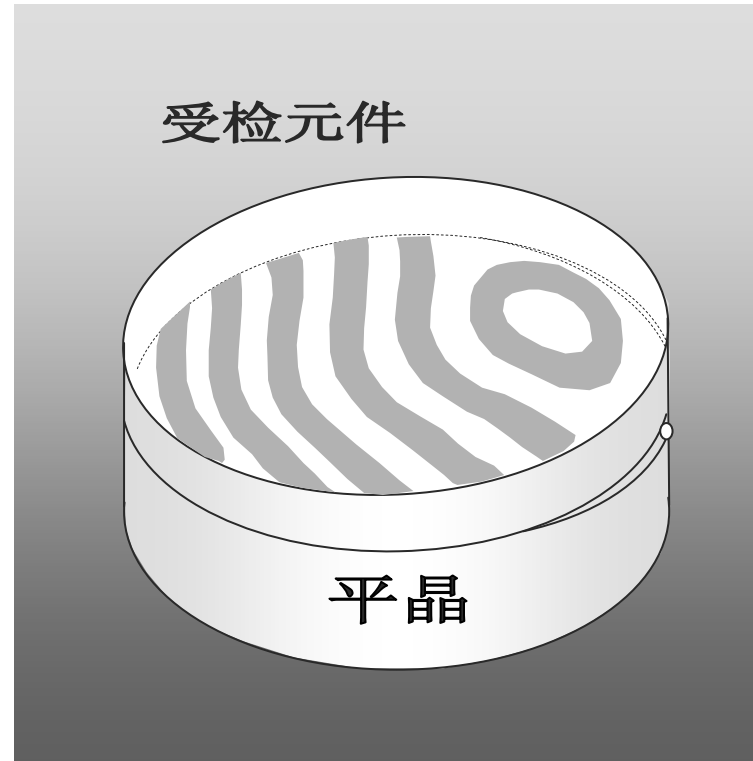
$$e = \frac{k\lambda}{2n_2} \quad k=5\frac{1}{2} \text{ 得 } e_B = \frac{5.5\lambda}{2n_2} = 920 \text{ nm}$$

08:21

应用劈尖等厚干涉原理检验光学元件的平面加工质量



受检平面质量合格



受检平面质量不合格

牛顿环

反射等厚干涉条纹分布规律

某级条纹半径 r 对应透镜曲面 A 点
对应点膜厚 e ，透镜凸面曲率半径 R

$$R^2 = (R - e)^2 + r^2$$
$$= R^2 - 2eR + e^2 + r^2 \quad | \quad R \gg e$$

$$e = \frac{r^2}{2R} \quad \textcircled{1}$$

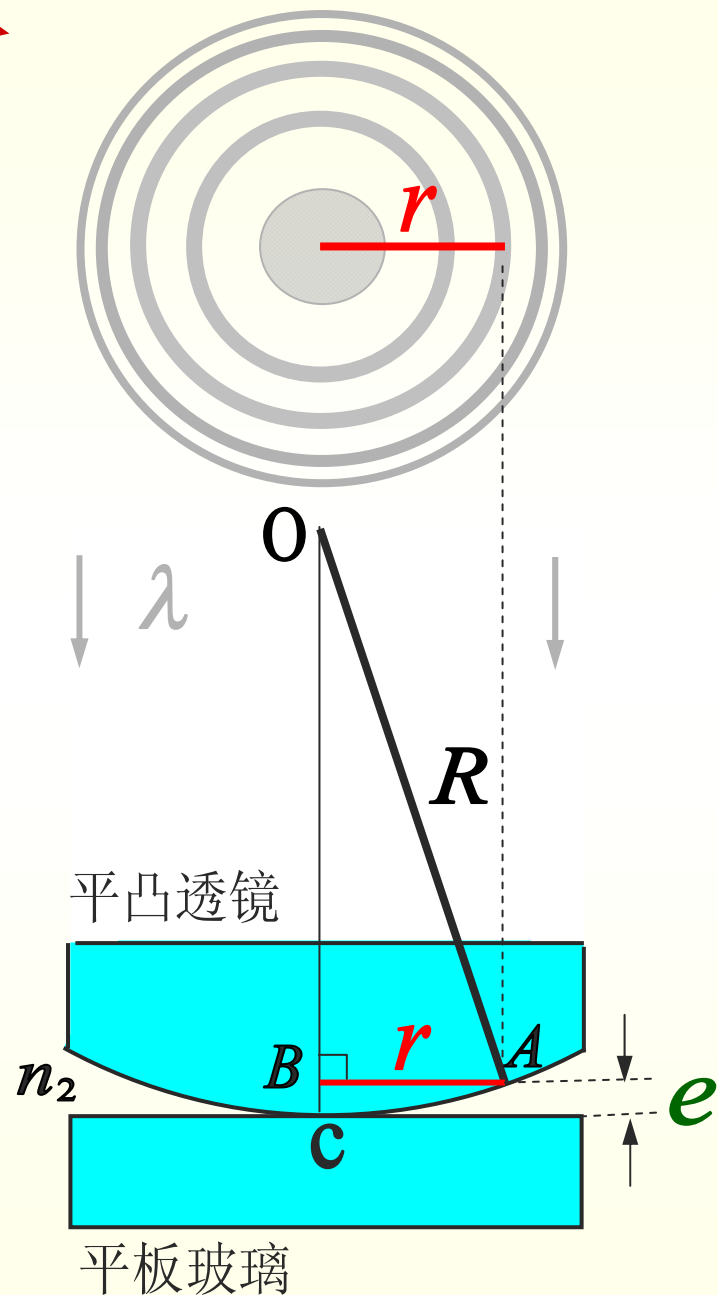
$$\delta = \delta_0 + \delta' = 2en_2 + \frac{\lambda}{2} \quad \textcircled{2}$$

$$\text{暗纹 } \delta = (2m + 1) \frac{\lambda}{2} \quad \textcircled{3}$$

联立解得

$$r_{\text{暗}} = \sqrt{\frac{m R \lambda}{n_2}} \propto \sqrt{m} \quad \text{空气膜 } n_2 = 1$$

($m = 0, 1, 2, \dots$)



例

在牛顿环实验中 已知

$$\lambda = 589 \text{ nm}$$

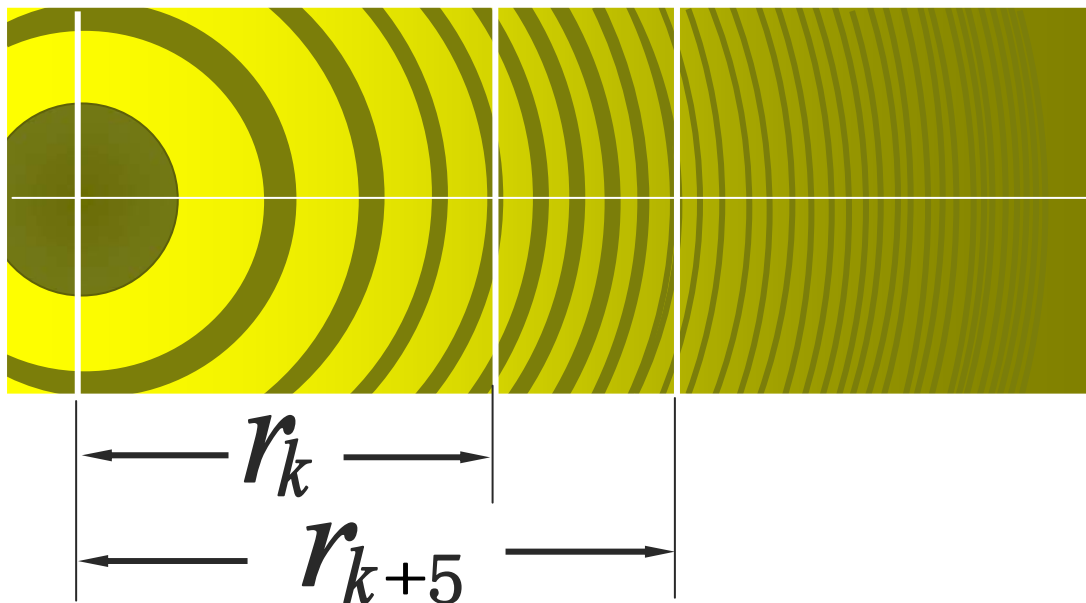
暗环

$$r_k = 4.00 \text{ mm}$$

$$r_{k+5} = 6.00 \text{ mm}$$

求

$$R = ? \quad k = ?$$



解法提要

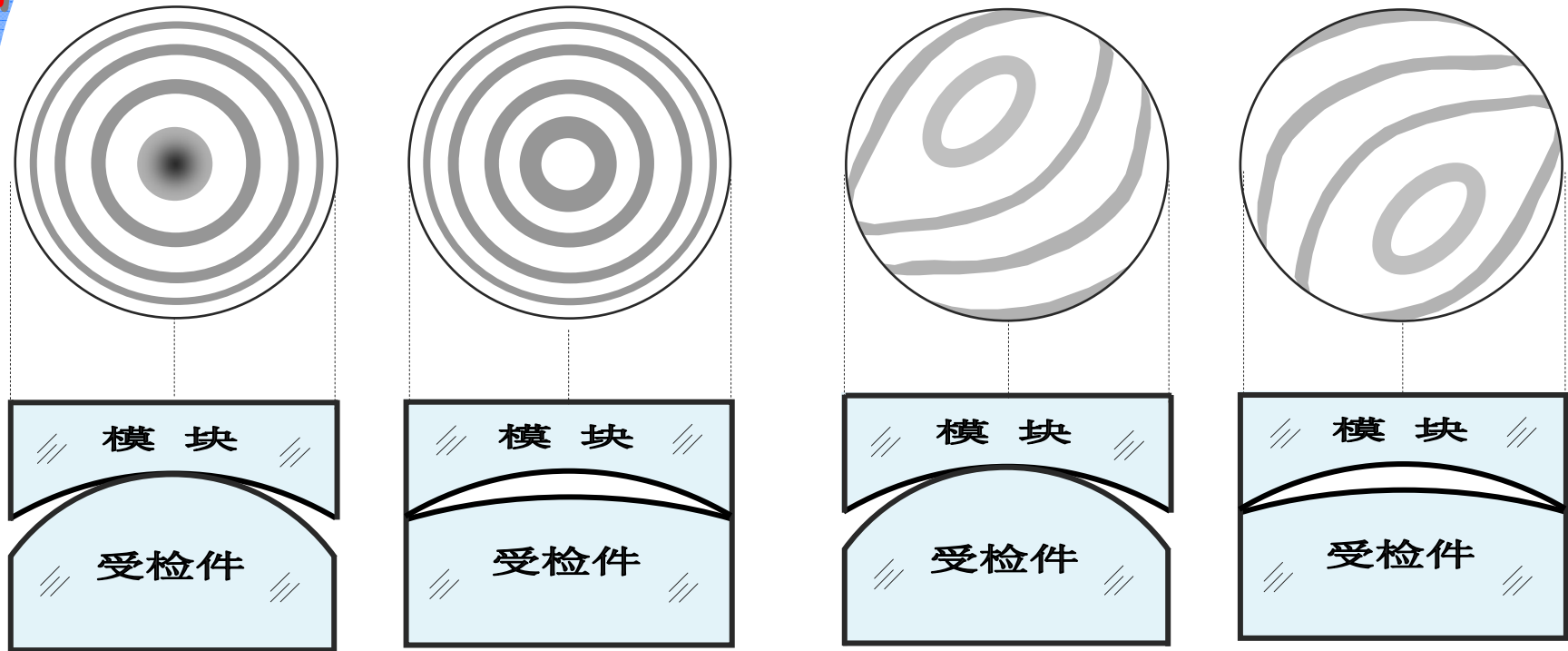
联立解得

$$R = 6.79 \text{ m}$$

$$k = 4$$

$$\left. \begin{aligned} r_k &= \sqrt{k R \lambda} \\ r_{k+5} &= \sqrt{(k+5) R \lambda} \end{aligned} \right\}$$

应用牛顿环等厚干涉原理检验光学元件的球加工质量

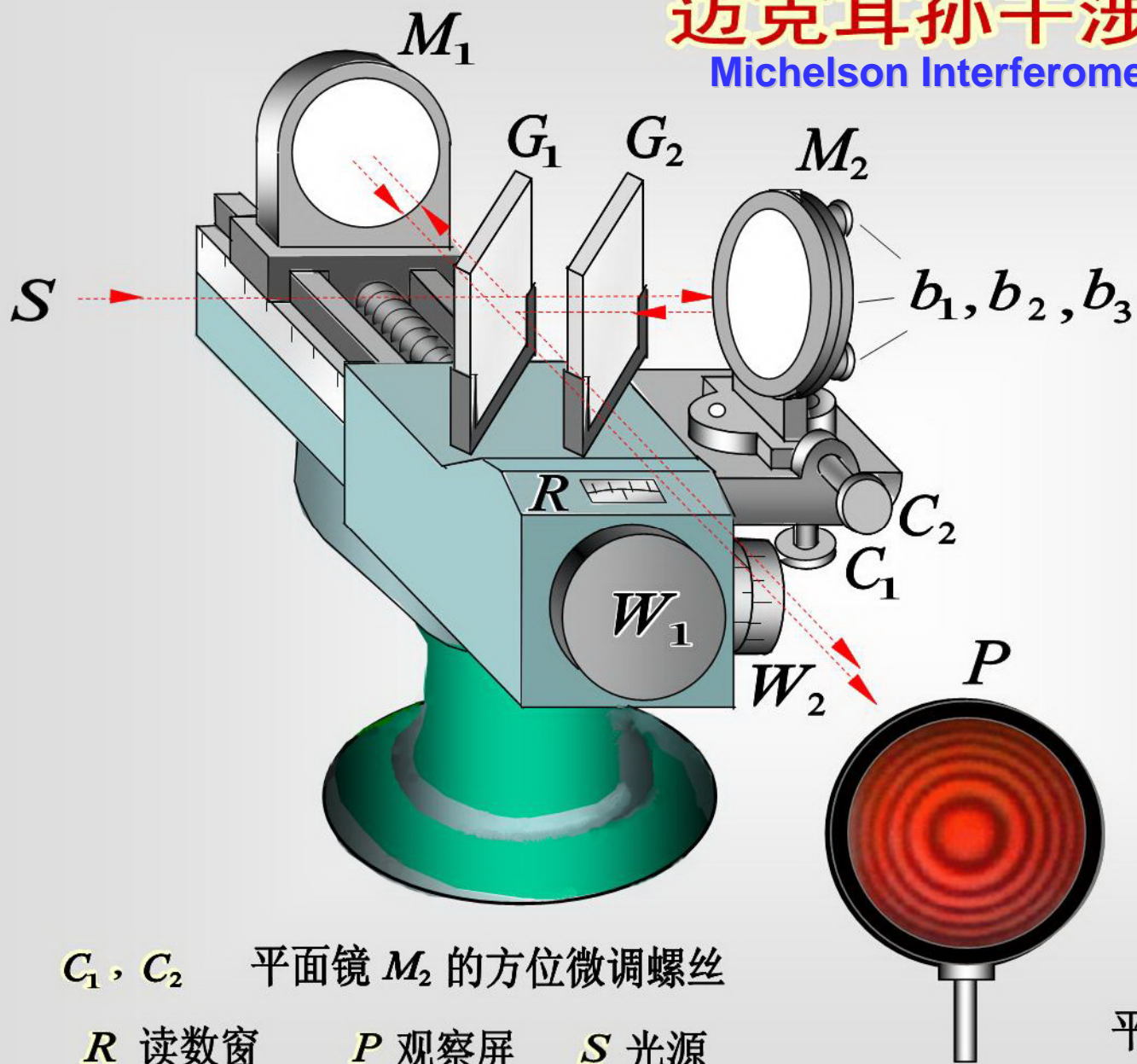


受检面是球面，
但与标准曲率半径
有一定误差

受检面不是球面

迈克耳孙干涉仪

Michelson Interferometer



M_1, M_2
平面反射镜

G_1 分束板
 G_2 补偿板

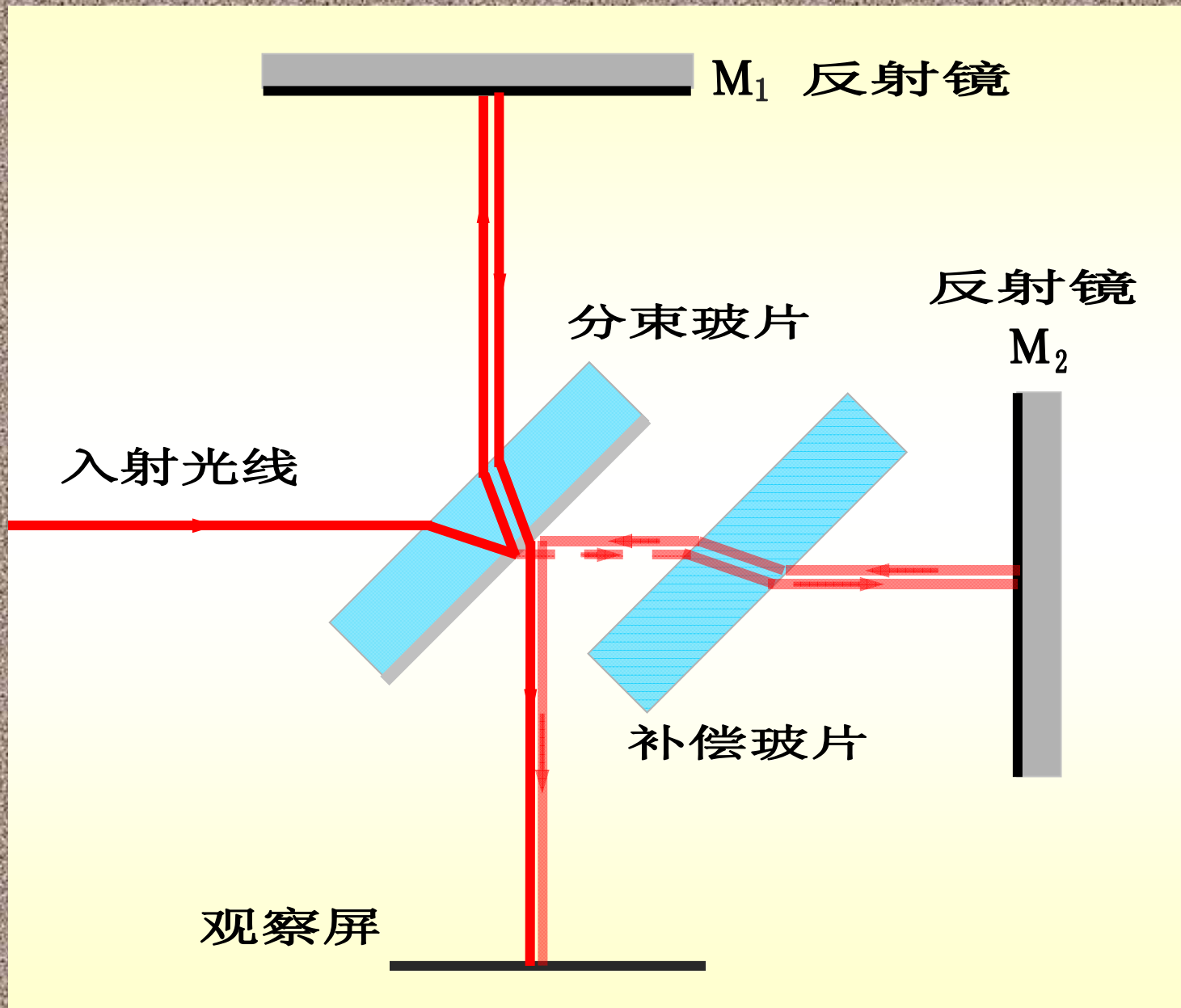
W_1, W_2
平面镜 M_1
的平移微动手轮

b_1, b_2, b_3
平面镜 M_2 的方位调节螺丝

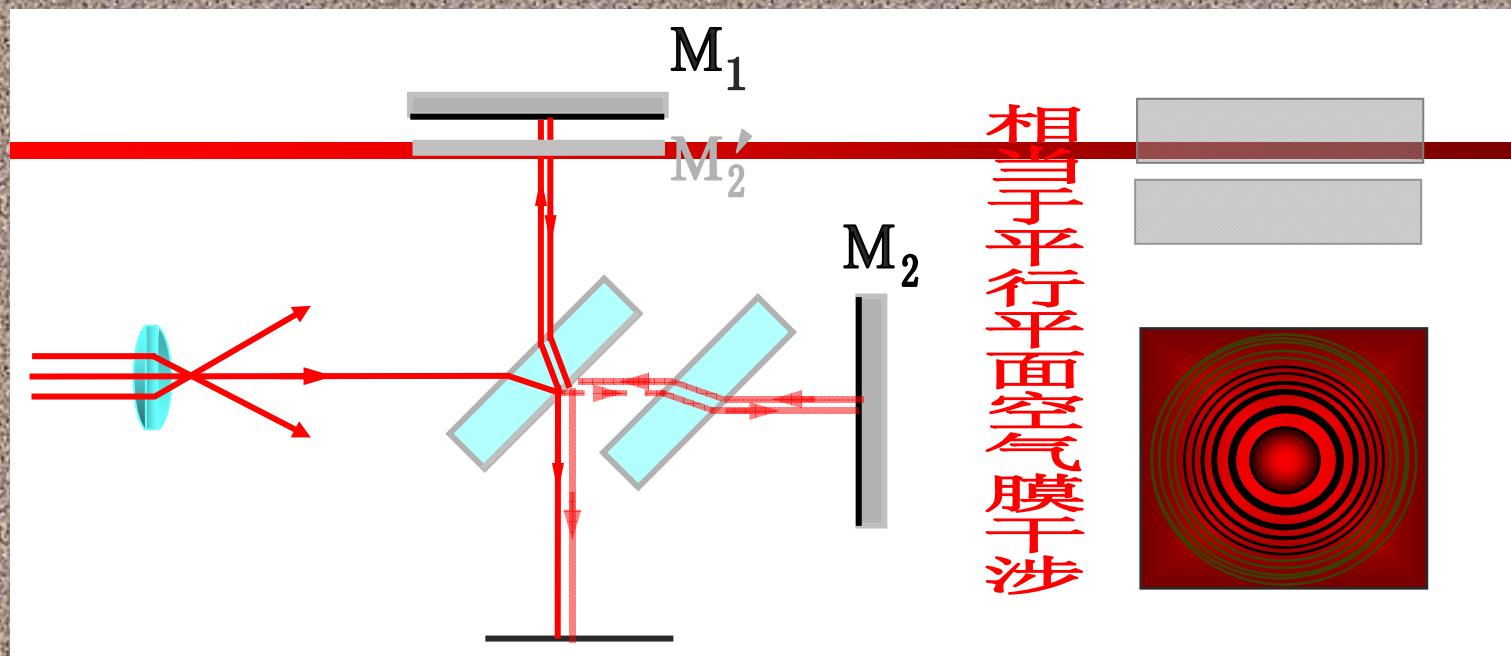
C_1, C_2 平面镜 M_2 的方位微调螺丝

R 读数窗 P 观察屏 S 光源

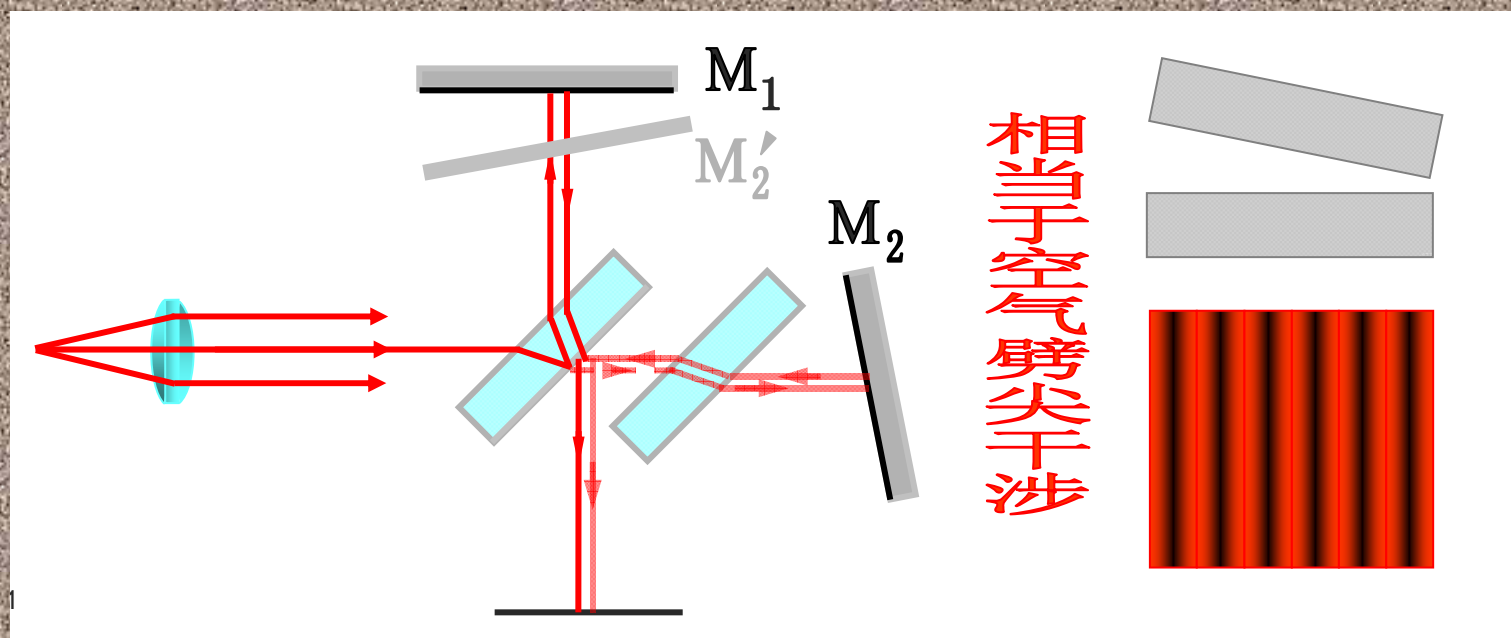
迈克耳孙干涉仪



等倾干涉光路



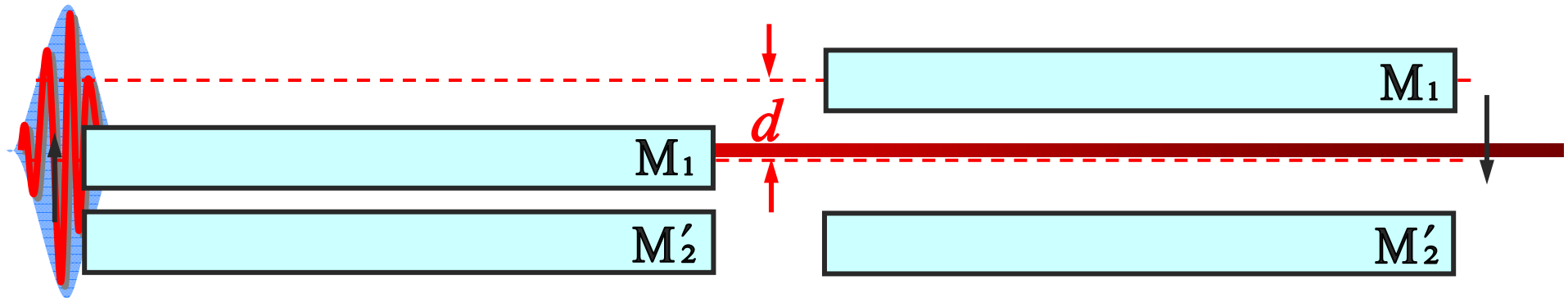
等厚干涉光路



改变两路光的程差

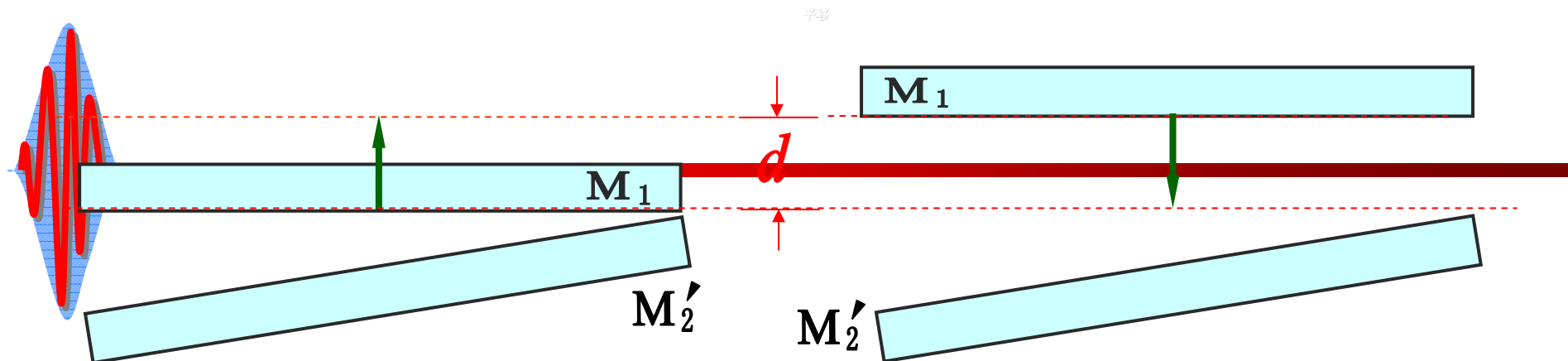
观测动态条纹



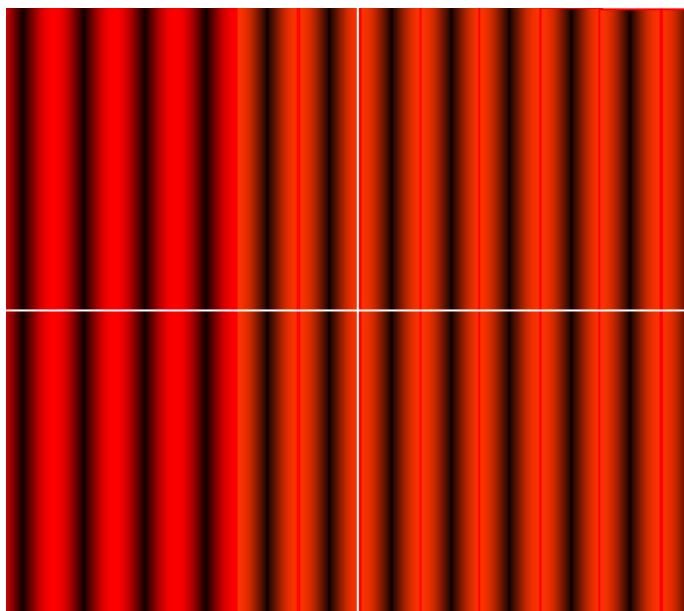


M_1 平移 d , 吐出 或 吞进 N 个干涉条纹

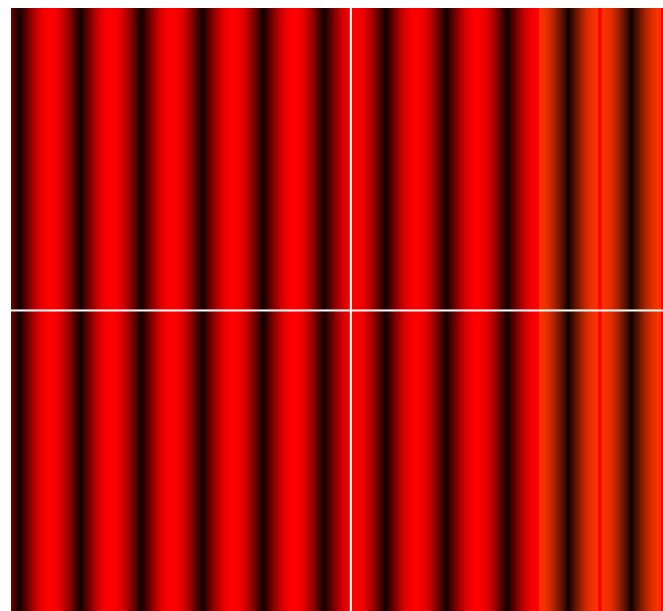
总光程差 (往返) $2d = N\lambda$ 即 $d = N\lambda/2$



M_1 平移 d , 向右(或左) 移了 N 个条纹, 则 $d = N \lambda / 2$



00.21



例 用迈克耳孙干涉仪观察等厚干涉时, 若入射光波长

$\lambda = 488 \text{ nm}$, 移动反射镜 M_1 使干涉条纹移动了 2000 条,

求 M_1 所移动的距离 d .

解法提要

由公式 $d = N \frac{\lambda}{2}$

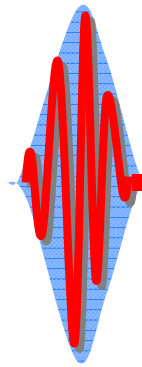
得 M_1 所移动的距离

$$d = N \frac{\lambda}{2} = \left(2000 \times \frac{488}{2} \right) \text{ nm}$$

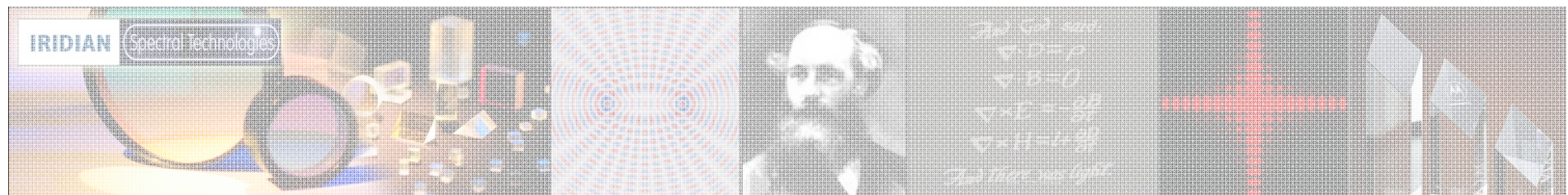
$$= 488 \times 10^3 \text{ nm} = 488 \times 10^{-6} \text{ m}$$

$$= 0.488 \text{ mm}$$

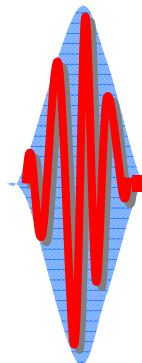
3-3



视频展示: Two-beam interference — collimated beams



3-3



视频展示: Two-beam interference — diverging beams

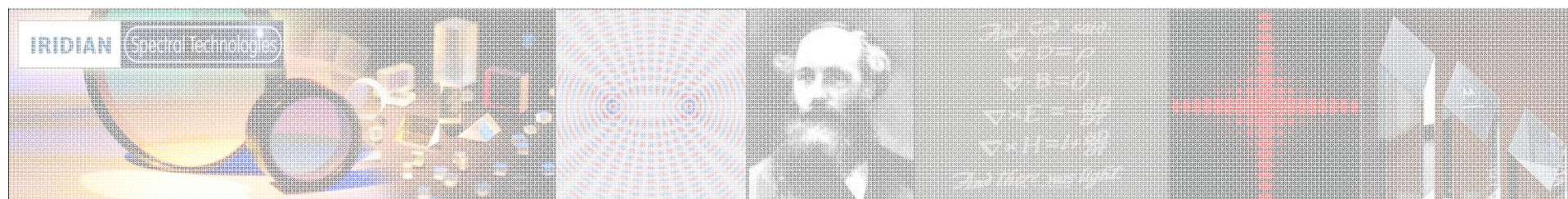


作业: 3.20、3.21



3-4 分振幅多光束干涉 (4.1, 4.2, 4.3)

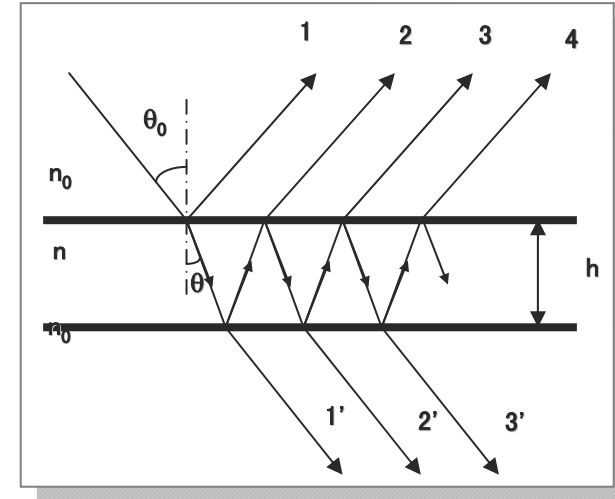
- 平行平板多光束干涉;
- 法布里-珀罗干涉仪;
- 多光束干涉的应用 (光学薄膜) .



3-4

平行平板多光束干涉 (multiple-beam interference)

- 由于界面的**多次反射**，要准确分析干涉现象，就必须考虑多光束因素。
- **薄膜**、波导、集成光学、光子晶体是多光束干涉的重要应用方向。



为什么前面没有考虑多光束干涉？

设单位强度光正入射 ($\theta_0=0$)

➤ **界面R=0.04**

光束	1	2	3	4
强度	0.04	0.0368	5.9e-5	9.4e-8

光束	1'	2'	3'
强度	0.9216	0.0014	2.3e-6

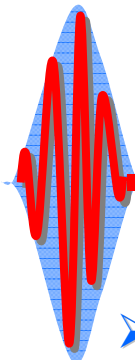
➤ **界面R=0.9**

光束	1	2	3	4
强度	0.9	0.009	0.0073	0.0059

光束	1'	2'	3'
强度	0.01	0.0081	0.0066

- 当反射率很低时，只考虑前两束光是合理的；
- 但是，当反射率很高时，不能仅考虑前两束光。

3-4

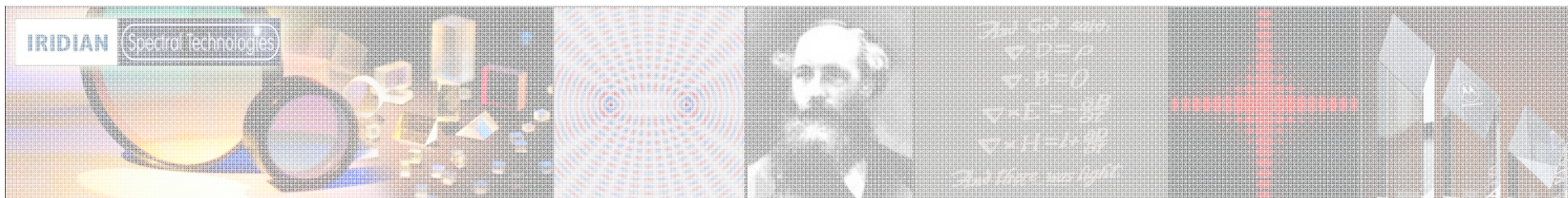
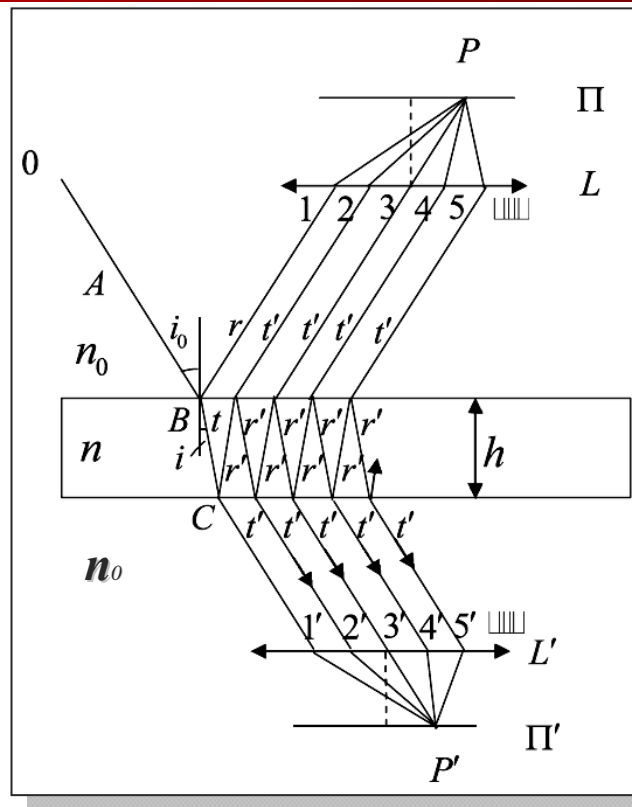


干涉场强度公式

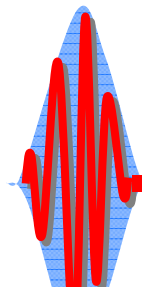
- ▶ 相邻两束光的光程差（只考虑平板厚度因素）
 $\Delta = 2nh\cos\theta$ ，相应的位相差
 $\delta = 2\pi\Delta/\lambda = 4\pi nh\cos\theta/\lambda$
- ▶ 设 nh 为光学厚度， λ 为真空中波长， r 、 t 为光束从周围介质到平板内的反、透射系数， r' 、 t' 为光束从平板内到周围介质的反、透射系数，入射光束的复振幅为 $A^{(i)}$

各反射光束的振幅和光场为：

$\tilde{E}_1^{(r)} = rA^{(i)}$	$E_1^{(r)} = \tilde{E}_1^{(r)} \exp[i(\delta_0 - \omega t)]$
$\tilde{E}_2^{(r)} = tt'r'A^{(i)}$	$E_2^{(r)} = \tilde{E}_2^{(r)} \exp[i(\delta_0 + \delta - \omega t)]$
$\tilde{E}_3^{(r)} = tt'r'^3 A^{(i)}$	$E_3^{(r)} = \tilde{E}_3^{(r)} \exp[i(\delta_0 + 2\delta - \omega t)]$
$\tilde{E}_4^{(r)} = tt'r'^5 A^{(i)}$	$E_4^{(r)} = \tilde{E}_4^{(r)} \exp[i(\delta_0 + 3\delta - \omega t)]$



3-4



合复振幅为:

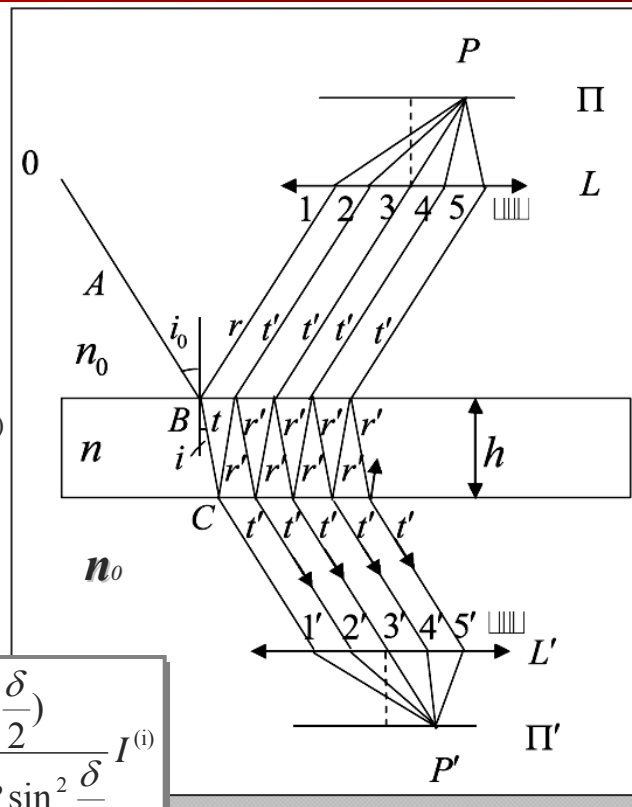
$$\begin{aligned}
 A^{(r)} &= [r + tt'r' \exp(i\delta) + tt'r'^3 \exp(i2\delta) + tt'r'^5 \exp(i3\delta) + \dots] A^{(i)} \\
 &= \{r + tt'r' \exp(i\delta) [1 + r'^2 \exp(i\delta) + r'^4 \exp(i2\delta) + \dots]\} A^{(i)} \\
 &= \left[r + \frac{tt'r' \exp(i\delta)}{1 - r'^2 \exp(i\delta)} \right] A^{(i)}
 \end{aligned}$$

因为: $r = -r', tt' = 1 - r^2$

$$A^{(r)} = - \left[\frac{r'[1 - (r'^2 + tt') \exp(i\delta)]}{1 - r'^2 \exp(i\delta)} \right] A^{(i)}$$

又因为: $r^2 = r'^2 = R, tt' = 1 - R = T$

$$A^{(r)} = \frac{[1 - \exp(i\delta)] \sqrt{R}}{1 - R \exp(i\delta)} A^{(i)}$$

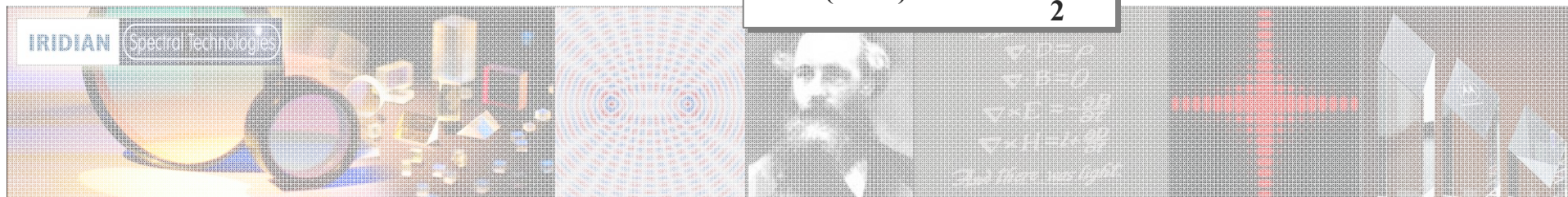


由此可得P点光强:

$$I^{(r)} = A^{(r)} \cdot A^{(r)*} = \frac{(2 - 2 \cos \delta) R}{1 + R^2 - 2R \cos \delta} I^{(i)} = \frac{(4R \sin^2 \frac{\delta}{2})}{(1 - R)^2 + 4R \sin^2 \frac{\delta}{2}} I^{(i)}$$

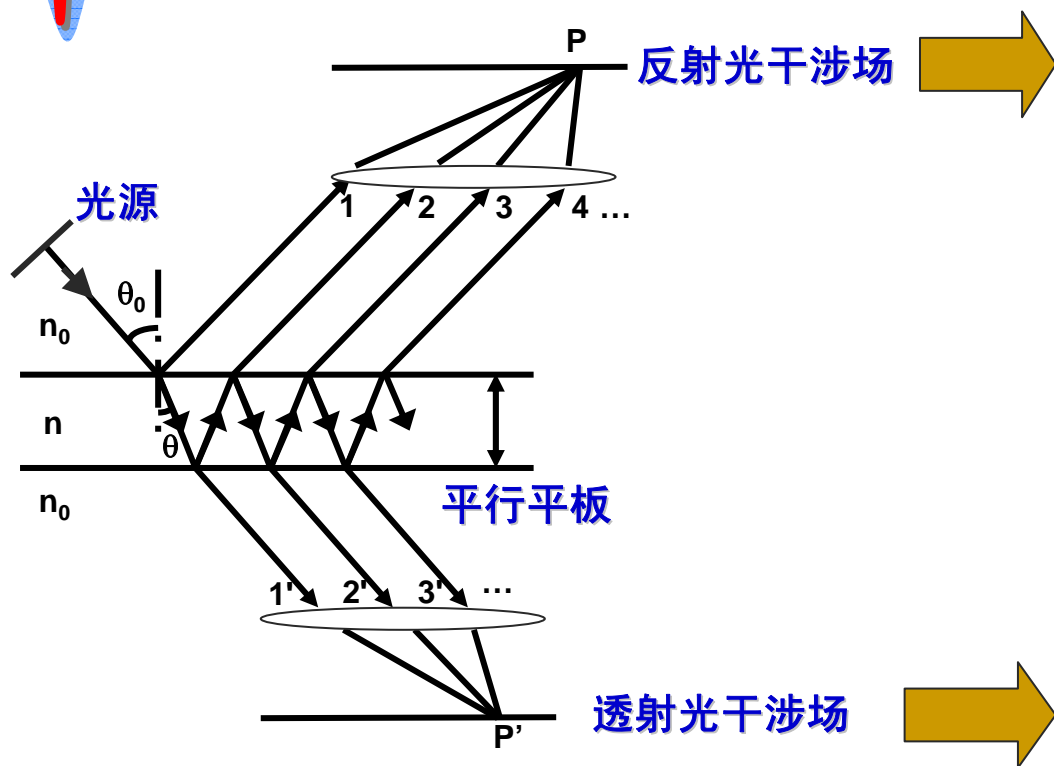
同样的方法, 可得透射光在P'的光强度:

$$I^{(t)} = \frac{(1 - R)^2}{(1 - R)^2 + 4R \sin^2 \frac{\delta}{2}} I^{(i)}$$



3-4

多光束干涉的特点



● P点的光强 (反射光)

$$I^{(r)} = \frac{(4R \sin^2 \frac{\delta}{2})}{(1-R)^2 + 4R \sin^2 \frac{\delta}{2}} I^{(i)}$$

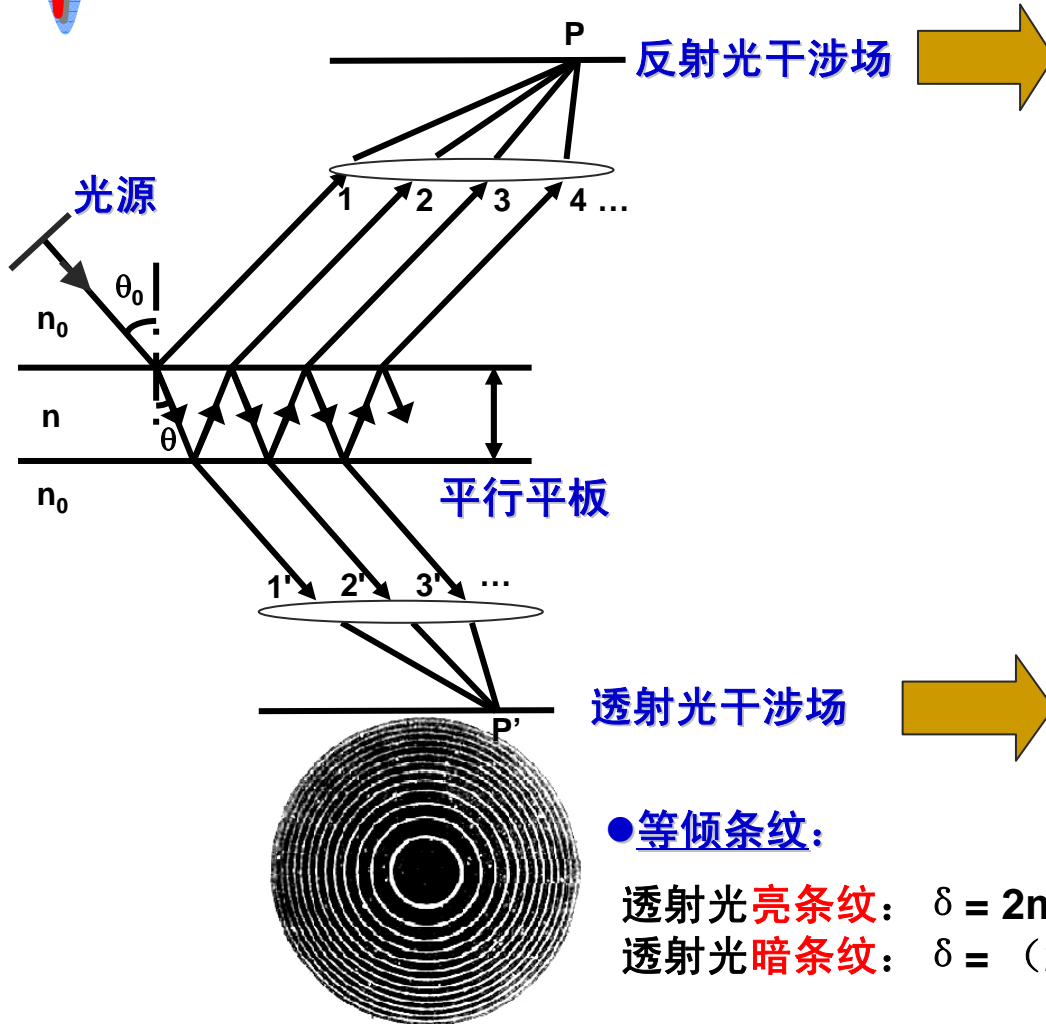
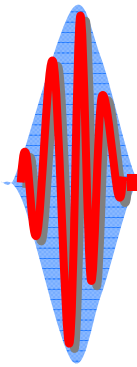
R: 反射率

δ : 相位差 $= \frac{4\pi}{\lambda} nh \cos \theta$

● P'的光强 (透射光)

$$I^{(t)} = \frac{(1-R)^2}{(1-R)^2 + 4R \sin^2 \frac{\delta}{2}} I^{(i)}$$

3-4

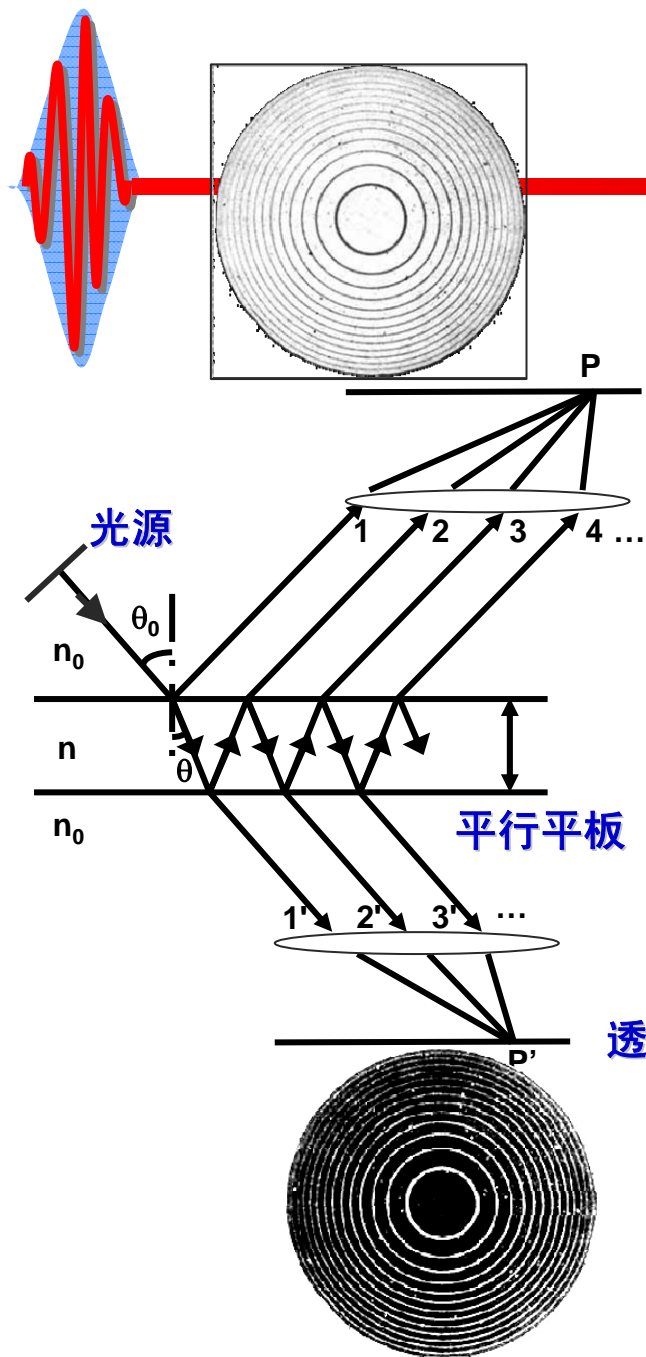


$$I^{(r)} = \frac{(4R \sin^2 \frac{\delta}{2})}{(1-R)^2 + 4R \sin^2 \frac{\delta}{2}} I^{(i)}$$

$$\delta : \text{相位差} = \frac{4\pi}{\lambda} nh \cos \theta$$

$$I^{(t)} = \frac{(1-R)^2}{(1-R)^2 + 4R \sin^2 \frac{\delta}{2}} I^{(i)}$$

3-4



反射光干涉场

$$I^{(r)} = \frac{(4R \sin^2 \frac{\delta}{2})}{(1-R)^2 + 4R \sin^2 \frac{\delta}{2}} I^{(i)}$$

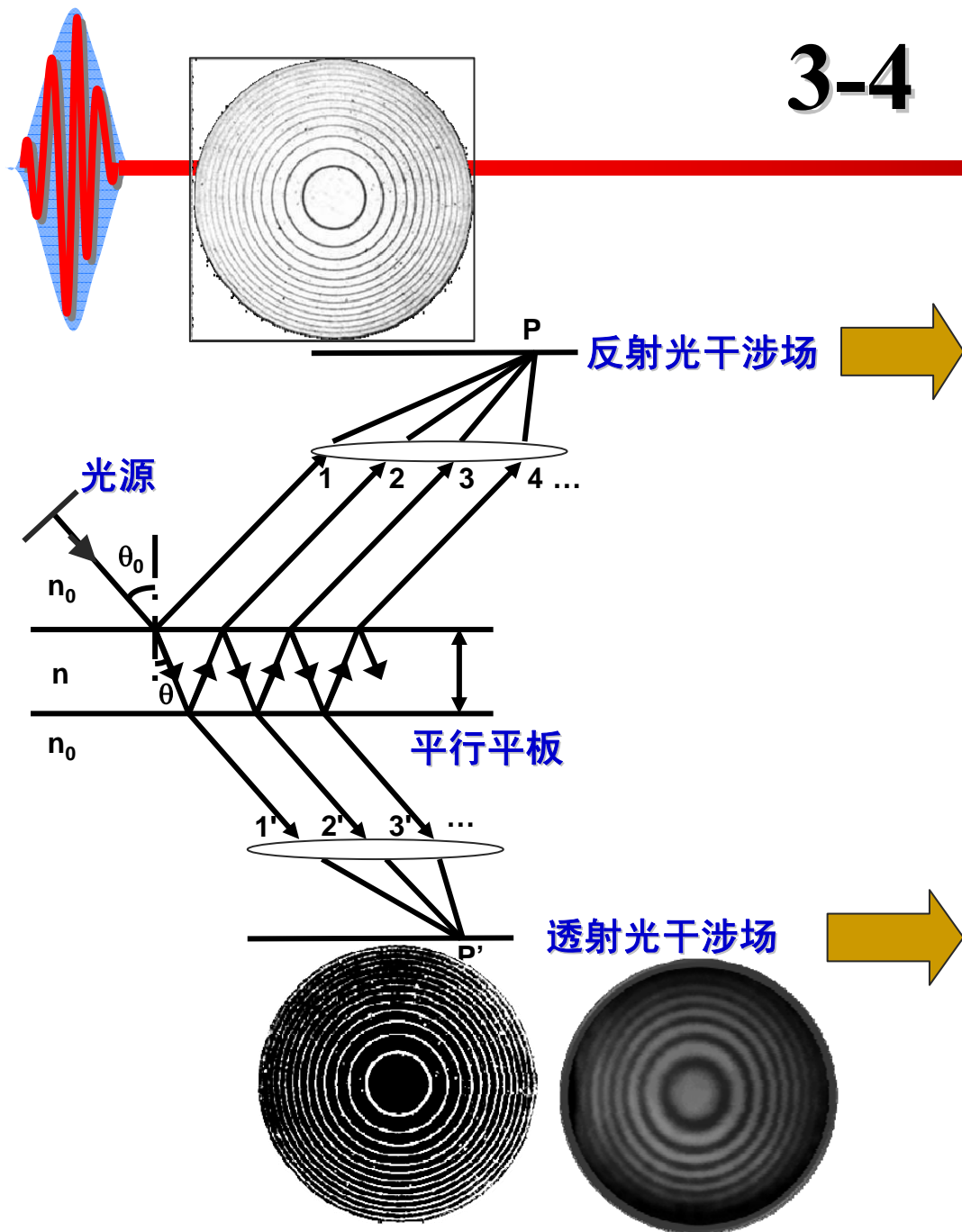
$$\frac{I^{(r)}}{I^{(i)}} + \frac{I^{(t)}}{I^{(i)}} = 1$$

● 反射、透射光干涉图样互补

透射光干涉场

$$I^{(t)} = \frac{(1-R)^2}{(1-R)^2 + 4R \sin^2 \frac{\delta}{2}} I^{(i)}$$

3-4



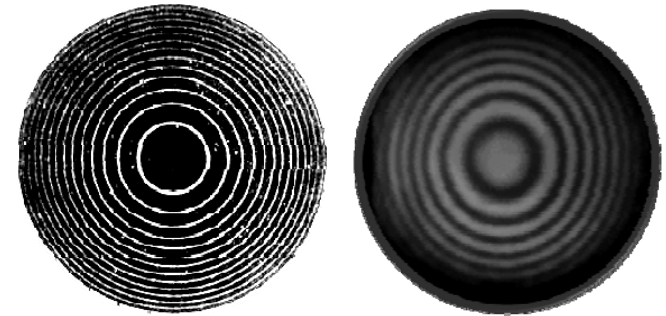
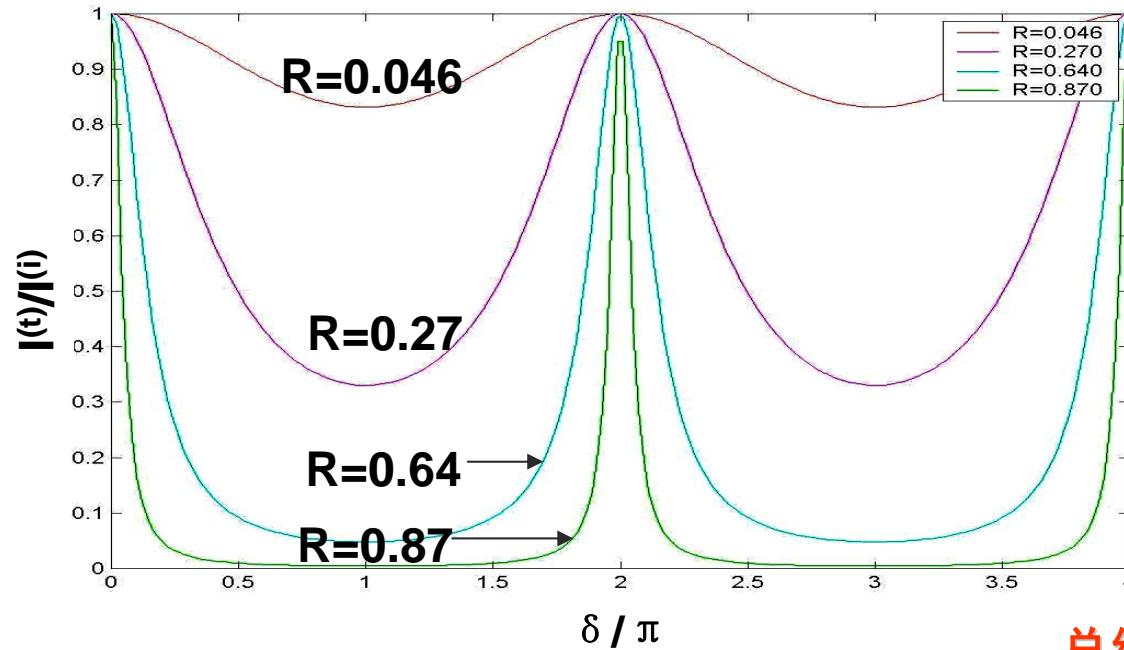
$$I^{(r)} = \frac{(4R \sin^2 \frac{\delta}{2})}{(1-R)^2 + 4R \sin^2 \frac{\delta}{2}} I^{(i)}$$

R: 反射率

$$I^{(t)} = \frac{(1-R)^2}{(1-R)^2 + 4R \sin^2 \frac{\delta}{2}} I^{(i)}$$

3-4

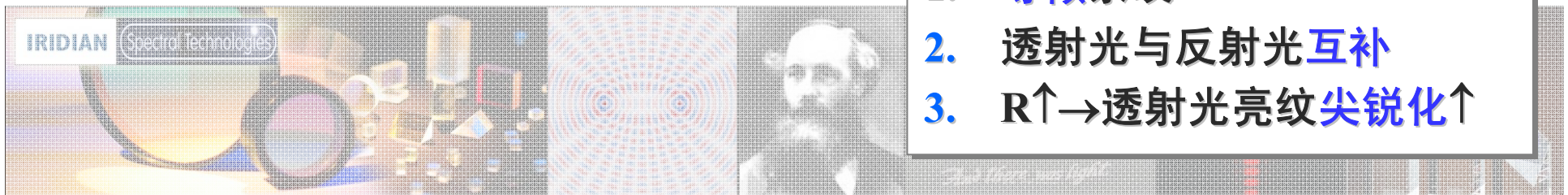
不同反射率下，透射光条纹的强度分布曲线



● $R \uparrow \rightarrow$ 透射光亮纹尖锐化 \uparrow 。

总结，平板多光束干涉图样的特点：

1. 等倾条纹
2. 透射光与反射光互补
3. $R \uparrow \rightarrow$ 透射光亮纹尖锐化 \uparrow



3-4

干涉条纹锐度

引入参数**精细度系数**: $F = 4R/(1-R)^2$

定义:
锐度=条纹中强度等于峰值强度**一半**的两点间的**位相差距离** $\Delta\delta$

推导:
 将 $\delta=2m\pi\pm\Delta\delta/2$ 带入上述锐度定义, 得:
 $1/[1+F\sin^2(\Delta\delta/4)]=1/2$, 由 $\sin(\Delta\delta/4)\approx\Delta\delta/4$, 得:

条纹锐度 (fringe sharpness):

$$\Delta\delta=4/F^{1/2}=2(1-R)/R^{1/2}$$

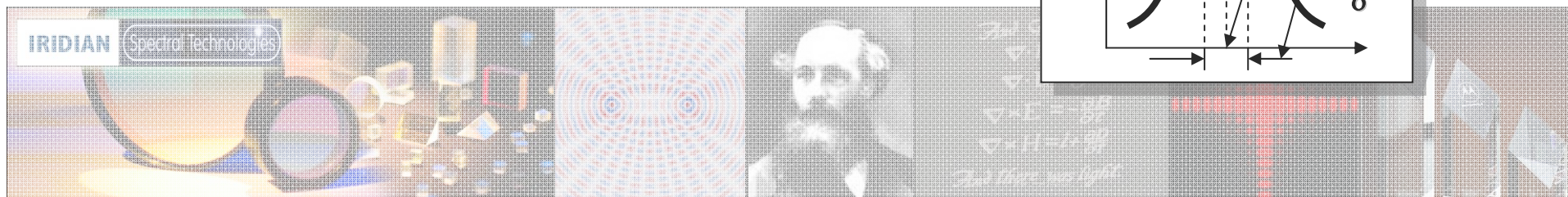
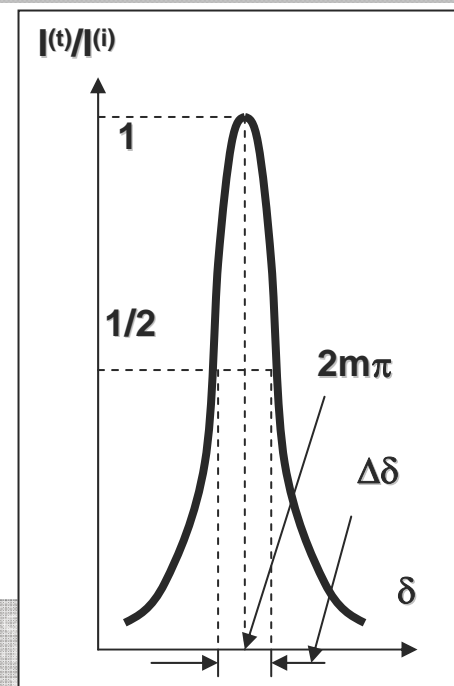
精细度 (finesse):

$$S=2\pi/\Delta\delta= \pi R^{1/2}/(1-R)$$

$$\frac{I^{(r)}}{I^{(i)}} = \frac{F \sin^2(\delta/2)}{1 + F \sin^2(\delta/2)} \quad (4-10)$$

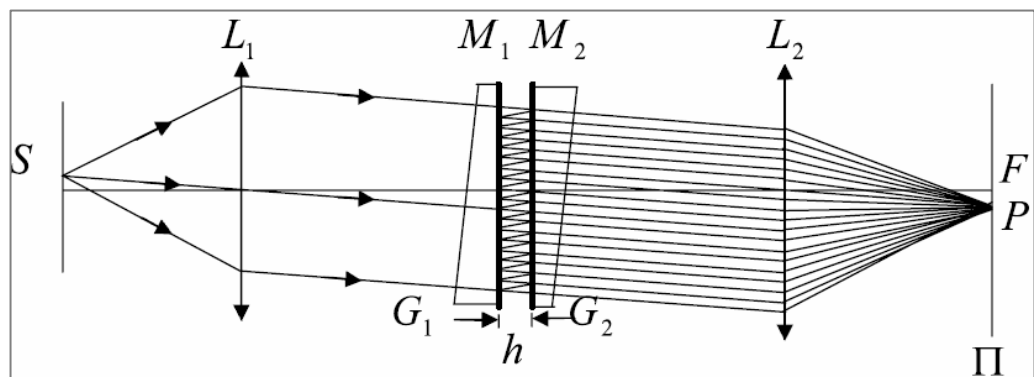
$$\frac{I^{(t)}}{I^{(i)}} = \frac{1}{1 + F \sin^2(\delta/2)} \quad (4-11)$$

$$\frac{I^{(r)}}{I^{(i)}} + \frac{I^{(t)}}{I^{(i)}} = 1 \quad (4-12)$$



3-4

法布里-珀罗 (F-P) 干涉仪 (Fabry-Pérot interferometer)



一、仪器结构

工作表面： G_1, G_2 的两内表面 M_1, M_2 ， $M_1 // M_2$ ，其间空气膜为工作层。

扩展源 S ， M_1, M_2 镀膜 $R \rightarrow 1$ ， Π 上多光束干涉等倾圆环条纹。

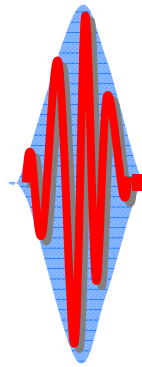
G_1, G_2 外表面与其内表面有一个小的倾角，这是为了使两外表面（非工作表面）的反射光与两内表面（工作表面）的反射光产生空间分离，便于排除干扰。

工作原理同前，设 M_1, M_2 镀膜层产生附加相移 ϕ ，则

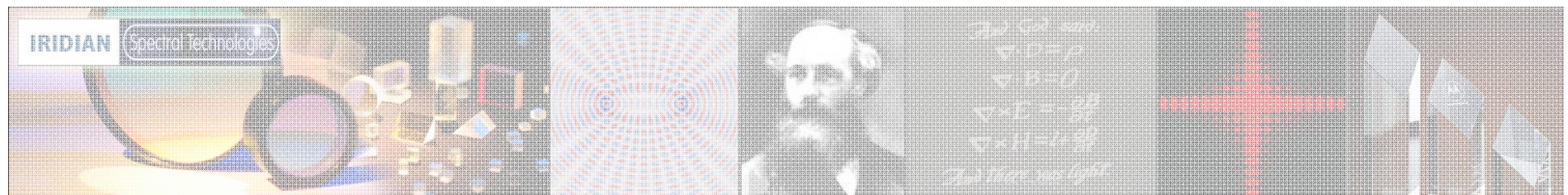
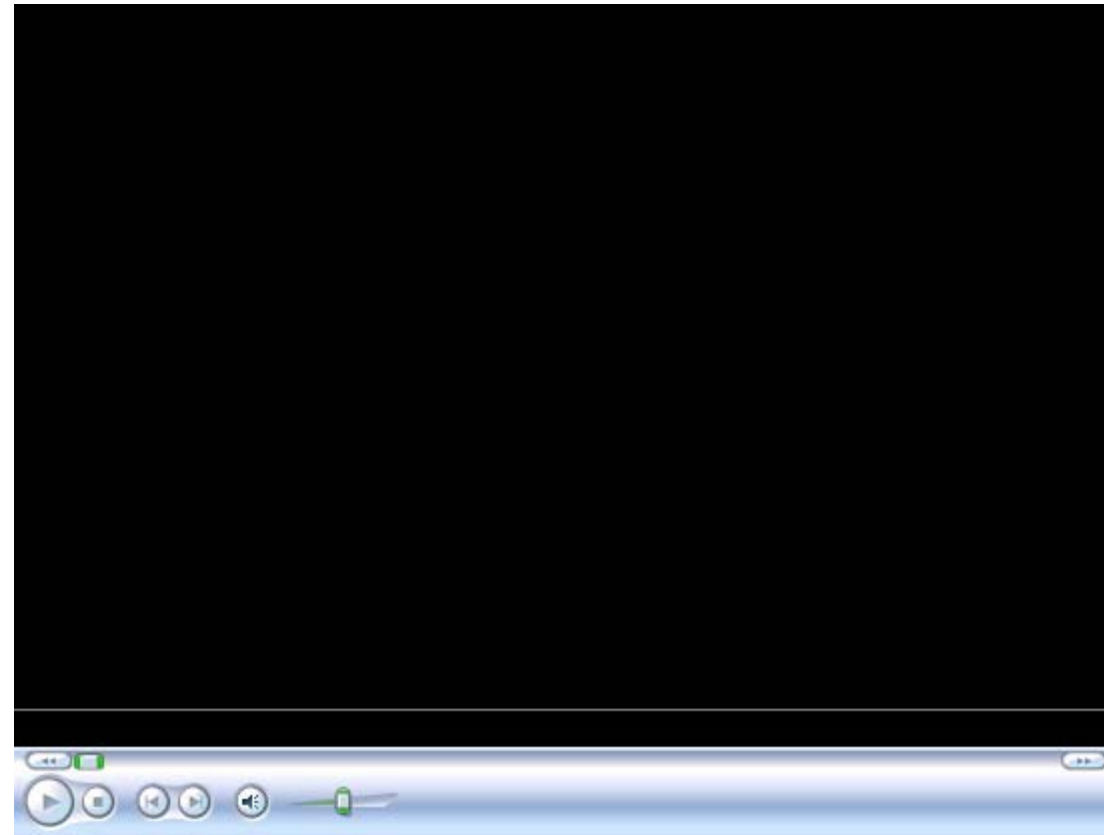
$$\delta = \frac{4\pi}{\lambda} nh \cos i + 2\phi \quad (\text{不考虑镀膜时, 各透射光线无附加程差, } \phi=0)$$

因 2ϕ 为常数，对讨论无实质性影响，以下不考虑。

3-4



视频展示: Plane mirror cavity — diverging beams



3-4

F-P干涉仪的应用：精细光谱分析

测量非常接近的两条光谱线的波长差 $\Delta\lambda$

推导：

利用等倾干涉条纹公式 $2nh \cos \theta_2 = m \lambda$

两边对 θ_2 、 m 求导（含义：不同级次间条纹角间距），得，

$$d\theta_2 = \frac{\lambda}{2h \sin \theta_2 n}$$

两边对 θ_2 、 λ 求导（含义：同级次不同波长间条纹角间距），得，

$$(d\theta_2)' = \frac{m \cdot d\lambda}{2h \sin \theta_2 n}$$

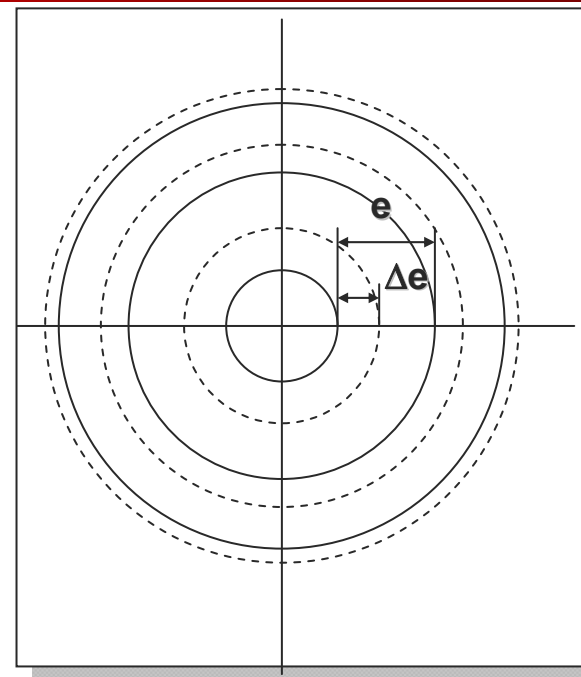
因为，

$$\frac{\Delta e}{e} = \frac{(d\theta_2)'}{d\theta_2} = \frac{2nh \Delta \lambda}{\lambda^2}$$

$$\Rightarrow \Delta \lambda = \frac{\Delta e \lambda^2}{2nhe}$$

自由光谱范围 $(\Delta\lambda)_{S.R}$ （能分辨的最大波长差）：

即： $e=\Delta e$ 时， $\Delta\lambda=(\Delta\lambda)_{S.R}=\lambda^2/(2h)$



3-4

分辨本领(resolving power / resolution)

FP干涉仪所能分辨的最小波长差 $(\Delta\lambda)_m$ ，显然与条纹锐度有关。

分辨本领： $A = \lambda / (\Delta\lambda)_m$

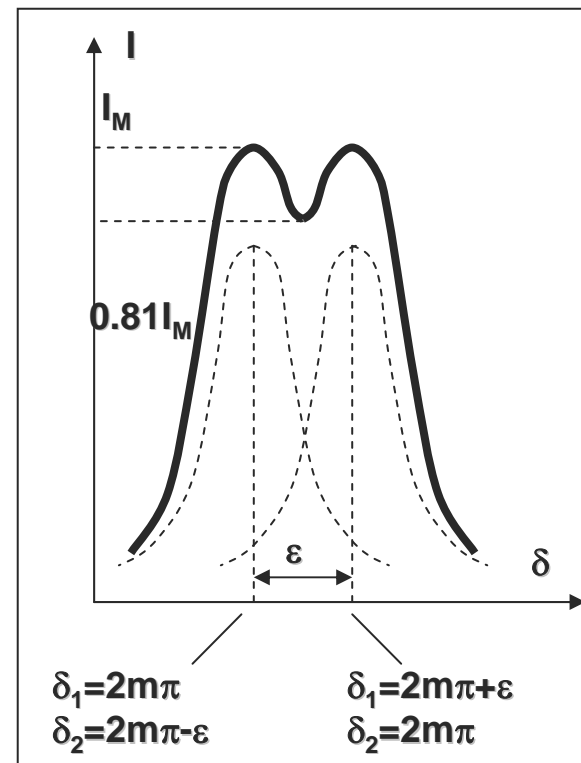
如何求出 $(\Delta\lambda)_m$ ？

◆瑞利判据—两个相邻的亮条纹只有在这样的条件下才能区分：它们的合强度曲线中心极小值低于两边极大值的81%

推导：
$$I = \frac{I^{(i)}}{1 + F \sin^2(\delta_1/2)} + \frac{I^{(i)}}{1 + F \sin^2(\delta_2/2)}$$

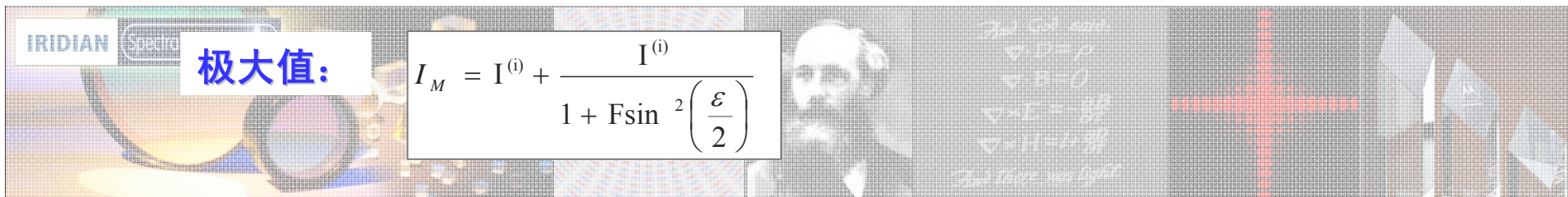
中央极小值：
$$I_m = \frac{I^{(i)}}{1 + F \sin^2\left(m\pi + \frac{\varepsilon}{4}\right)} + \frac{I^{(i)}}{1 + F \sin^2\left(m\pi - \frac{\varepsilon}{4}\right)}$$

$$= \frac{2 I^{(i)}}{1 + F \sin^2\left(\frac{\varepsilon}{4}\right)}$$

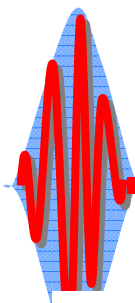


极大值：

$$I_M = I^{(i)} + \frac{I^{(i)}}{1 + F \sin^2\left(\frac{\varepsilon}{2}\right)}$$



3-4



分辨本领(resolving power / resolution)

推导: 根据瑞利判据, $I_m = 0.81I_M$
得:

$$\frac{2I^{(i)}}{1 + F\sin^2\left(\frac{\epsilon}{4}\right)} = 0.81 \left[I^{(i)} + \frac{I^{(i)}}{1 + F\sin^2\left(\frac{\epsilon}{2}\right)} \right]$$

解方程得:

$$\epsilon = 4.15 / \sqrt{F} = 2.07\pi / S$$

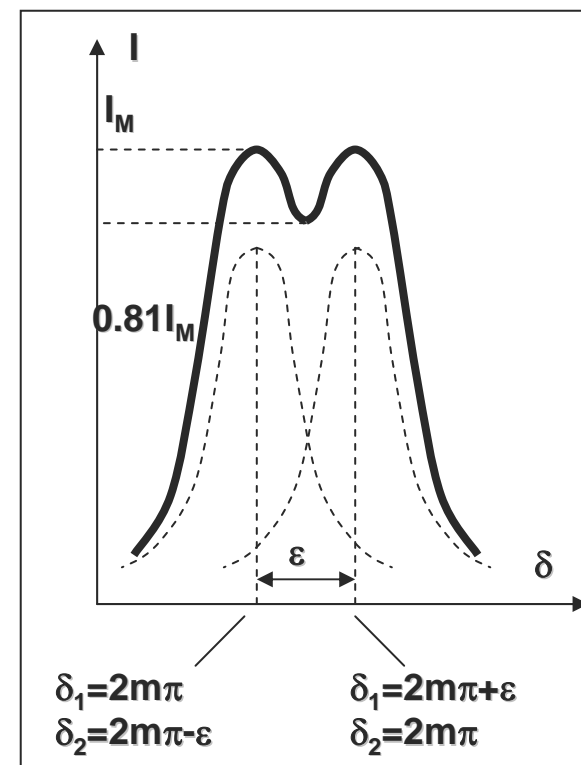
利用了式 4.22

其中 S 条纹精细度, F 精细度系数。

ϵ 如何得到 $\lambda/(\Delta\lambda)_m$?

$$\delta = \frac{4\pi}{\lambda} h \cos \theta \rightarrow$$

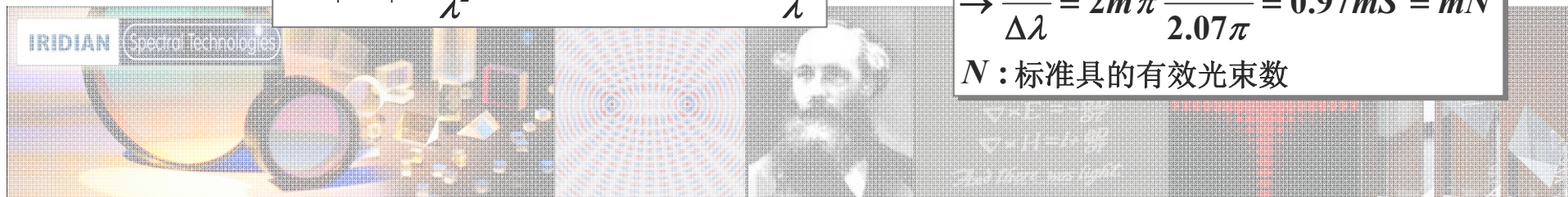
$$\epsilon = |\Delta\delta| = \frac{4\pi}{\lambda^2} h \cos \theta \cdot \Delta\lambda = 2m\pi \frac{\Delta\lambda}{\lambda}$$



分辨本领

$$\rightarrow \frac{\lambda}{\Delta\lambda} = 2m\pi \frac{S}{2.07\pi} = 0.97mS = mN$$

N : 标准具的有效光束数



3-4

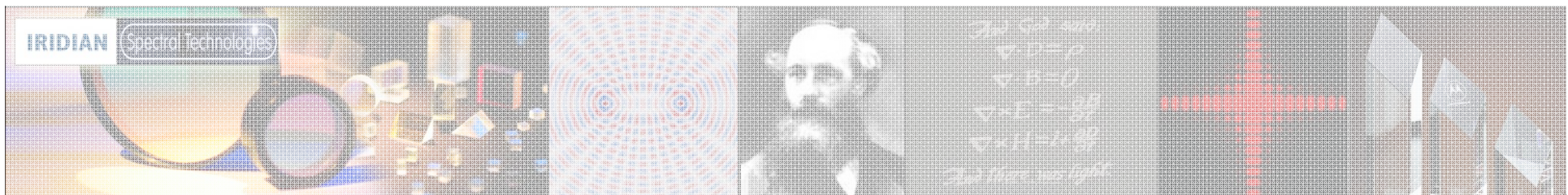
分辨本领(resolving power / resolution)

$$\rightarrow \frac{\lambda}{\Delta\lambda} = 2m\pi \frac{S}{2.07\pi} = 0.97mS = mN$$

N : 标准具的有效光束数

提高 A 的途径 $\left\{ \begin{array}{l} m \uparrow, \text{通过增大 } h \text{ 实现} \\ S \uparrow, \text{通过增大 } R \text{ 实现} \end{array} \right.$

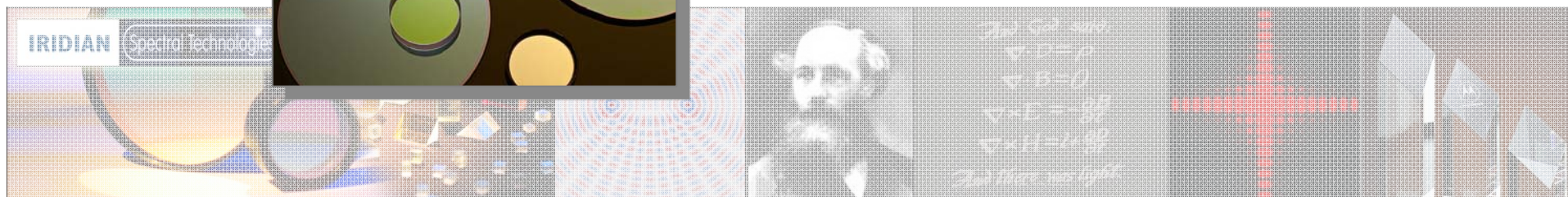
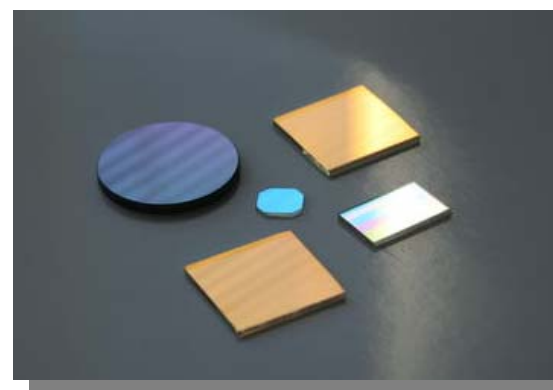
h : mm ~ m 可见光 m : $10^4 \sim 10^6$ R : 0.9 ~ 0.99 S : $10 \sim 10^2$ $A \sim 10^6$ 或更高



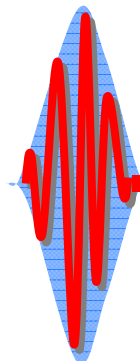
3-4

光学薄膜 (optical thin film)

- **薄膜**：在玻璃或金属等基片的光滑表面上，用物理、化学方法生成的**透明介质膜**。
- **薄膜的用途**：增强原基片的光学性能，如**增强透射率**、**增强反射率**、调整光束的**光谱分布**等

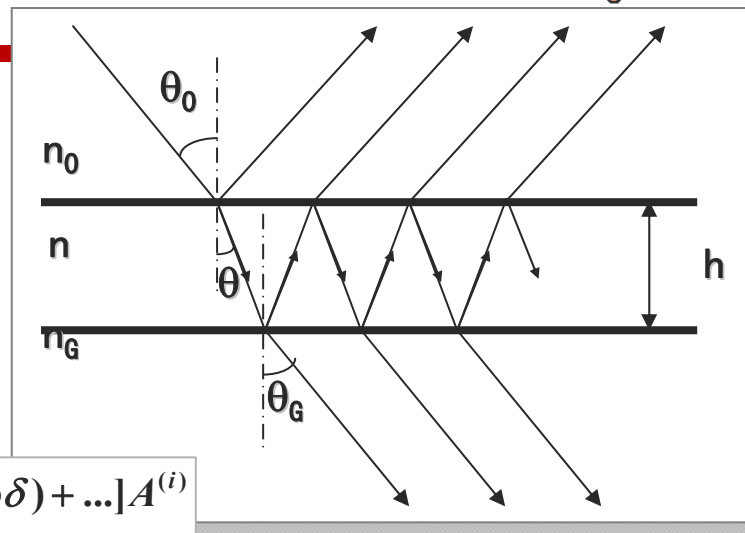


3-4



单层膜

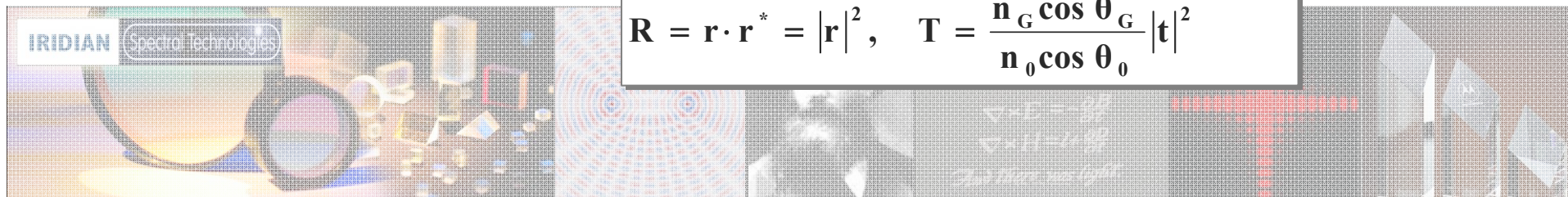
- ◆ 直接应用平行平板多光束干涉的结论
- ◆ 设光从 $n_0 \rightarrow n$ 的反射和透射系数为 r_1 和 t_1 ，从 $n \rightarrow n_0$ 的反射和透射系数为 r'_1 和 t'_1 ，从 $n \rightarrow n_G$ 为 r_2 和 t_2 ，有



$$\begin{aligned}
 A^{(r)} &= [r_1 + t_1 t'_1 r_2 \exp(i\delta) + t_1 t'_1 r_2^2 r'_1 \exp(i2\delta) + t_1 t'_1 r_2^3 r_1'^2 \exp(i3\delta) + \dots] A^{(i)} \\
 &= \{r_1 + t_1 t'_1 r_2 \exp(i\delta) [1 + r_2 r'_1 \exp(i\delta) + r_2^2 r_1'^2 \exp(i2\delta) + \dots]\} A^{(i)} \\
 &= \left[r_1 + \frac{t_1 t'_1 r_2 \exp(i\delta)}{1 - r'_1 r_2 \exp(i\delta)} \right] A^{(i)} \quad \text{又因为: } r = -r', \quad t t' = 1 - r^2 \\
 &= \left[\frac{r_1 + r_2 \exp(i\delta)}{1 + r_1 r_2 \exp(i\delta)} \right] A^{(i)} \quad \text{其中: } \delta = 4\pi n h \cos \theta / \lambda
 \end{aligned}$$

同理可得透射光复振幅

$$\begin{aligned}
 r &= \frac{r_1 + r_2 \exp(i\delta)}{1 + r_1 r_2 \exp(i\delta)}, & t &= \frac{t_1 t_2}{1 + r_1 r_2 \exp(i\delta)} \\
 R &= r \cdot r^* = |r|^2, & T &= \frac{n_G \cos \theta_G}{n_0 \cos \theta_0} |t|^2
 \end{aligned}$$



3-4

讨论（正入射）：

正入射时， $\theta_0=0$ ，因此，

$$r_1=(n_0-n)/(n_0+n), \quad r_2=(n-n_G)/(n+n_G)$$

得：

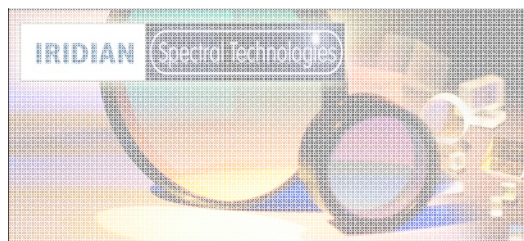
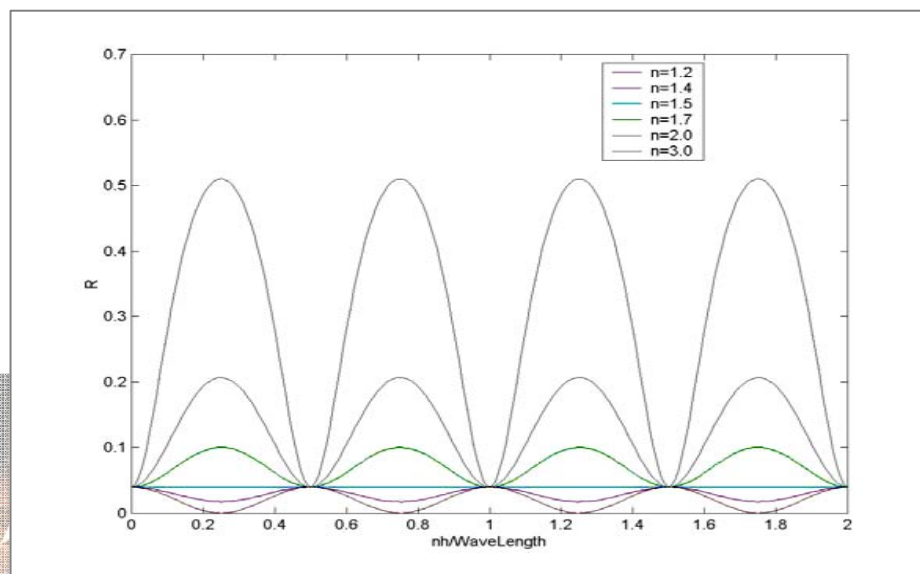
$$R = \frac{n^2(n_0 - n_G)^2 \cos^2(\delta/2) + (n_0 n_G - n^2)^2 \sin^2(\delta/2)}{n^2(n_0 + n_G)^2 \cos^2(\delta/2) + (n_0 n_G + n^2)^2 \sin^2(\delta/2)}$$

$$r = \frac{r_1 + r_2 \exp(i\delta)}{1 + r_1 r_2 \exp(i\delta)}, \quad t = \frac{t_1 t_2}{1 + r_1 r_2 \exp(i\delta)}$$

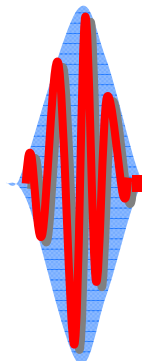
$$R = r \cdot r^* = |r|^2, \quad T = \frac{n_G \cos \theta_G}{n_0 \cos \theta_0} |t|^2$$

R将随 δ 、亦随薄膜的**光学厚度nh**变化。

换言之，改变光学厚度，就能控制单层膜的反射率**R**。



3-4

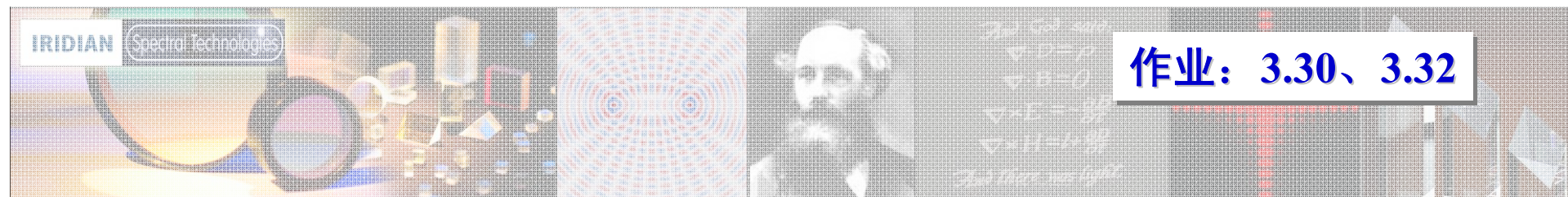
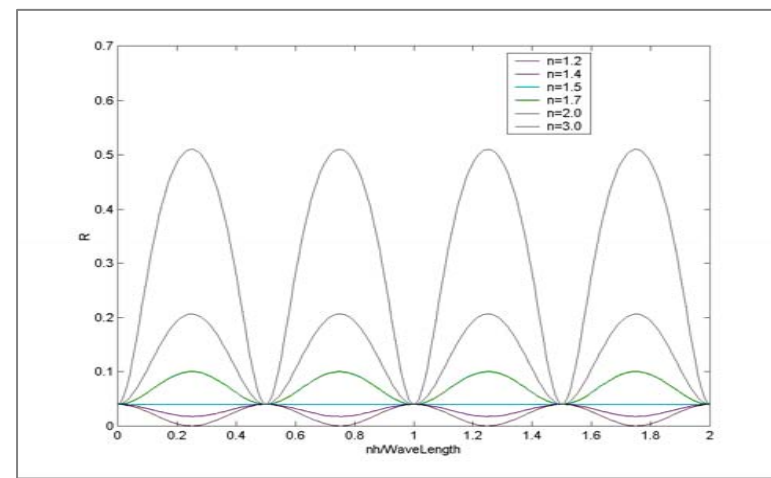


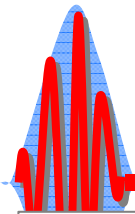
单层增透膜

增透膜: antireflection coatings

- ◆ 由图知, 只要 $n < n_G$, 镀膜后的R总是小于镀膜前的R (即增透), 且在 $nh = \lambda_0/4$ 的奇数倍时, 增透效果**最好**, 此时 $\delta = \pi$,

$$R = (n_0 n_G - n^2)^2 / (n_0 n_G + n^2)^2$$
- ◆ $n = (n_0 n_G)^{1/2}$ 时, $R = 0$, 因此理想增透膜 $n = 1.22$
- ◆ 最佳增透仅对波长 λ_0 而言。普通相机和望远镜对 $\lambda_0 = 555\text{nm}$ 增透, 所以镜面反射紫光.





3-4

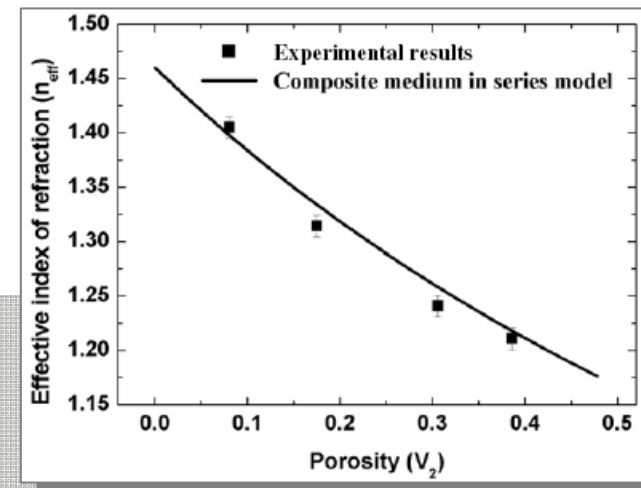
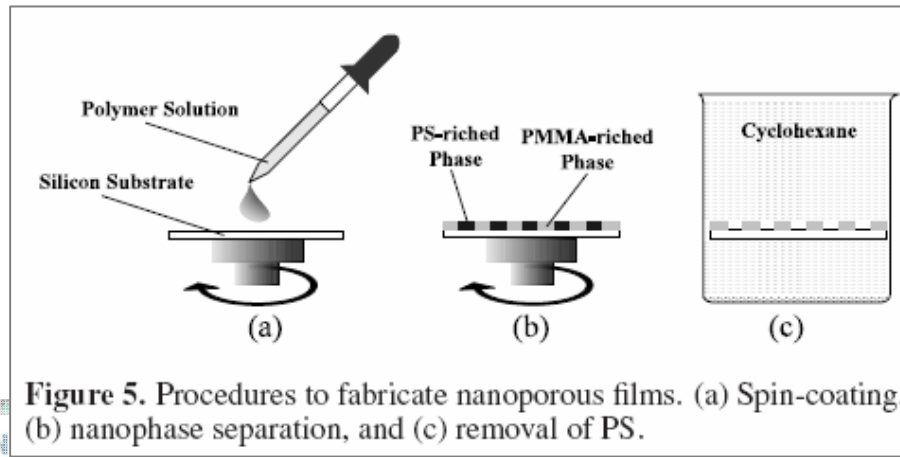
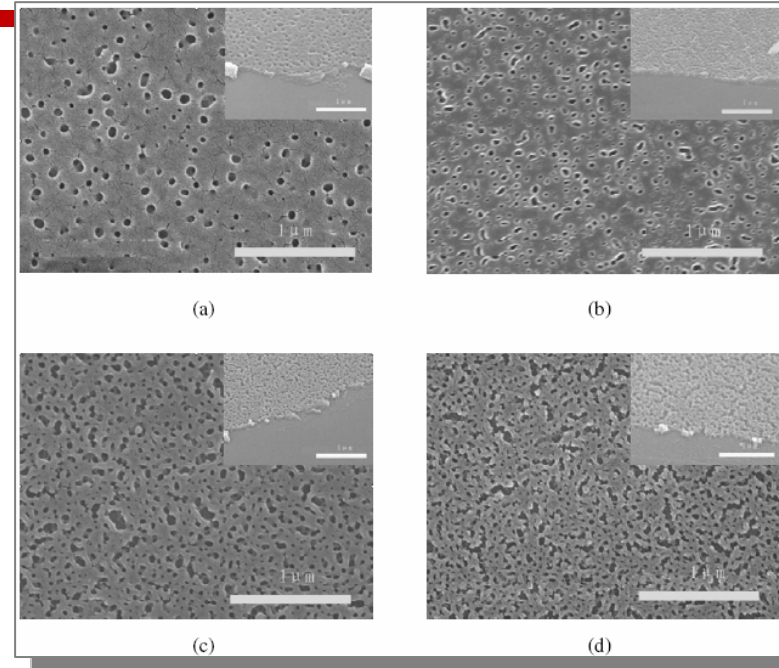


A study of the porosities of polymer nanoporous films using numerical simulations and experimental methods

Z Y Yang¹ and M Zhao²

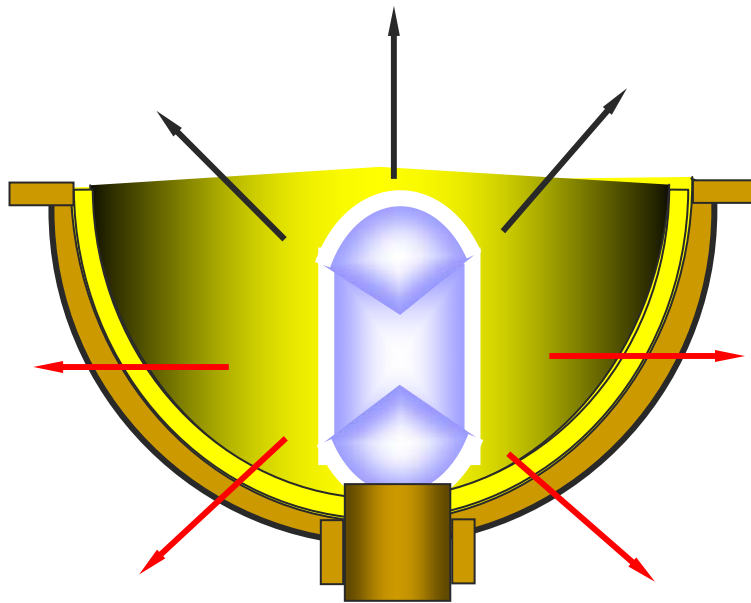
¹ State Key Laboratory of Laser Technology, Huazhong University of Science and Technology, Wuhan, Hubei 430074, People's Republic of China

² Wuhan National Laboratory for Optoelectronics, Huazhong University of Science and Technology, Wuhan, Hubei 430074, People's Republic of China

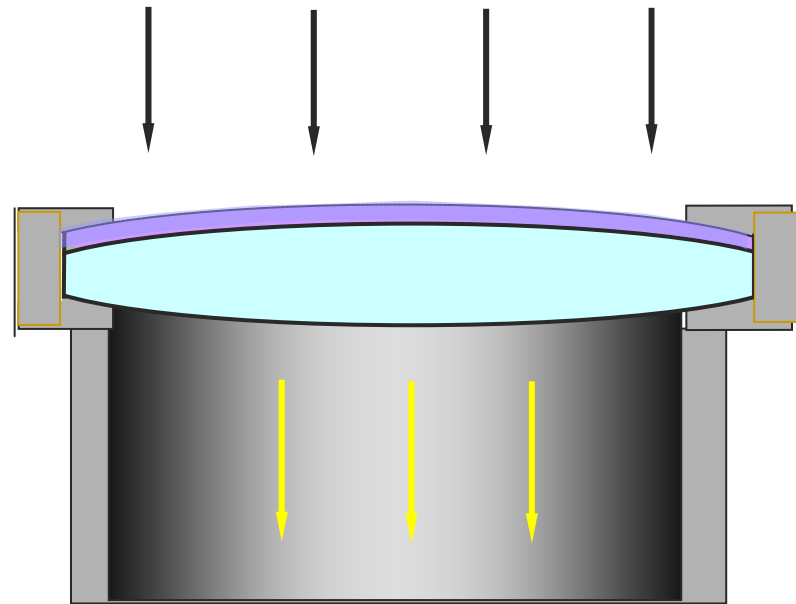


IRIDIUM

防反射(增透射)介质膜应用举例

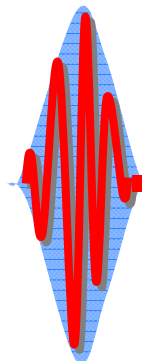


防热红外线反射
(增热红外线透射)



防可见光反射
(增可见光透射)

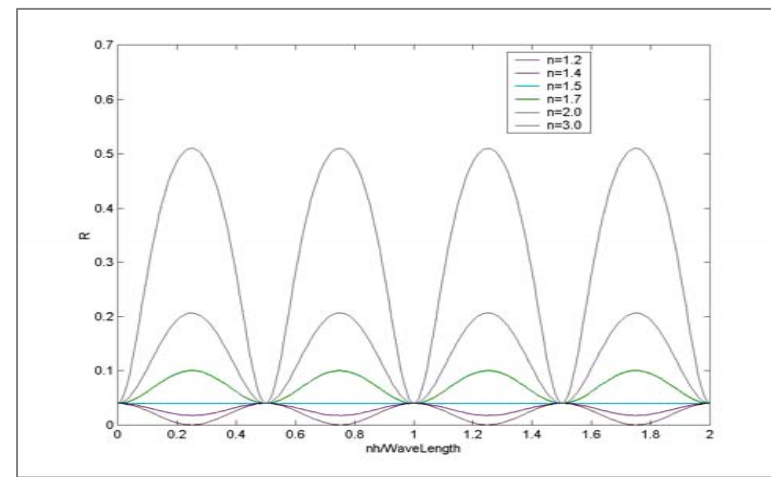
3-4



单层增反膜

增反膜: reflection increasing film

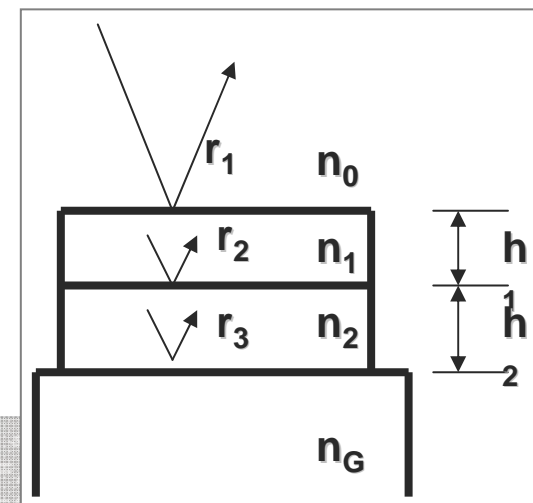
- ◆ 只要 $n > n_G$, 镀膜后的R总是大于镀膜前的R (即增反), 且在 $nh = \lambda_0/4$ 的奇数倍时, 增反效果最好, 此时 δ 和R与增透时的形式一样。
- ◆ $nh = \lambda_0/2$ 整数倍的单层膜, R与不镀膜相同



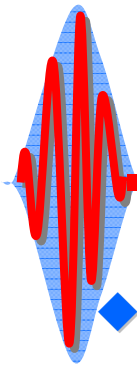
双层和多层膜*

分析方法:

- ◆ 从最靠近基片的一层开始, 逐层运用平板多光束干涉结论求反射系数
- ◆ 最后由总反射系数求总反射率



3-4



双层和多层膜*

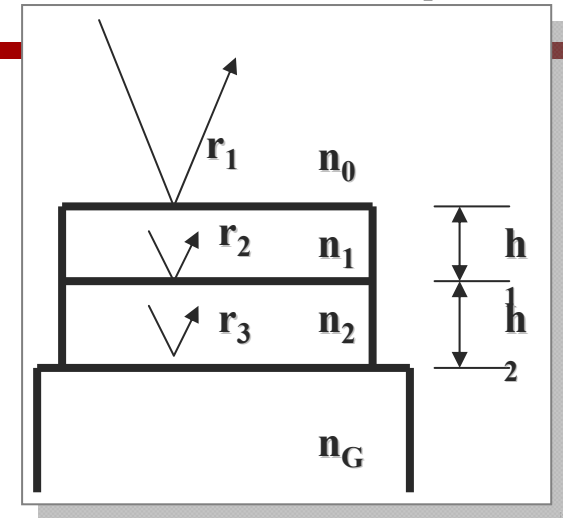
- ◆ 折射率为 n_2 的膜与基片构成的单层膜中，折射角为 θ_2 ，其反射系数为

$$\tilde{r} = \frac{r_2 + r_3 \exp(i\delta_2)}{1 + r_2 r_3 \exp(i\delta_2)}, \quad \delta_2 = \frac{4\pi}{\lambda} n_2 h_2 \cos\theta_2$$

- ◆ 将上述单层膜看成等效界面，加入折射率为 n_1 的膜，仍为单层膜，新的反射系数

$$r = \frac{r_1 + \tilde{r} \exp(i\delta_1)}{1 + r_1 \tilde{r} \exp(i\delta_1)}, \quad \delta_1 = \frac{4\pi}{\lambda} n_1 h_1 \cos\theta_1$$

- ◆ 双层膜总反射率R即为，
 $R = r \cdot r^* = |r|^2$

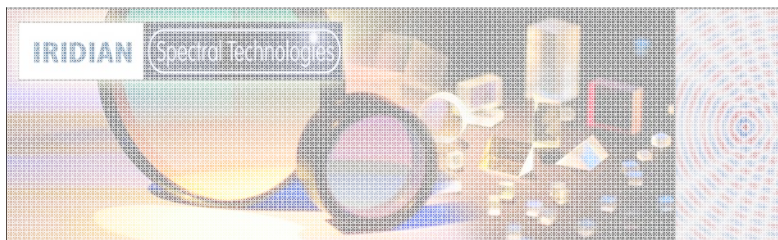


◆ 大于两层的膜系

其计算过程与双层膜相似。设有K层膜，从最下一层开始，计算第k层膜时，把其下方的膜系看成等效界面，第k层膜与等效界面构成单层膜，运用平板多光束干涉结论计算该单层膜反射系数

k层及其以下的膜系看成新的等效界面，用同样方法计算k-1层与新等效界面构成的单层膜反射系数

如此重复，直到最上面一层膜，其反射系数就是整个膜系的反射系数



3-4

几种常用的薄膜系统

双层增透膜

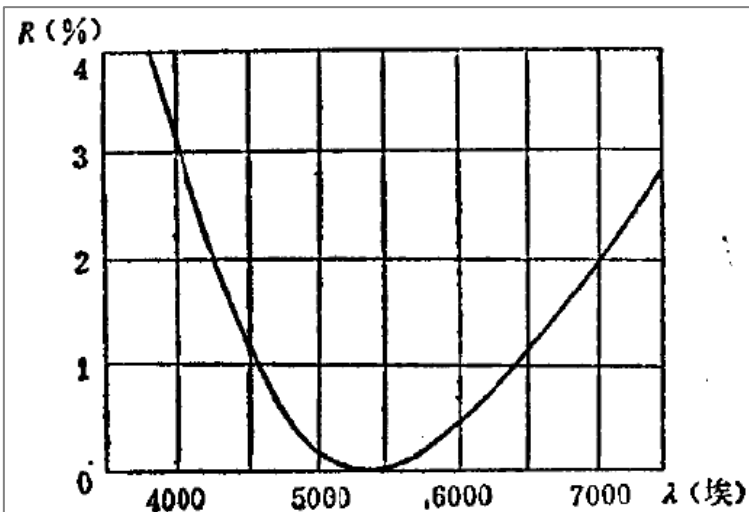


图3-59 V形双层增透膜的反射率随波长变化关系 ($n_1 = 1.38$, $n_2 = 1.746$, $n_G = 1.6$)

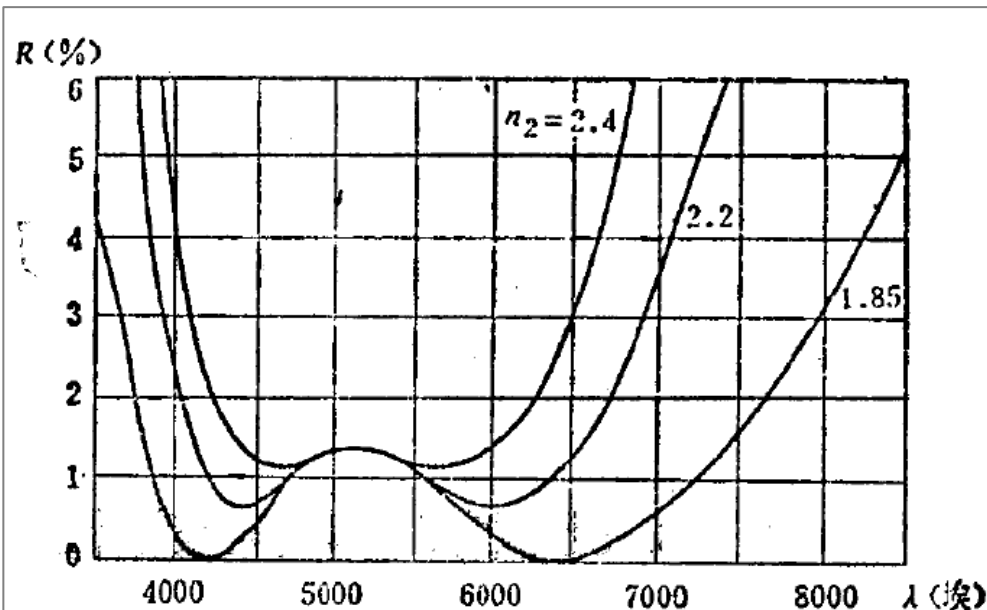
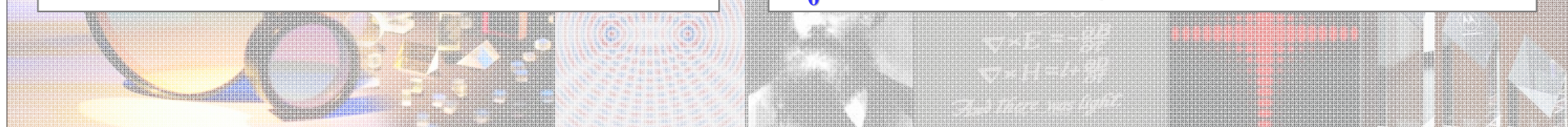


图3-60 W形双层增透膜的反射率随波长变化关系

膜厚均为 $\lambda_0/4$, $n_2 = (n_G/n_0)^{1/2} n_1$ 时, 对 λ_0 , $R=0$

$n_1 h_1 = \lambda_0/4$, $n_2 h_2 = \lambda_0/2$, n_2 提高, 尽管对 λ_0 , $R \neq 0$, 但光谱响应呈W字形

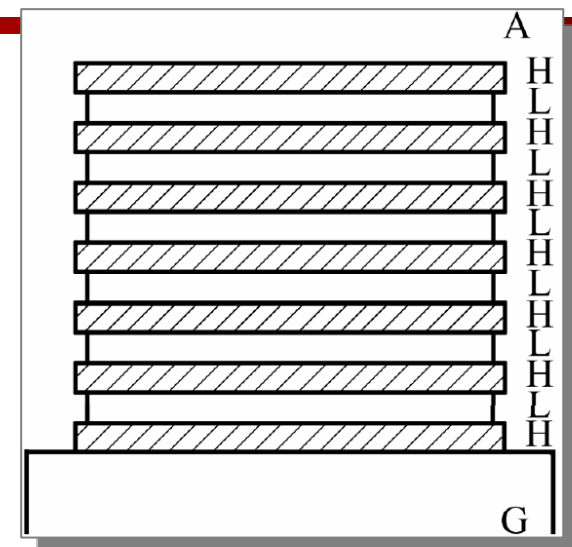


3-4

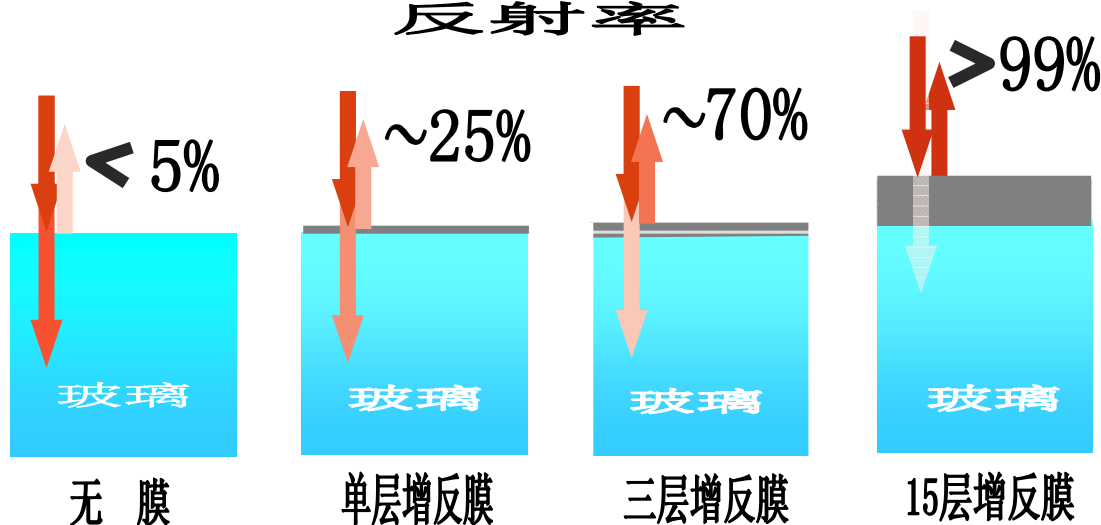
多层高反膜

膜厚均为 $\lambda_0/4$ ，折射率高低交替，接近基片和空气的膜层为高折射率，结构： $G(HL)_pHA$

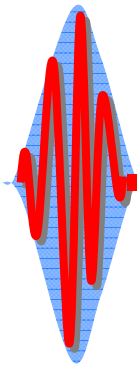
十几层的高反膜可使 λ_0 的反射率达到99.6%



反射率



3-4



冷光膜

结构: $G(HL)_1^4 H_1 L_2 (HL)_3^4 H_3 A$, 下标表示控制波长, 上标表示层数。若 $\lambda_1=650\text{nm}$, $\lambda_2=565\text{nm}$, $\lambda_3=480\text{nm}$, 则该结构
高效反射可见光、高效透射红外光

用途: 用反射光给电影放映机提供冷光源

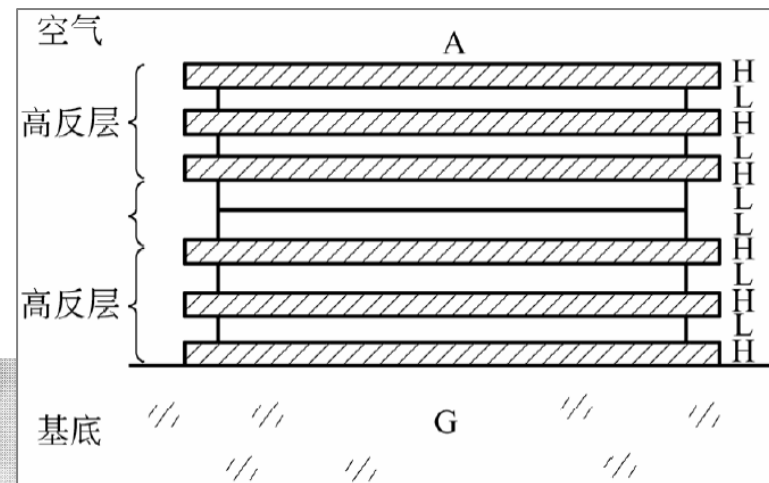
干涉滤光片

结构: 两组 $\lambda_0/4$ 的高反膜夹一个低折射率层, $G(HL)_p HLL(HL)_p HA$, 相当于间隔很小的F-P标准具

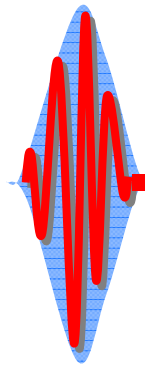
$$\lambda = 2nh/m$$

$$\Delta \lambda = 2 \lambda / (m \pi F^{0.5})$$

目的: 从多色光中滤出准单色光



3-4



视频展示：增透膜、增反膜及其应用

